

# **FISICOQUÍMICA D MODULO DE FUERZAS INTERMOLECULARES**



**Departamento de Química**

**Pablo C. Schulz**

**2000-2016**

## **BIBLIOGRAFIA**

Israelachvili, J.N., *Intermolecular and Surface Forces*, Academic Press, London (1985)  
Díaz Peña, M, *Fuerzas Intermoleculares*, Monografía n° 19, OEA, Washington DC, (1979)

## **PRÓLOGO**

El presente apunte es una profundización de los conceptos adquiridos en los dos cursos de Fisicoquímica (FQ) previos (FQ A y FQ B), mientras que el curso de FQ C (Cuántica) es independiente del contenido de FQ D, del cual este tema era el primer módulo. Los cuatro cursos forman parte del currículo de la carrera de Licenciatura en Química de la Universidad Nacional del Sur. La intención del autor es que este apunte esté disponible libremente con la sola referencia a su origen, a fin de facilitar la enseñanza.

## **EL AUTOR**



El autor del apunte es Pablo Carlos Schulz, Licenciado en Química, Licenciado en Bioquímica y Doctor en Química. Nativo de Bahía Blanca, cursó todos sus estudios en esta ciudad (secundarios en el Colegio Nacional y universitarios en la Universidad Nacional del Sur (UNS)). Desarrolló toda su carrera docente y científica en la UNS, desde ayudante de Docencia hasta Profesor Titular en el Área IV Fisicoquímica del Departamento de Química, al jubilarse en 2013 siguió dictando cursos de grado y posgrado y realizando investigaciones en calidad de Profesor Extraordinario Consulto, hasta dejar de hacerlo en 2022 por la conjunción de la pandemia de COVID y una reducción de su capacidad visual, tras 53 años de actividad científica y académica. Su investigación se desarrolló en la Química de Superficies y Coloides, principalmente en sistemas con sustancias tensioactivas (surfactantes). Es autor de 162 artículos científicos, 11 publicaciones en actas de congresos, 10 publicaciones de divulgación, 5 libros, y 5 capítulos de libros. Dirigió 11 tesis doctorales y dos de maestría. Ha sido profesor invitado en las universidades de Guadalajara (México), del País Vasco (España), de Tecnología de Compiègne (Francia), Complutense de Madrid (España) entre otras nacionales y extranjeras.

# FISICOQUIMICA D

## FUERZAS INTERMOLECULARES

### INDICE

**1.-Introducción.** Sistemas coloidales y tipos de fuerzas. Propiedades superficiales en sistemas coloidales dispersos. Aspectos termodinámicos de las fuerzas intermoleculares. Energía cohesiva en líquidos y sólidos. Energía cohesiva en un gas. Interacciones gravitacionales. La distribución de Boltzmann.  $k_B T$  como “medida” de la fuerza de interacción. Regla de Trouton. Clasificación de fuerzas.

**2.- Fuerzas intermoleculares.** Fuerzas intermoleculares fuertes. Interacciones covalente y culómbica. Fuerzas de enlace covalente o químico. Interacciones entre cargas (interacciones culómbicas). La energía de Born de un ión. Solubilidad de iones en diferentes solventes. Interacciones involucrando moléculas polares. Autoenergía (o energía propia) de dipolo. Interacciones ion – dipolo. Iones hidratados. Interacciones dipolo-dipolo. Dipolos giratorios. Interacciones que involucran la polarización de las moléculas. Polarización de moléculas y átomos. Moléculas polares. Interacciones entre iones y moléculas sin carga eléctrica.  $w(r)$  para interacción ion- dipolo inducido. Interacciones dipolo - dipolo inducido. Unificación de interacciones de polarización. Efectos del solvente y “polarizabilidades en exceso”. Fuerzas de van der Waals. Fuerzas de London. Fuerzas de van der Waals entre moléculas polares. Teoría general de Fuerzas de van der Waals entre moléculas. Ecuación de McLachlan. Efecto del medio.

**3.- Fuerzas entre partículas y superficies.** Contraste entre fuerzas intermoleculares, interpartículas e intersuperficies. Efectos de corto y largo alcance de una fuerza. Algunos conceptos unificadores en fuerzas intermoleculares e interpartículas. Fuerzas de corto y largo alcance. Interacciones gravitacionales. Interacciones intermoleculares. Interacciones entre partículas. Potenciales de interacción entre cuerpos macroscópicos. Interacción molécula – superficie. Interacción esfera – superficie. Interacción esfera – esfera. Interacciones superficie – superficie. Resumen de fuerzas entre partículas. Interacciones entre cuerpos grandes comparados con las que hay entre moléculas. Efecto de la geometría sobre las fuerzas. La aproximación de Derjaguin. Mediciones experimentales de fuerzas intermoleculares y superficiales

**4.-Fuerzas de van der Waals entre superficies.** La constante de Hamaker. La teoría de Lifshitz de fuerzas de van der Waals. Cálculo de la constante de Hamaker con la teoría de Lifshitz. Aplicaciones de la teoría del Lifshitz a interacciones en un medio. Efectos de retardación. Relaciones de combinación.

**5.-Fuerzas electrostáticas entre superficies en líquidos.** Ecuación de Poisson – Boltzmann. Distribución iónica. Perfil de concentración de los contraiones. La presión entre dos superficies cargadas en agua. Limitaciones de la ecuación de Poisson – Boltzmann. Superficies cargadas en soluciones de electrolitos. Distribución de potenciales en una interfase plana aislada cuando hay electrolito adicionado. Teoría de Gouy- Chapman. La ecuación de Grahame. Implicaciones de la ecuación de Grahame. Efecto de sales divalentes. Interacciones electrostáticas entre superficies cargadas en presencia de electrolitos. Interacciones electrostáticas entre esferas cargadas en una solución electrolítica. Regulación de carga.

**6.- Estabilidad coloidal:** teoría DLVO. Aspectos cualitativos. La concentración crítica de coagulación: regla de Schulze – Hardy. Predicción de la dependencia de la CFC con  $z$  de la teoría DLVO. Adsorción en la capa de Stern.

**7.-Fuerzas no DLVO.** Fuerzas de solvatación y de hidratación. Ordenamiento molecular en superficies interfases y películas delgadas. La fuerza oscilatoria de solvatación. Desviaciones de este comportamiento. Aspectos importantes de las fuerzas de solvatación. Fuerzas de solvatación en sistemas acuosos: “hidratación” repulsiva. Fuerzas de solvatación en sistemas acuosos: fuerzas “hidrofóbicas” atractivas. Fuerzas estéricas debido a polímeros en las superficies.

**8-Problemas.**

Nota: en la notación matemática empleada, se usa la coma decimal (0,2) y el punto para miles, millones, etc (1.000).

## 1 **INTRODUCCIÓN**

Este curso está destinado a entender a las fuerzas intermoleculares que existen en todas las formas de agregación de la materia. Las fuerzas intermoleculares están involucradas en los gases, líquidos y sólidos, así como en estructuras más complejas: sistemas dispersos, cristales líquidos y membranas biológicas. Para profundizar estos conocimientos se recomienda las obras:

- Israelachvili, J.N., *Intermolecular and Surface Forces*, Academic Press, London (1985)
- Díaz Peña, M, *Fuerzas Intermoleculares*, Monografía nº 19, OEA, Washington DC, (1979)

### ***Sistemas coloidales y tipos de fuerzas***

En el caso de los sistemas dispersos, son importantes los coloidales. Se dice que una dispersión es coloidal cuando las partículas dispersas son “pequeñas”. Pueden ser sistemas liofílicos, los cuales se forman espontáneamente, (por ejemplo, micelas de sustancias tensioactivas) o liofóbicos, cuya formación requiere energía, como las emulsiones.

Ejemplo de dispersiones de fase 1 en fase 2 son:

Tabla I  
Tipos de dispersiones

Fase 1 (dispersa)	gas	líquido	sólido
Fase 2 (continua)			
Gas	-	espumas	espuma
sólida			
Líquido	aerosol líquido, niebla	emulsión	gel
Sólido	aerosol sólido, humo	suspensiones	sólidas,
aleaciones		látex	

Una pregunta que surge es ¿qué tan pequeño es “pequeño”? Es cuando los movimientos térmicos son importantes. Cuando puede encontrarse movimiento Browniano (del botánico Robert Brown, 1828). La energía browniana se toma en forma algo simplista como  $k_B T$  ( $k_B$  = constante de Boltzmann,  $T$  = temperatura absoluta), igual a la energía necesaria para desplazar a una partícula una distancia igual a su diámetro  $d$ , en un flujo reptante, no viscoso (número de Reynolds  $Re = \rho v d / \eta \rightarrow 0$ , siendo  $\rho$  la densidad del medio,  $v$  la velocidad de la partícula y  $\eta$  la viscosidad del medio)

$$\begin{aligned}
 \text{A } 300 \text{ K, } k_B T &= (1,38 \times 10^{-16} \text{ erg/K})(300 \text{ K}) \approx 4 \times 10^{-14} \text{ erg} = \int F \cdot dx = mgd = \rho g d^4 = \\
 &= (1 \text{ g/cm}^3)(980 \text{ cm/s}^2)d^4 \quad (m \approx \rho d^3) \quad (1)
 \end{aligned}$$

es decir,  $d < 10^{-4} \text{ cm} \approx 1 \text{ }\mu\text{m}$ . En la práctica, una partícula coloidal tiene un diámetro  $d$  entre  $5 \text{ y } 10^5 \text{ }\text{\AA}$  ( $0,5 \text{ a } 10^4 \text{ nm}$  o  $0,0005 \text{ a } 10 \text{ }\mu\text{m}$ ). En los sistemas coloidales es donde se pueden estudiar muchas fuerzas intermoleculares. Los tipos de fuerzas (figura 1) se dividen en:

tipos de fuerzas	de corto alcance	fuerza débil fuerza fuerte	controlan interacciones entre partículas subatómicas
	de largo alcance	electromagnéticas gravitacionales	todo tipo de interacciones intra- e intermoleculares

Una de las motivaciones para estudiar las fuerzas intermoleculares es la posibilidad de modularlas, es decir, regular su intensidad y a veces invertir sus efectos. Las fuerzas fuertes atractivas permiten destruir sistemas coloidales, mientras que las repulsivas producen dispersiones estables.

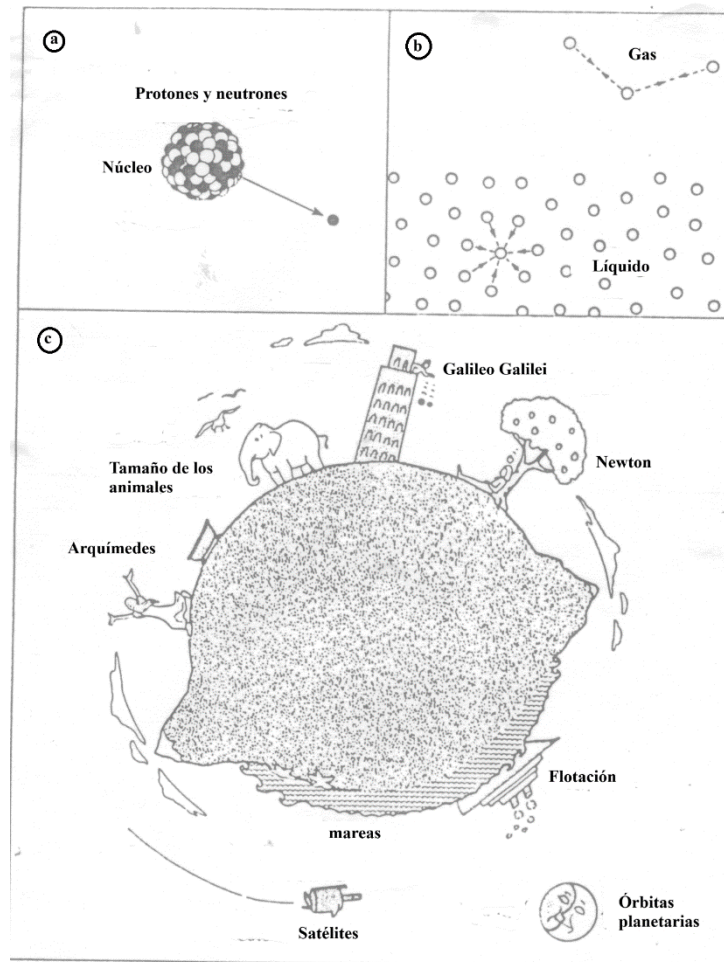


Figura 1: Las fuerzas de la naturaleza. (a) Las interacciones nucleares fuertes mantienen juntos a los protones y neutrones en los núcleos atómicos. Las interacciones débiles están involucradas en la emisión de electrones (radiación  $\beta$ ). (b) Las fuerzas electrostáticas (intermoleculares) determinan las fuerzas cohesivas que mantienen a los átomos y moléculas juntas en sólidos y líquidos. (c) Las fuerzas gravitacionales afectan las mareas, los cuerpos que caen y los satélites, Las fuerzas gravitacional e intermolecular actuando juntas determinan el tamaño máximo posible de montañas, árboles y animales.

Por ejemplo, en sistemas coloidales, tenemos una competencia entre atracción y repulsión, como en partículas cargadas como las de la figura 1.2:

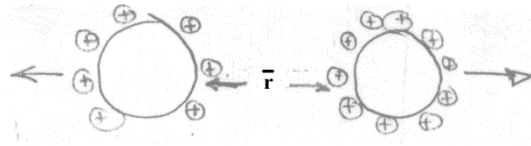


Figura 2: Repulsión versus atracción

La repulsión es proporcional a  $e^{-\kappa r}$ , donde  $\kappa$  es la inversa de la longitud de Debye  $\delta$  y es proporcional a  $\sqrt{I}$ , siendo  $I$  la fuerza iónica. Las fuerzas de atracción son de van der Waals (de Keesom, Debye y London), proporcionales a  $r^{-6}$ . Todas estas fuerzas se ven más adelante.

En forma cuantitativa, el problema de estabilidad coloidal se puede examinar mediante el potencial de interacción  $w(r)$  (ergios o Joules) donde  $r$  es la distancia entre partículas. La teoría DLVO (Deriaguin, Landau, Verwey y Overbeek) establece este potencial en función de la atracción de van der Waals y la repulsión electrostática, que a su vez son función de la distancia entre las partículas coloidales  $r$  (Figura 1.3):

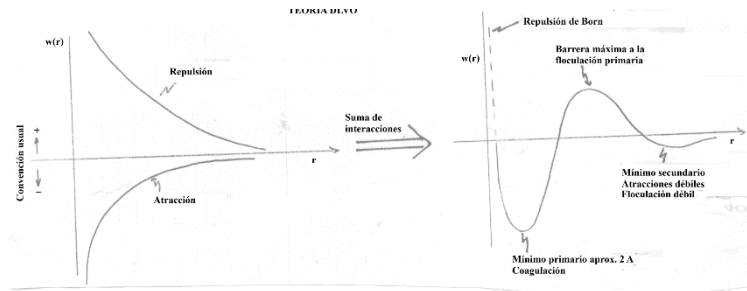


Figura 3: Esquema de la teoría DLVO

También hay una estabilización estérica por adsorción de polímeros sobre las partículas, usualmente copolímeros en bloque con partes hidrofóbicas y partes hidrofílicas (Figura 1.4):

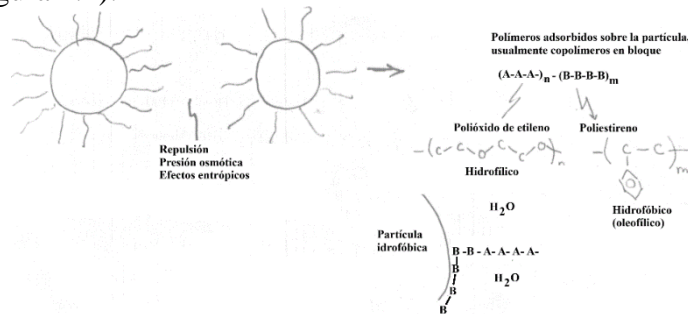


Figura 4: Polímeros adsorbidos sobre partículas, usualmente, copolímeros dibloque.

### ***Propiedades superficiales en sistemas coloidales dispersos***

En partículas pequeñas es de suma importancia el área específica (área por unidad de volumen o de masa), debido a que es muy elevada. Por ejemplo, para una esfera:

$A_e = \text{área/volumen} = 4\pi R^2 / (4\pi R^3/3) = 3/R$ , es decir, cuanto menor es el radio  $R$ , mayor es  $A_e$ . Por ejemplo, considérese una partícula esférica de  $R = 1$  cm. Si se subdivide en esferas de radio la mitad del anterior, y se repite el proceso, se tendrá lo siguiente:

Tabla II  
Evolución del área específica con el tamaño de partícula.

	Radio cm	nº de esferas	vol. por esfera cm <sup>3</sup>	Area por esf. cm <sup>2</sup>	$A_e$ cm <sup>-1</sup>
original	1	1	4,19	$1,26 \times 10^1$	
$1,26 \times 10^1$	0,5	8	$5,24 \times 10^{-1}$	3,14	
$2,51 \times 10^1$	0,25	64	$6,55 \times 10^{-2}$	$7,86 \times 10^{-1}$	
$5,03 \times 10^1$	0,125	512	$8,18 \times 10^{-3}$	$1,96 \times 10^{-1}$	
.....					
1 µm	10 <sup>-4</sup>	10 <sup>12</sup>	$4,2 \times 10^{-12}$	$1,26 \times 10^{-7}$	
$1,26 \times 10^5$	10 <sup>-5</sup>	10 <sup>15</sup>	$4,2 \times 10^{-15}$	$1,26 \times 10^{-9}$	
$1,26 \times 10^6$	10 <sup>-6</sup>	10 <sup>18</sup>	$4,2 \times 10^{-18}$	$1,26 \times 10^{-11}$	
$1,26 \times 10^7$	10 <sup>-7</sup>	10 <sup>21</sup>	$4,2 \times 10^{-21}$	$1,26 \times 10^{-13}$	
10 Å = 1 nm					
$1,26 \times 10^8$					

Entonces, para pequeñas partículas, gotas o burbujas, la energía superficial es una parte importante de la energía total del sistema, es decir:

$$dG = v dP - S dT + \gamma dA \quad (2)$$

donde  $\gamma$  es la tensión superficial (también notada como  $\sigma$ ).  $G$  es la energía libre de Gibbs o entalpía libre,  $v$  el volumen,  $S$  la entropía y  $A$  el área interfasial. Si  $P$  (presión) y  $T$  (temperatura absoluta) son constantes,  $dG = \gamma dA$ . De ahí que cambios en área interfasial cambien la energía libre de Gibbs del sistema. Los procesos espontáneos reducen  $G$ , entonces, si todo lo demás se mantiene constante,  $\gamma$  actúa para minimizar el área superficial, lo que llevaría a una esfera única lo más grande posible, y eventualmente a la separación de fases (ruptura de la emulsión) (Figura 1.5):

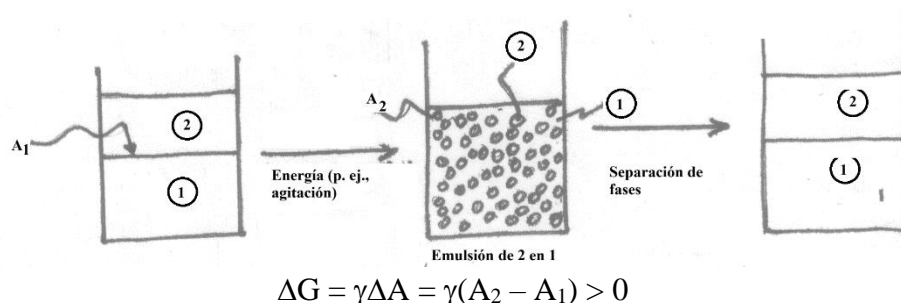


Figura 5: El proceso de ruptura de emulsiones.

## Aspectos termodinámicos de las fuerzas intermoleculares

### Energías de interacción de moléculas en espacio libre y en un medio

El objetivo es introducir algunas relaciones termodinámicas para ilustrar cómo, cuando se combinan con fuerzas intermoleculares, determinan las propiedades de un sistema de moléculas. En el nivel molecular más básico  $w(r)$  es el potencial de interacción entre dos moléculas:  $w(r)$  es el **potencial de un par** (de moléculas o partículas), y si hay un medio entre las partículas, es el **potencial de fuerza media**.

$F = -dw(r)/dr$  es la fuerza de interacción entre dos moléculas. El trabajo que efectúa  $F$  es:

$w(r) = -\int Fdr$ , y es la energía libre de Helmholtz (a volumen constante) o energía disponible.

Al considerar fuerzas entre moléculas en un medio, hay que tomar en cuenta el “efecto del solvente o del medio”. En primer lugar, hay que hacer un hueco en el solvente donde se alojará la molécula “huésped”. (Figura 1.6)

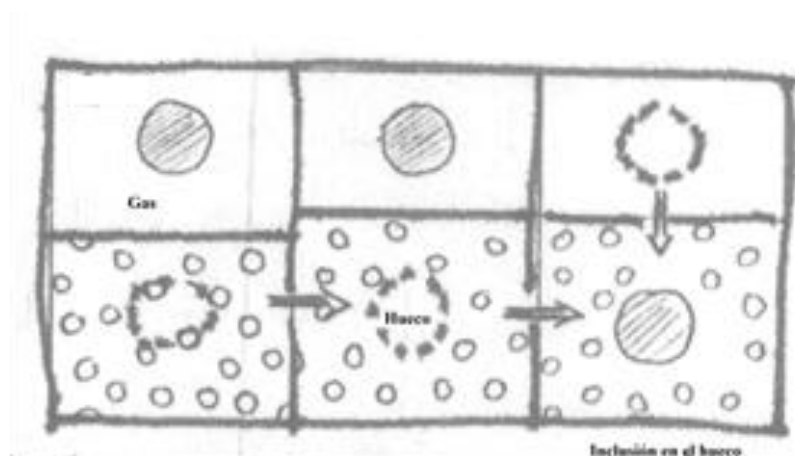


Figura 6: creación de un hueco (cavitación) para alojar una molécula proveniente del estado gaseoso.

En el espacio libre normalmente las partículas se atraen:

$$\text{en el vacío: } (1) \rightarrow \leftarrow (1) \text{ o } (1) \rightarrow \leftarrow (2)$$

pero en un medio puede suceder una repulsión:

$$\leftarrow (1) \quad (3) \quad (2) \rightarrow$$

en un medio material (3):

$$(1) \rightarrow (3) \leftarrow (2)$$

Las interacciones que aparecen son de tipo soluto - soluto, soluto - solvente, solvente - solvente y la energía de modificación del ordenamiento local de la estructura del solvente: solvatación (unión de moléculas del solvente a las partículas de soluto) y cavitación (energía necesaria para formar una cavidad en el solvente para alojar al soluto).

Más adelante veremos varias formas de  $w(r)$  para diferentes tipos de interacciones y los efectos del solvente sobre las mismas.



Cuando una molécula individual está en un medio (gas o líquido) tiene lo que se denomina “**energía cohesiva**” o “**energía propia**” ( $\mu^i$ ) asociada con ella, dada por la suma de todas las interacciones con las moléculas que la rodean.

Por ejemplo, para una molécula aislada en un gas, y tomando  $w(r) = Cr^{-n}$ , donde  $C$  es una constante:

$$\mu_{\text{gas}}^i = \int_{\sigma}^{\infty} w(r) \rho 4\pi r^2 dr = - \frac{4\pi C \rho \sigma^{3-n}}{n-3} \quad (3)$$

siendo  $\sigma$  el diámetro molecular y  $\rho$  la densidad molecular (moléculas por unidad de volumen). Si tomamos  $n = 6$  como es en las interacciones de van der Waals:

$$\mu_{\text{gas}}^i = - \frac{4\pi C \rho \sigma^3}{3} = - \frac{4\pi \rho}{3} w(\sigma) \quad (4)$$

donde  $w(\sigma)$  es el potencial a la distancia  $\sigma$ .

En muchos casos se requiere el valor de  $\mu^i$  de una molécula aislada en un medio en lugar de su potencial de par,  $w(r)$  con otra molécula individual.

### **Energía cohesiva en líquidos y sólidos**

Cuando una molécula de gas es introducida desde la fase vapor en una fase condensada,  $\mu^i$  también debe incluir la energía de “cavidad”: antes de meter la molécula hay que hacer una cavidad en el medio donde quepa (Figura 7):

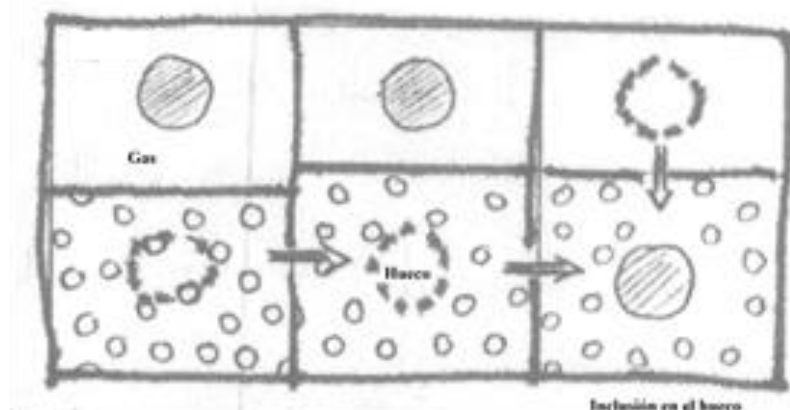


Figura 7: Formación de un hueco o agujero por el solvente antes de la inserción del soluto.

En un líquido o sólido, cada molécula puede tener hasta 12 moléculas en contacto con ella (en un empaquetamiento cerrado), lo que se conoce como **número de coordinación**. Si una molécula es introducida en su propio medio líquido, entonces 12 moléculas del líquido deben ser separadas entre sí para formar una cavidad. El costo energético de esto es  $6w(\sigma)$  puesto que se tienen que romper 6 enlaces que mantienen a las 12 moléculas juntas ( $w(\sigma)$  es la energía de un par de moléculas en contacto a  $r = \sigma$ ). Si se introduce a la molécula “huésped” o soluto, se forman 12 nuevos enlaces, lo que insume el desprendimiento de  $12w(\sigma)$ . El cambio neto de energía es

$$\mu^i \approx 6w(\sigma) \quad (5)$$

Entonces, la energía molar cohesiva de un simple líquido (o sólido) puede esperarse que sea

$$U \approx -N_A \mu^i \approx -6N_A w(\sigma) \quad (6)$$

donde  $N_A$  es el número de Avogadro. Por otro lado, en un líquido o sólido puro la densidad en número de moléculas por unidad de volumen,  $\rho$ , debe ser igual a

$\rho = 1/(\text{volumen molecular}) = 1/[4\pi(\sigma/2)^3/3]$  donde  $\sigma/2$  es el radio de la molécula. Entonces:

$$\mu^i = -\frac{1}{2} \int_{\sigma}^{\infty} w(r) \rho 4\pi r^2 dr = \frac{4\pi C}{2 \frac{4\pi \sigma^3}{3}} \int_{\sigma}^{\infty} r^{-n+2} dr = \frac{12C\sigma^{-n+3}}{\sigma^3 n-3} = \frac{12C\sigma^{-n}}{n-3} = \frac{12 w(\sigma)}{n-3} \quad (7)$$

Para interacciones de van der Waals  $n = 6$  ( $w(r) = C/r^6$ ), de donde  $U = -N_A \mu^i = -4 N_A w(\sigma)$ . Entonces, debe esperarse que la energía cohesiva de una molécula es un líquido o sólido puro será de 4 a 6  $w(\sigma)$ .

### ***Energía cohesiva en un gas***

Para una molécula en fase gaseosa, la fuerza de interacción típica entre dos moléculas tiene la forma:

$$F(r) = -\frac{d w(r)}{dr} = -nCm_1m_2r^{-(n+1)} \quad (w(r) = C/r^n) \quad (8)$$

donde  $m_1$  y  $m_2$  son las masas moleculares,  $r$  la distancia de separación,  $C_1$  una constante y  $n$  otra constante con valores entre 4 y 5.

### ***Interacciones gravitacionales***

Por otro lado, en las interacciones gravitacionales entre moléculas de un gas,  $n = 1$  en (8) y

$$w(r) = -Gm_1m_2/r, \text{ con } G = 6,67 \times 10^{-11} \text{ Nm}^{-1}\text{kg}^{-2} \text{ (constante gravitacional)} \quad (9)$$

***¿Cómo se puede establecer que el valor de  $n$  debe ser mayor de 3 para que las fuerzas intermoleculares no se extiendan a grandes distancias?*** Supóngase que el potencial atractivo entre 2 moléculas tiene la forma  $w(r) = -Cr^{-n}$ , donde  $n$  es entero. Sea  $\rho$  la densidad en número (moléculas por unidad de volumen) en una región del espacio. El número de moléculas en una región del espacio entre  $r$  y  $r + dr$  es (Figura 8):

$$dn = 4\pi r^2 dr \quad (10)$$

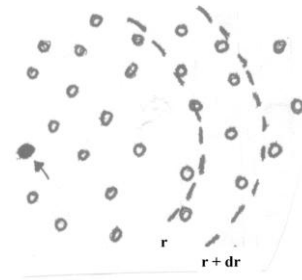


Figura 8: contenido de moléculas en la cáscara esférica de radio  $r$  y espesor  $dr$ .

Las interacciones entre la molécula ● y las O en la región de espesor  $dr$  es igual a  $w(r)$  por el número de moléculas entre  $r$  y  $r + dr$ :

$$dW = w(r) 4\pi r^2 dr \quad (11)$$

por lo que la energía total  $W$  es:

$$W = \int_{\sigma \text{ (diámetro molecular de } \bullet \text{)}}^{L \text{ (tamaño del sistema)}} w(r) 4\pi r^2 dr \quad (12)$$

∴, suponiendo que  $\rho$  es constante:

$$W = -C4\pi\rho \int_{\sigma}^L (r^2/r^n) dr = \left[ \frac{1}{3-n} \right] [L^{3-n} - \sigma^{3-n}], \text{ por lo que } n \text{ debe ser distinto de } 3 \text{ para que } W \text{ no sea infinito} \quad (13)$$

En consecuencia,

$$W = 4\pi C(\sigma^{n-3})[1 - (\sigma/L)^{n-3}] \quad (14)$$

Las fuerzas moleculares son finitas y constantes, si  $L \rightarrow \infty$ ,  $\sigma/L \rightarrow 0$ , pero esto no se cumple si  $n-3 < 0$ , en consecuencia,  $n > 3$ .

En realidad, ecuaciones potenciales más realísticas contienen, además, un término repulsivo. Algunos usualmente empleados son:

$$\text{Potencial de Mie: } w(r) = -Ar^{-n} + Br^{-m} \quad (15)$$

$$\text{Potencial de Lennard- Jones: } w(r) = 4\epsilon[(\sigma/r)^{-12} - (\sigma/r)^{-6}] \quad (16)$$

donde  $\sigma$  y  $\epsilon$  son parámetros moleculares, y  $A$ ,  $B$ ,  $m$  y  $n$  son constantes. Se obtienen gráficas de potencial vs. distancia de la forma:

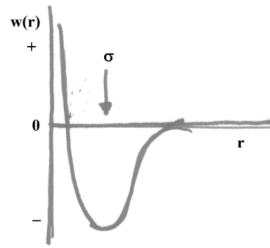


Figura 9: Curva de energía potencial n función de la distancia.

El potencial de esferas duras es:

$$w(r) = -Cr^{-n} \text{ si } r > \sigma, n > 3 \quad (17)$$

$$w(r) = \infty \text{ para } r < \sigma \quad (18)$$

### [Problema 1.1]

#### *La distribución de Boltzmann*

Si la energía de interacción molecular  $\mu^i$  tiene diferentes valores  $\mu^i_1$  y  $\mu^i_2$  en dos regiones del sistema (por ejemplo, entre líquido y vapor), entonces en el equilibrio las concentraciones (en fracciones molares o en fracciones en volumen)  $X_1$  y  $X_2$  de moléculas en las dos regiones está dada por la distribución de Boltzmann

$$\mu^i_1 + k_B T \ln X_1 = \mu^i_2 + k_B T \ln X_2 \rightarrow X_1 = X_2 \exp \left[ \frac{-\mu^i_1 - \mu^i_2}{k_B T} \right] = X_2 e^{-\Delta\mu/k_B T} \quad (19)$$

Si hay varias regiones diferentes, entonces:

$$\mu^i_1 + k_B T \ln X_1 = \mu = \text{constante (para los estados 1, 2, 3, ...)} \quad (20)$$

La ecuación 14 establece una condición de equilibrio químico a temperatura constante. El término  $k_B \ln X_n$  se conoce como la “la entropía de gas ideal”, “entropía de solución ideal” o “entropía de mezcla”.

### [Problema 1.2]

#### *$k_B T$ como “medida” de la fuerza de interacción. Regla de Trouton*

La importancia de la energía térmica  $k_B T$  tiene que ver con la distribución de moléculas entre los diferentes niveles de energía de un sistema. Además, la magnitud  $k_B T$  puede usarse como un indicador de las fuerzas de interacción. El valor de  $k_B T$  a 300 K es del orden de  $4,1 \times 10^{-21}$  J. Compárese con las fuerzas electrostáticas que se discutirán más adelante: para separar en el vacío un ion  $\text{Na}^+$  y uno  $\text{Cl}^-$  en 10 nm,  $w(r) = -2,3 \times 10^{-20}$  J  $\approx 6k_B T$ . Para hacerlo en agua,  $w(r) = -2,9 \times 10^{-22}$  J  $\approx 0,07k_B T$ , lo que indica que en esta situación será fácil separarlos. La energía cinética es  $\approx 3k_B T/2$  en cualquier fase, pero  $k_B T$  es proporcional a la escala de fuerzas moleculares en fases condensadas.

#### *Clasificación de fuerzas*

Las fuerzas intermoleculares pueden clasificarse en:

- ***Fuerzas puramente electrostáticas***: interacciones entre cargas, dipolos permanentes, cuadripolos, etc (interacciones coulombicas)
- ***Fuerzas de polarización***: se originan de los momentos de dipolos inducidos en átomos y moléculas por campos eléctricos externos de cargas y dipolos permanentes. Todas las interacciones en un solvente o medio involucran efectos de polarización.
- ***Fuerzas de naturaleza mecano – cuántica***: estas fuerzas dan origen a enlaces covalentes (químicos), incluyendo interacciones de transferencia de carga y a interacciones repulsivas estéricas o interacciones que balancean a las fuerzas atractivas a distancias muy cortas (repulsión de Born)

La fig. 10 muestra un resumen de estas fuerzas y las ecuaciones que las representan.

Tipo de interacción		Energía de interacción $w(r)$
Covalente, metálico		Complicado, corto alcance
Carga - carga		$Q_1 Q_2 / 4\pi\epsilon_0 r$ Energía de Coulomb
Carga - dipolo		$-Qu \cos \theta / 4\pi\epsilon_0 r^2$
Carga - dipolo		$-Q^2 u^2 / 6(4\pi\epsilon_0)^2 k T r^4$
Dipolo-dipolo		$-u_1 u_2 [2 \cos \theta_1 \cos \theta_2 - \sin \theta_1 \sin \theta_2 \cos \phi] / 4\pi\epsilon_0 r^3$
Dipolo-dipolo		$-u_1^2 u_2^2 / 3(4\pi\epsilon_0)^2 k T r^6$ (Keesom)
Carga - no polar		$-Q^2 \alpha / 2(4\pi\epsilon_0)^2 r^6$
Carga - no polar		$-u^2 \alpha (1 + 3 \cos^2 \theta) / 2(4\pi\epsilon_0)^2 r^6$
Dipolo-no polar		$-u^2 \alpha / (4\pi\epsilon_0)^2 r^6$ (Debye)
Dos moléculas no polares		$\frac{3}{4} \frac{h \nu \alpha^2}{(4\pi\epsilon_0)^2 r^6}$ (London)
Enlace de hidrógeno		Complicado, corto alcance, energía aproximadamente proporcional a $-1/r^2$

Figura 10: Tipos comunes de interacción entre átomos, iones y moléculas en el vacío;  $w(r)$  es la energía libre de interacción,  $Q$  la carga eléctrica en C,  $u$  el momento dipolar eléctrico en Cm,  $\alpha$  es la polarizabilidad eléctrica en  $C^2 m^2 J^{-1}$ ,  $r$  la distancia entre átomos o moléculas interactuando en m,  $k$  la constante de Boltzmann ( $1,381 \times 10^{-23} \text{ JK}^{-1}$ );  $T$  la temperatura absoluta en K,  $h$  la constante de Planck ( $6,626 \times 10^{-34} \text{ Js}$ ),  $\nu$  la frecuencia de absorción electrónica para la ionización ( $s^{-1}$ ),  $\epsilon_0$  la permitividad dieléctrica del espacio libre ( $8,854 \times 10^{-12} \text{ C}^2 \text{ J}^{-1} \text{ m}^{-1}$ ). La fuerza es obtenida derivando la energía  $w(r)$  con respecto de la distancia  $r$ .

## 2

## FUERZAS INTERMOLECULARES

*Fuerzas intermoleculares fuertes. Interacciones covalente y culómbica*

### ***Fuerzas de enlace covalente o químico***

Es la fuerza que enlaza átomos para formar moléculas. Muy relacionados con los enlaces covalentes están los enlaces metálicos. En ellos los electrones son compartidos entre dos o más átomos. Dependiendo de la posición de un átomo en la tabla periódica, éste puede participar en un cierto número de enlaces covalentes con otros átomos (valencia atómica). Otra característica de los enlaces covalentes es la direccionalidad. Son fuerzas de corto alcance, de 0,1 a 0,2 nm. La tabla III muestra la fuerza de algunos enlaces covalentes. Están en un intervalo de 100 a 300 k<sub>B</sub>T (200 a 800 kJ/mol). Esta fuerza tiende a disminuir a medida que aumenta la longitud de los enlaces, lo que es típico en la mayoría de las interacciones intermoleculares.

Tabla III  
Fuerza de enlaces covalentes\*

Tipo de enlace Fuerza	Fuerza	Tipo	de	enlace
	<u>kJ/mol</u>	—		
<u>kJ/mol</u>				
C≡N (HCN)	870	Si-O		370
C=O (HCHO)	690	C-C (C <sub>2</sub> H <sub>6</sub> )		360
C=C (C <sub>2</sub> H <sub>4</sub> )	600	C-O (CH <sub>3</sub> OH)		340
O-H (H <sub>2</sub> O)	460	N-O (NH <sub>3</sub> OH)		200
C-H (CH <sub>4</sub> )	430	F-F (F <sub>2</sub> )		150

\* La fuerza de un enlace covalente depende del tipo de los otros enlaces cercanos en la molécula. Por ejemplo, la fuerza del enlace C-H puede ser tan bajo como 360 kJ/mol (en H-CHO) y tan alto como 500 kJ/mol (en HCN). Notar que 1 kJ/mol corresponde a aproximadamente 0,4k<sub>B</sub>T por enlace a 298 K.

El interés de este curso radica en las fuerzas entre átomos discretos y moléculas no enlazadas. Estos “enlaces físicos”, en contraste con los enlaces químicos, no son específicos, ni estequiométricos y no poseen direccionalidad, como, por ejemplo, las fuerzas entre moléculas cercanas de un líquido.

Los enlaces covalentes se estudian en la asignatura Fisicoquímica C (Cuántica).

### ***Interacciones entre cargas (interacciones culómbicas)***

La interacción culómbica entre dos átomos cargados (iones) es la fuerza física más poderosa., inclusive más fuerte que la mayoría de las fuerzas de enlace covalente. La energía libre para interacción culómbica entre dos cargas Q<sub>1</sub> y Q<sub>2</sub> separadas por la distancia r es:

$$w(r) = \frac{Q_1 Q_2}{4\pi\epsilon_0\epsilon_r} = \frac{z_1 z_2 e^2}{4\pi\epsilon_0\epsilon_r} \quad (21)$$

Puesto que Q<sub>i</sub> = ez<sub>i</sub> donde z<sub>i</sub> es la valencia del ion i, y e es la carga electrónica = 1,602x10<sup>-19</sup> C; ε es la constante dieléctrica (1 en el vacío, aprox. 80 en el agua), ε<sub>0</sub> = 8,859x10<sup>-12</sup> C<sup>2</sup>/Jm (SI), =1 (cgs) es la permitividad del vacío. (Nota: V = J/As = J/C)

La fuerza culómbica está dada por

$$F = -E \cdot Q = -dw(r)/dr = \frac{Q_1 Q_2}{4\pi\epsilon_0\epsilon r^2} = \frac{z_1 z_2 e^2}{4\pi\epsilon_0\epsilon r^2} \quad (22)$$

Si las valencias tienen el mismo signo, la fuerza es de repulsión (+), y si son de diferente signo, son de atracción (-).

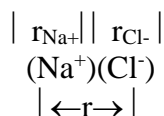
Nota: el campo eléctrico a una distancia  $r$  de la carga  $Q_1$  se define como

$$E = \frac{Q}{4\pi\epsilon_0\epsilon r^2} \quad (\text{V/m}) \quad (23)$$

Cuando el campo actúa sobre una segunda carga  $Q_2$  a una distancia  $r$ :

$$F = EQ_2 = \frac{Q_1 Q_2}{4\pi\epsilon_0\epsilon r^2} \quad (24)$$

Para tener una idea de la magnitud de las fuerzas culómbicas, consideremos un par iónico de cloruro de sodio:



$$r = r_{\text{Na}^+} + r_{\text{Cl}^-} \approx 0.276 \text{ nm}$$

$$w(r) = - \frac{(1,602 \times 10^{-19})^2}{4\pi(8,854 \times 10^{-12})(0,276 \times 10^{-9})} = -8,4 \times 10^{-19} \text{ J} \approx 200 \text{ k}_B\text{T en el vacío}$$

$$k_B\text{T} = 298 \times 1,38 \times 10^{-23} = 4,11 \times 10^{-21} \text{ J}$$

$$\text{en agua: } w(r) = -1,05 \times 10^{-20} \text{ J} \approx 2,5 \text{ k}_B\text{T}$$

Notar que la energía de interacción en el vacío es similar a la de los enlaces covalentes.

Para separar el ión cloruro del sodio en 1 nm, en el vacío  $w(r) = -2,3 \times 10^{-20} \text{ J} \approx 6 \text{ k}_B\text{T}$ , y en agua:  $w(r) = -2,9 \times 10^{-22} \text{ J} \approx 0,07 \text{ k}_B\text{T}$ .

### ***La energía de Born de un ión.***

Un ion aislado en el vacío o en un medio tiene una energía libre electrostática (= trabajo electrostático efectuado para formar el ion) asociada con él. En el vacío es la **autoenergía**, y en un medio es la **energía de Born** o de **solvatación**. El cálculo se hace imaginando el proceso de cargar un átomo (esfera de radio  $r$ ) desde carga nula hasta el valor  $Q$  total. Sea  $q$  la carga en cualquier etapa de este proceso y se la incrementa en  $dq$ . Entonces el trabajo en traer  $dq$  desde el infinito hasta  $r = a$  (radio iónico) es:

$$dw = \frac{q dq}{4\pi\epsilon_0\epsilon a} \quad \text{donde } Q_1 = q, Q_2 = dq \text{ y } r = a. \quad (25)$$

Entonces, la energía de Born es:



$$\mu^i = \int dw = \int_0^Q \frac{q dq}{4\pi\epsilon_0\epsilon a} = \frac{Q^2}{4\pi\epsilon_0\epsilon a} = \frac{(ze)^2}{4\pi\epsilon_0\epsilon a} \quad (26)$$

= energía libre electrostática de un ion en un medio de constante dieléctrica  $\epsilon$ . De 3.7 es evidente que el cambio de energía libre,  $\Delta\mu^i$  al transferir un ion de un medio de baja constante dieléctrica  $\epsilon_1$  a otro de elevada constante dieléctrica  $\epsilon_2$  es favorable:

$$\Delta\mu^i = - \frac{(ze)^2}{4\pi\epsilon_0 a} [1/\epsilon_1 - 1/\epsilon_2] = - \frac{28z^2}{a} [1/\epsilon_1 - 1/\epsilon_2] k_B T \text{ por ión a 300 K. } (27)$$

$$\Delta G = N_A \Delta\mu^i = - \frac{69z^2}{a} [1/\epsilon_1 - 1/\epsilon_2] \text{ en kJ/mol} \quad (28)$$

### ***Solubilidad de iones en diferentes solventes***

Muy relacionado con la idea de distribución de iones, es el concepto de solubilidad de iones en diferentes solventes

De la ecuación 21 la atracción electrostática entre iones es fuertemente reducida en un medio, por un factor  $\epsilon$ :

$$w(r) = z_1 z_2 e^2 / 4\pi\epsilon\epsilon_0 r \quad (29)$$

si consideramos que esto es aproximadamente igual a la energía para separar a los iones monovalentes (ej. sodio y cloruro), entonces el cambio de energía libre para separar dos iones monovalentes en un solvente con constante dieléctrica  $\epsilon$  es igual a:

$$\Delta G_{\text{solubilidad}} = \Delta\mu = \int F dx = \int_{r=a_+ + a_-}^{\infty} [e^2 / (4\pi\epsilon\epsilon_0 r^2)] dr = - \frac{e^2}{4\pi\epsilon\epsilon_0} \frac{1}{(a_+ + a_-)} = \mu^i_{\text{sólido}} - \mu^i_{\text{solución}} \quad (30)$$

### **[Problema 3]**

Entonces:

$$\mu^i_{0,\text{sólido}} + k_B T \ln X^i_{\text{sólido}} = \mu^i_{0,\text{líquido}} + k_B T \ln X^i_{\text{líquido}} \quad (31)$$

como  $X^i_{\text{sólido}} = 1$ , entonces  $\ln X^i_{\text{sólido}} = 0$  y

$$X^i_{\text{líquido}} = \exp \left[ \frac{\mu^i_{0,\text{sólido}} - \mu^i_{0,\text{líquido}}}{k_B T} \right] = \exp \left[ - \frac{1}{k_B T} \left( \frac{e^2}{4\pi\epsilon\epsilon_0} \right) \left( \frac{1}{a_+ + a_-} \right) \right] \quad (32)$$

La ecuación 31 conduce a que el logaritmo de la solubilidad (S) es proporcional a  $1/T$ , a  $1/\epsilon$  y a  $1/(a_+ + a_-)$ . Esto ha sido observado experimentalmente (v. Fig. 11). Ejemplo, para NaCl en agua,  $(a_+ + a_-) = 0,276$  nm,  $\epsilon = 78$  y a 298 K, se espera que  $X_s \approx e^{-2,6} \approx 0,075$  mol/L. Experimentalmente, es 0,11 mol/L, 36 g/L. Notar que el elevado poder

solubilizante de iones del agua se debe a su elevado valor de  $\epsilon$  y no a alguna propiedad especial del agua.

Tabla IV  
Constantes dieléctricas estáticas  $\epsilon$  de algunos líquidos y sólidos comunes a 25 °C

Compuesto		ε	Compuesto	ε
<b>Con unión de H</b>			<b>Polímeros</b>	
metil formamida	HCONHCH <sub>3</sub>	182,4	Nylon	3,7-4,2
formamida	HCONH <sub>2</sub>	109,5	fluorcarbonos	2,1-3,6
fluoruro de hidrógeno	HF (a 0°C)	84	policarbonato	3,0
agua	H <sub>2</sub> O	78,5	poliestireno	2,4
agua pesada	D <sub>2</sub> O	77,9	PTFE	2,0
ácido fórmico	HCOOH (a 16 °C)	58,5		
etilén glicol	C <sub>2</sub> H <sub>4</sub> (OH) <sub>2</sub>	40,7	<b>Vidrios</b>	
metanol	CH <sub>3</sub> OH	32,6	cuarzo fundido SiO <sub>2</sub>	3,8
etanol	CH <sub>3</sub> CH <sub>2</sub> OH	24,3	vidrio de sodio	7,0
n-propanol	C <sub>3</sub> H <sub>7</sub> OH	20,2	vidrio borosilicato	4,5
amoníaco	NH <sub>3</sub>	16,9		
ácido acético	CH <sub>3</sub> COOH	6,2	<b>Sólidos cristalinos</b>	
			diamante (carbono)	5,7
<b>Sin enlace de hidrógeno</b>			cuarzo SiO <sub>2</sub>	4,5
acetona	(CH <sub>3</sub> ) <sub>2</sub> CO	20,7	mica	5,4-7,0
cloroformo	CHCl <sub>3</sub>	4,8	cloruro de sodio NaCl	6,0
beceno	C <sub>6</sub> H <sub>6</sub>	2,3	alúmina Al <sub>2</sub> O <sub>3</sub>	8,5
tetracloruro de carbono	CCl <sub>4</sub>	2,2		
ciclohexano	C <sub>6</sub> H <sub>12</sub>	2,0	<b>Micelánea</b>	
dodecano	C <sub>12</sub> H <sub>26</sub>	2,0	parafina líquida	2,2
hexano	C <sub>6</sub> H <sub>14</sub>	1,9	cera parafínica (sólida)	2,2
			aceite de silicona	2,8
			helio líquido (2-3 K)	1,055
			agua líquida a 0°C	87,9
			hielo a 0°C	91,6-
106,4			aire seco	1,00054

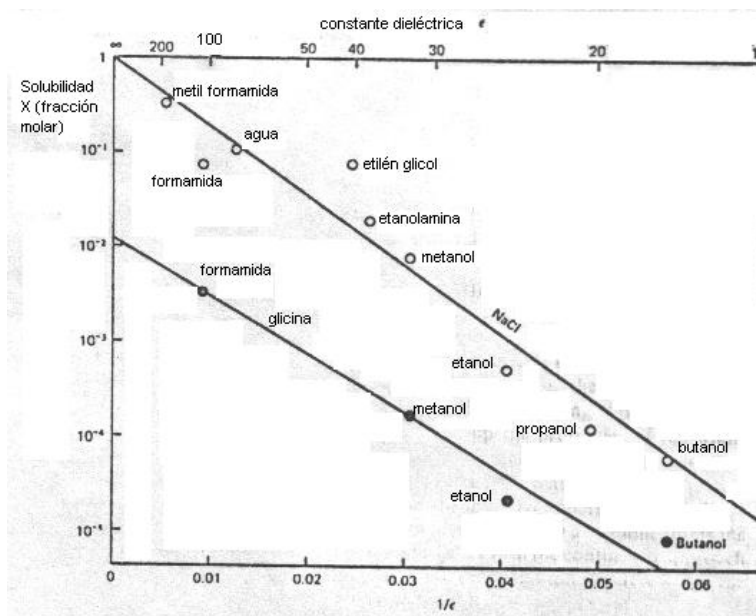


Figura 11: Solubilidades de cloruro de sodio ( $\text{NaCl} = \text{Na}^+ + \text{Cl}^-$ ) y glicina ( $\text{NH}_2\text{CH}_2\text{COOH} = \text{NH}_3^+\text{CH}_2\text{COO}^-$ ) en solventes de diferente constante dieléctrica estática  $\epsilon$  a 25 °C. La solubilidad (en unidades de fracción molar) es graficada como  $\log X_s$  en función de  $1/\epsilon$ . Para NaCl, la línea pasa a través de  $X_s = 1$  a  $\epsilon = \infty$ , lo cual a partir de la ecuación 27 sugiere que la interacción entre los iones  $\text{Na}^+$  y  $\text{Cl}^-$  con esos solventes es puramente coulombica. Para la glicina, la línea tiende a un valor finito ( $X_s < 1$ ) cuando  $\epsilon$  tiende al infinito, lo que indica algún tipo adicional de atracción soluto-soluto, la de van der Waals. Los líquidos que no forman enlaces de hidrógeno son menos efectivos como solventes de especies iónicas; por ejemplo, la solubilidad del NaCl en acetona ( $\epsilon = 20,7$ ) es  $X_s = 4 \times 10^{-7}$ , mientras que la de glicina en acetona es  $X_s = 2 \times 10^{-6}$ .

### Interacciones involucrando moléculas polares

Muchas moléculas no poseen una carga neta, pero muchas moléculas polares poseen un momento dipolar eléctrico permanente.

Los dipolos de algunas moléculas dependen del medio que las rodea y pueden cambiar sustancialmente cuando son transferidas de un medio a otro. El momento dipolar de una molécula polar se define como el vector

$$u = q \cdot l \quad \begin{array}{c} q_+ \quad l \quad q_- \\ (+) \text{-----} (-) \end{array} \quad (33)$$

La unidad de  $u$  es el Debye,  $1 \text{ D} = 3,336 \times 10^{-30} \text{ Cm}$ . El agua tiene  $u = 1,85 \text{ D}$ , el amoníaco tiene  $u = 1,47 \text{ D}$ , acetona  $u = 2,85 \text{ D}$ , mientras que las moléculas simétricas y alcanos tienen  $u = 0$ . (V. Tabla V)

\*depende de la conformación, por ejemplo, el ciclopropano tiene un momento dipolar

Para moléculas aisladas, los momentos dipolares se originan por desplazamientos no simétricos de electrones a lo largo de enlaces covalentes, dando valores de  $u$  característicos de cada tipo de enlace covalente. Por ejemplo, para agua:

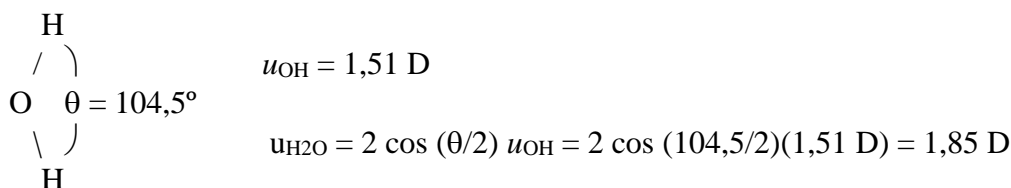


Tabla V  
Momentos dipolares de moléculas, enlaces, y grupos moleculares en unidades Debye

<i>Moléculas</i>					
alcanos	0*	NH <sub>3</sub>			1,47
benceno	0	metanol, etanol			1,69
tetracloruro de carbono	0	ácido acético			1,7
CO <sub>2</sub>	0	agua			1,85
cloroformo (CHCl <sub>3</sub> )	1,06	óxido de etileno			1,9
HCl	1,08	acetona			2,85
<i>Momentos de enlaces</i>					
C-H <sup>+</sup>	0,4	C-C	0	C <sup>+</sup> -Cl	1,5-
1,7 N-H <sup>+</sup>	1,31	C=C	0	N <sup>+</sup> -O	0,3
O-H <sup>+</sup>	1,51	C <sup>+</sup> -N	0,22	C <sup>+</sup> =O	2,3-
2,7 F-H <sup>+</sup>	1,94	C <sup>+</sup> -O	0,74	N <sup>+</sup> =O	2,0
<i>Momentos de grupo</i>					
C- <sup>+</sup> OH	1,65	C- <sup>+</sup> CH <sub>3</sub>	0,4	C- <sup>+</sup> COOH	1,7
C- <sup>+</sup> NH <sub>2</sub>	1,2-1,5	C <sup>+</sup> -NO <sub>2</sub>	3,1-3,8	C- <sup>+</sup> OCH <sub>3</sub>	1,3

### *Autoenergía (o energía propia) de dipolo*

La energía de Born de un dipolo es la energía de solvatación necesaria para formar un dipolo = energía de Born para formar dos iones (+ y -) de radio  $a$  y para mantenerlos separados por una distancia  $2a$ :

en consecuencia:

$$\mu^i = 2 \left( \frac{Q^2}{8\pi\epsilon\epsilon_0 a} \right) - \frac{Q^2}{4\pi\epsilon\epsilon_0 (2a)} = \frac{Q^2}{8\pi\epsilon\epsilon_0 a} = \frac{u^2}{4\pi\epsilon\epsilon_0 l^3} \quad (34)$$

ya que  $u = al$  y  $l = 2a$

De (34) la solubilidad de moléculas polares en diferentes solventes debe aumentar con  $\epsilon$ . Sin embargo, la situación no es tan simple y evidente como con los iones. Esto se debe a que  $u$  varía de solvente a solvente, a que las moléculas son mucho mayores que los iones y a que pueden existir términos energéticos importantes que se originan de interacciones no electrostáticas entre soluto y solvente.

### *Interacciones ion – dipolo.*

Consideremos la interacción entre un átomo cargado (ej Na<sup>+</sup>) y una molécula polar, ej, agua.

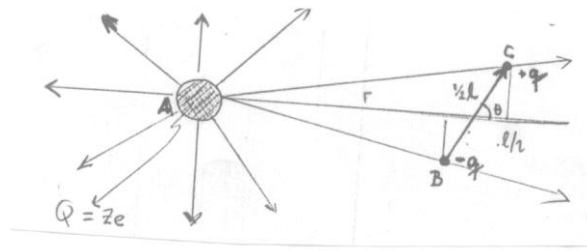


Figura 12: Interacción carga-dipolo.

La energía total de interacción es la suma de las energías culómbica de Q con +q en C y con -q en B:

$$w(r) = - \frac{Qq}{4\pi\epsilon\epsilon_0} \left( \frac{1}{AB} + \frac{1}{AC} \right) \quad (35)$$

Donde, por trigonometría:

$$AB = [(r - 0,5l\cos \theta)^2 + (0,5l\sen \theta)^2] \quad (36)$$

$$AC = [(r + 0,5l\cos \theta)^2 + (0,5l\sen \theta)^2]$$

Si  $r \gg l$ , entonces  $AB \approx r - 0,5l\cos \theta$  y  $AC \approx r + 0,5l\cos \theta$

entonces

$$w(r) = w(r, \theta) = - \frac{Qq}{4\pi\epsilon\epsilon_0} \left( \frac{1}{r - 0,5l\cos \theta} - \frac{1}{r + 0,5l\cos \theta} \right) = - \frac{Qq}{4\pi\epsilon\epsilon_0} \left( \frac{l\cos \theta}{r^2 - \frac{1}{4}l^2\cos^2 \theta} \right)$$

$$\approx - \frac{Qu\cos \theta}{4\pi\epsilon\epsilon_0 r^2} = - \frac{(2e) u\cos \theta}{4\pi\epsilon\epsilon_0 r^2} = -E u\cos \theta \quad (37)$$

Esta ecuación da la energía libre para la interacción entre la carga Q y un “dipolo puntual”  $u$  ( $l = 0$ ). Esta tiene una dependencia angular:

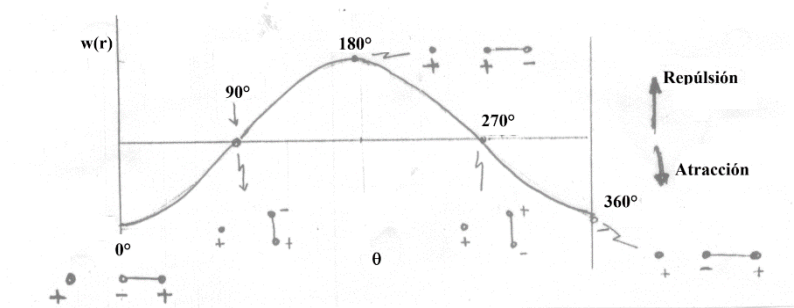


Figura 13: interacción ión-dipolo en función de la orientación del dipolo.

Esta figura muestra que las interacciones ion – dipolo son mucho mayores que  $k_B T$  para separaciones de interacción típicas en el vacío (0,2 – 0,4 nm):

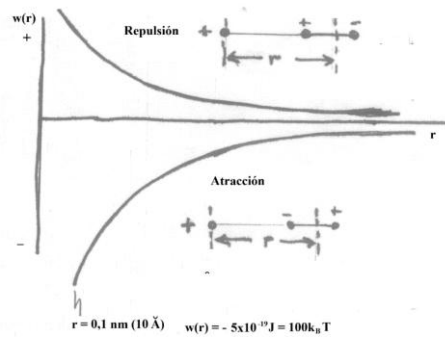
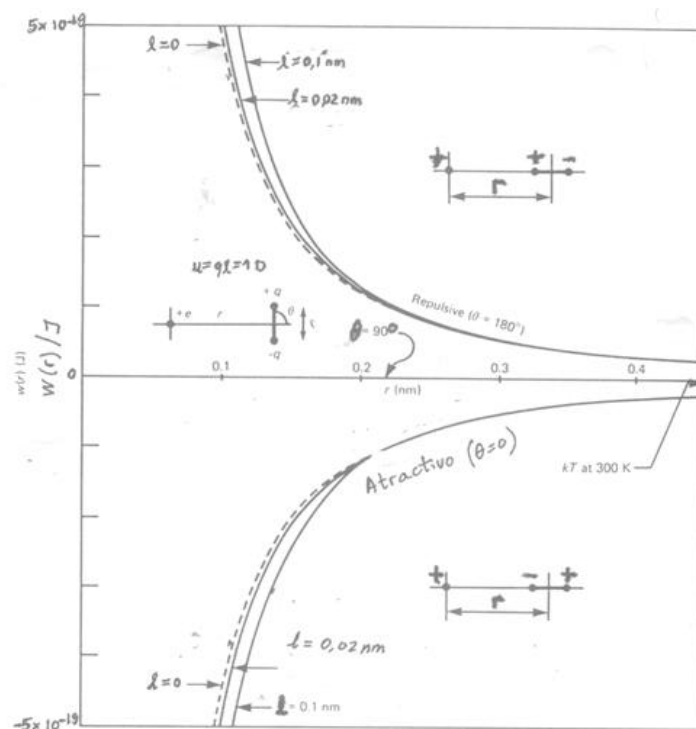


Figura 14: interacciones entre un dipolo orientado y un ión. La energía de interacción entre un dipolo orientado en atracción y un ión es enorme, suficiente como para fijar al dipolo al ión (solvatación). Ver también la Figura 15.

La solución aproximada coincide con la solución exacta para dipolos con  $l = 0,02$  nm hasta distancias mayores que aproximadamente  $2l$ . Si  $l > 0,1$  nm, las desviaciones son mayores.

De la Figura 15, es también evidente que las interacciones ion – dipolo son mucho mayores que  $k_B T$  a distancias de separación atómicas ( $0,2 - 0,4$  nm) y es suficientemente fuerte como para permitir que los iones se unan a las moléculas polares (en el vacío o en el aire) lo que, por ejemplo, justifica la nucleación “iónica” de agua en las nubes.

En agua ( $\epsilon \approx 80$ )  $w(r)$  es más débil (aprox. 80 veces más débil) pero aun es suficientemente fuerte como para mantener capas de agua de hidratación (una o dos). Para iones divalentes y multivalentes pequeños,  $w(r) > k_B T$ , y para monovalentes pequeños, es aproximadamente igual a  $k_B T$ , lo que no es despreciable.



**Figura 15:** Energía de interacción carga-dipolo en el vacío ( $\epsilon = 1$ ) entre una carga unitaria e y un dipolo de momento dipolar  $u = 1D$  orientados a diferentes ángulos  $\theta$  hacia la carga. Las líneas sólidas son la solución exacta para  $l = 0,02$  nm y  $l = 1$  nm; las líneas punteadas son soluciones exactas para  $l = 0$ , lo que corresponde

a la fórmula de un dipolo puntual aproximado. Notar la intensidad de la interacción frente a la energía térmica  $k_B T$ .

### ***Iones hidratados***

Para iones pequeños o multivalentes en solventes altamente polares, la interacción ion – dipolo tiende a orientar las moléculas de solvente alrededor de él. Cerca de cationes,  $\theta = 0^\circ$ , y cerca de aniones,  $\theta = 180^\circ$ . En agua, el  $\text{Li}^+$ ,  $\text{Be}^{++}$ ,  $\text{Mg}^{++}$ ,  $\text{Al}^{+++}$ , etc., tienen un número de moléculas de agua ligadas “orientacionalmente” alrededor de él (4 a 6 moléculas). El número de moléculas unidas de esta forma a un ion se denomina “**número de hidratación**”.

El radio de la unidad cinética, es decir, del ion hidratado, es mayor que el del ion “desnudo”, y como los iones pequeños son más hidratados que los grandes, pueden tener radios de hidratación mayores que estos últimos. Los números y radios de hidratación se pueden obtener de mediciones de viscosidad, difusión, compresibilidad, conductividad, solubilidad, métodos espectroscópicos, etc.

El número de hidratación da el número de moléculas de agua en la capa de hidratación primaria, puesto que el número de moléculas de agua afectadas es mucho mayor y depende del método de medición. Similarmente, el radio de hidratación depende de cómo es medido. Diferentes métodos pueden proporcionar radios que pueden ser mayores o menores que los de la Tabla VI en 0,1 nm.

Tabla VI

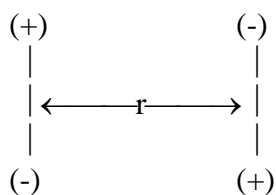
Radio de hidratación y números de hidratación de iones en agua (aproximados)

Ion	Radio del ión desnudo	Radio del ión hidratado	Número de hidratación	Tiempo (tiempo de cambio,	de s)
inter- vida	nm	nm	$\pm 1$		
–					
$\text{H}_3\text{O}^+$	-	0,28	3	-	
$\text{Li}^+$	0,068	0,38	5-6	$10^{-8}$ - $10^{-9}$	
$\text{Na}^+$	0,095	0,36	4-5	$10^{-9}$	
$\text{K}^+$	0,133	0,33	3-4	$10^{-9}$	
$\text{Cs}^+$	0,169	0,35	1-2	$10^{-9}$ - $10^{-10}$	
$\text{Be}^{2+}$	0,031	0,66	4 <sup>a</sup>	$10^{-3}$ - $10^{-2}$	
$\text{Mg}^{2+}$	0,065	0,43	6 <sup>a</sup>	$10^{-6}$ - $10^{-5}$	
$\text{Ca}^{2+}$	0,099	0,41	6	$10^{-8}$	
$\text{Al}^{3+}$	0,050	0,48	6 <sup>a</sup>	$10^{-1}$	
$\text{OH}^-$	0,176	0,30	3		
$\text{F}^-$	0,136	0,35	2		
$\text{Cl}^-$	0,181	0,33	1		
$\text{Br}^-$	0,195	0,33	1		
$\text{I}^-$	0,216	0,34	0		
$\text{NO}_3^-$	0,264	0,34	0		
$\text{N}(\text{CH}_3)_4^+$	0,347	0,37	0		

a: Número de moléculas de agua formando un complejo estequiométrico con el ión, por ejemplo,  $[\text{Be}(\text{H}_2\text{O})_4]^{2+}$ .

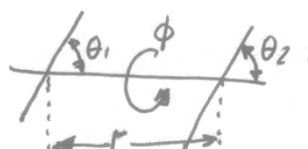
### ***Interacciones dipolo-dipolo***

Cuando dos moléculas polares están cerca una de otra hay una interacción dipolo-dipolo:



Un  $w(r)$  favorable se produce cuando los dipolos se alinean unos paralelos a otros como imanes.

Consideremos dos dipolos puntuales separados uno del otro por una distancia  $r$ :



$$w = w(r, \theta_1, \theta_2, \phi) = - \frac{u_1 u_2}{4\pi\epsilon\epsilon_0 r^3} [2 \cos \theta_1 \cos \theta_2 - \sin \theta_1 \sin \theta_2 \cos \phi] \quad (38)$$

La atracción máxima ocurre cuando los dos dipolos están en línea ( $\theta = 0^\circ$ ) donde

$$w(r, 0, 0, \phi) = - \frac{2u_1 u_2}{4\pi\epsilon\epsilon_0 r^3} \quad (39)$$

Notar que  $w(r) \sim r^{-3}$ .

La Figura 16 muestra la interacción dipolo-dipolo en el vacío entre dos dipolos teniendo cada uno un momento de 1 D. Notar cuánto más débil es esta interacción comparada con la ion- dipolo y el gran efecto del tamaño finito del dipolo.

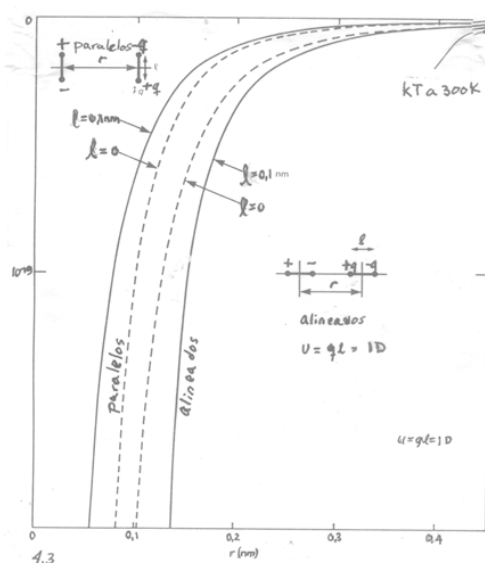


Figura 16: energía de interacción dipolo-dipolo en el vacío entre dos dipolos cada uno con momento dipolar de 1 D. Notar cuánto menor es la interacción es comparada a la interacción carga- dipolo y gran efecto del



tamaño infinito del dipolo. La línea punteada corresponde a un dipolo puntual, y las líneas sólidas la interacción ión – dipolo no puntual, con  $l$  de 0,02 nm y 0,1 nm.

Para moléculas con  $u = 1$  D,  $w(r) \leq k_B T$  para  $r = 0,36$  nm (distancia del orden de separación molecular en sólidos y líquidos), entonces a temperaturas normales no son importantes, excepto en solventes muy polares (ej. agua, formamida, alcoholes). Las moléculas muy polares se asocian. Por ejemplo, el agua forma una red tridimensional de enlaces de hidrógeno:

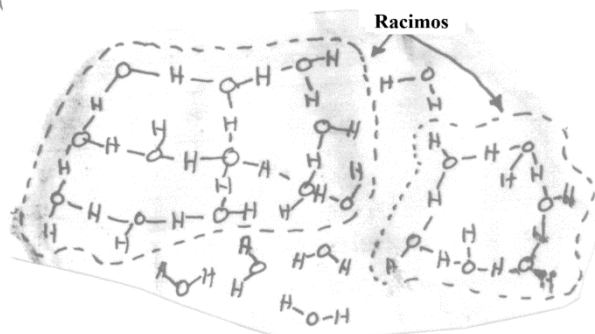


Figura 17: Las moléculas de agua forman en el líquido racimos dinámicos de tamaño variable en equilibrio con moléculas sueltas, dímeros, etc.

En un medio material, las interacciones dipolo- dipolo son aún menores (divididas por  $\epsilon$ ).

### *Dipolos giratorios*

Recordemos que  $w(r) \sim r^{-3}$  para dipolos fijos. Pero la dependencia angular de  $w(r)$  es menor que  $k_B T$  aún para distancias cortas (en un medio de  $\epsilon$  elevado), entonces los dipolos pueden girar. La pregunta es cuál es la forma de  $w(r)$  cuando los dipolos pueden girar libremente. Aunque  $\langle \sin \theta \rangle^1 = \langle \cos \theta \rangle = 0$ , podemos definir un ángulo  $\xi$  promediado en todo el espacio. El valor medio  $\langle w(r, \theta, \phi) \rangle$  no es nulo, debido al factor de peso de Boltzmann que da mayor peso a aquellas orientaciones que tienen menor energía:

(-)-----(+)	(-)-----(+)	baja energía	(-)    (+)-----(-)
(-)-----(+)	(+)-----(-)	alta energía	(-)    (-)-----(+)
dipolo – dipolo			ión – dipolo

El factor de Boltzmann es:

$$\langle \text{energía} \rangle = \frac{\int (\text{energía de un estado})(\text{probabilidad de estar en ese estado})}{\text{nº de estados}}$$

En general, la energía libre de Helmholtz promediada angularmente,  $w(r)$ , de una energía libre instantánea dependiente de una orientación,  $w(r, \Omega)$ , está dada por el teorema de distribución de potenciales:

<sup>1</sup>  $\langle x \rangle$  se usa para representar promedio por razones de facilidad tipográfica, equivale a  $\bar{x}$ .

$$e^{-w(r)/k_B T} = \langle e^{-w(r,\Omega)/k_B T} \rangle = \frac{\int e^{-w(r,\Omega)/k_B T} d\Omega}{\int d\Omega} \quad (40)$$

$$\text{donde } d\Omega = \sin \theta d\theta d\phi \quad \therefore \int d\Omega = \int_0^{2\pi} d\phi \int_0^\pi \sin \theta d\theta = 2\pi [-\cos \theta]_0^\pi = 4\pi$$

Entonces;

$$e^{-w(r)/k_B T} = \frac{1}{4\pi} \int_0^{2\pi} d\phi \int_0^\pi e^{-w(r, \theta, \phi)/k_B T} \sin \theta d\theta \quad (41)$$

Como  $w(r,\Omega) < k_B T$ , entonces  $e^{-x}$  se puede expandir y despreciarse términos de orden superior:

$$e^{-w(r)/k_B T} = 1 - \frac{w(r)}{k_B T} + \dots < 1 - \frac{w(r, \Omega)}{k_B T} + \frac{1}{k_B T} [w(r, \Omega)]^2 - \dots > \quad (42)$$

pero como

$$\langle \cos^2 \theta \rangle = 1/3, \quad \langle \sin^2 \theta \rangle = \langle \cos^2 \phi \rangle = 1/2 \quad (43)$$

$$\langle \sin \theta \rangle = \langle \cos \theta \rangle = \langle \sin \phi \cos \phi \rangle = 0 \quad (44)$$

$$\text{Interacción ión-dipolo: } w(r) = \frac{Qu \cos \theta}{4\pi\epsilon\epsilon_0 r^2} \quad (45)$$

Entonces:

$$e^{-w(r)/k_B T} \approx 1 - \frac{w(r)}{k_B T} + \dots = \frac{1}{4\pi} \int_0^{2\pi} d\phi \int_0^\pi [1 - B \cos \theta + \frac{B^2 \cos^2 \theta}{2} - \dots] \sin \theta d\theta \quad (46)$$

| ↔ |  
2π

$$\text{donde } B = \frac{Qu}{4\pi\epsilon\epsilon_0 r^2} \quad (47)$$

$$e^{-w(r)/k_B T} \approx 1 - \frac{w(r)}{k_B T} + \dots = \frac{1}{2} \left[ \underbrace{\int_0^\pi \sin \theta d\theta}_{=2} - B \underbrace{\int_0^\pi \sin \theta \cos \theta d\theta}_{=0} + \frac{B^2}{2} \underbrace{\int_0^\pi \sin \theta \cos^2 \theta d\theta}_{=2/3} - \dots \right]$$

(48)

con lo que:

$$1 - \frac{w(r)}{k_B T} = 1 - 0 + \frac{B^2}{6(k_B T)^2} \quad (49)$$

de donde: 
$$\frac{w(r)}{k_B T} = - \frac{(Qu)^2}{6(4\pi\epsilon\epsilon_0)^2 k_B T r^4} \quad (50)$$

Para interacción ion-dipolo para  $k_B T > Qu/4\pi\epsilon\epsilon_0 r^2$

Esta interacción es ***siempre atractiva***. Notar que  $w(r) \sim r^{-n}$  con  $n > 3$ . La dependencia angular convierte a la dependencia  $r^{-2}$  en  $r^{-4}$ , lo que da un decaimiento mucho más débil. Notar que también depende de la temperatura.

Considérese la interacción entre un ion  $Na^+$  y agua ( $u = 1,85$  D,  $\epsilon = 80$ ), la distancia a la cual  $w(r)$  es igual a  $k_B T$  es:

$$r = (Qu/4\pi\epsilon\epsilon_0 k_B T) \approx 0,2 \text{ nm} \quad (51)$$

Si el radio del ion es de 0,1 nm, entonces hay además una cáscara de 0,1 nm alrededor del ion donde las propiedades del solvente pueden diferir de los valores en masa. En esa capa las moléculas de agua están fuertemente orientadas y con gran restricción de sus movimientos alrededor de los iones (capa de hidratación primaria).

#### [Problemas 4 y 5]

En el caso de las interacciones dipolo dipolo:

$$w(r, \theta, \phi) = - \frac{u_1 u_2}{4\pi\epsilon\epsilon_0 r^2} [2 \cos \theta_1 \cos \theta_2 - \sin \theta_1 \sin \theta_2 \cos \phi]$$

$$w(r) = \frac{u_1^2 u_2^2}{3(4\pi\epsilon\epsilon_0)^2 k_B T r^6} \quad \text{para } k_B T > \frac{u_1 u_2}{4\pi\epsilon\epsilon_0 r^2} \quad (52)$$

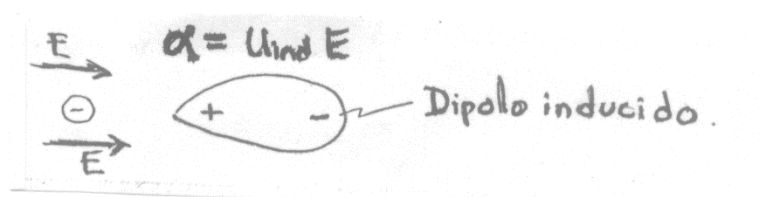
Las interacciones dipolo- dipolo son denominadas ***interacciones de Keesom***, que son parte de las interacciones de van der Waals. Notar que  $w(r) \sim r^{-6}$ .

#### ***Interacciones que involucran la polarización de las moléculas***

##### ***5.1.- Polarización de moléculas y átomos***

La polarización molecular es la formación de momentos dipolares inducidos en moléculas por campos eléctricos cercanos emanados de moléculas cercanas. Todos los átomos y moléculas son polarizables. La polarizabilidad  $\alpha$  de una molécula no polar está definido acorde a la fuerza del momento dipolar inducido,  $u_{ind}$ , que adquieren en un campo eléctrico E:

$$\alpha = u_{ind} E \quad (53)$$



¿Cómo se origina la polarización? Utilizamos por sencillez el modelo atómico de Bohr. Al establecer un campo eléctrico externo, la órbita electrónica se desplaza una distancia  $l$  de su núcleo:

$$\text{Entonces, } u_{\text{ind}} = \alpha_0 E = l e \quad (5.2)$$

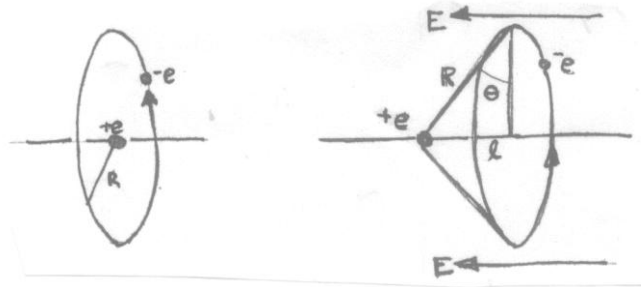


Figura 18: Polarización de un átomo.

Por la fuerza externa  $F_{\text{ext}}$  sobre el electrón debido al campo eléctrico  $E$  es:

$$F_{\text{ext}} = eE = \frac{e^2}{4\pi\epsilon_0 R^2} \sin \theta \quad (\text{notar que } \epsilon = 1) \quad (54)$$

$$\approx \frac{e^2 l}{4\pi\epsilon_0 R^3} \approx \frac{e^2}{4\pi\epsilon_0 R^3} u_{\text{ind}} \quad (55)$$

$$(l \approx R \sin \theta)$$

Entonces

$$u_{\text{ind}} = 4\pi\epsilon_0 R^3 E = \alpha_0 E, \text{ de donde la polarizabilidad electrónica en el vacío es } \alpha_0 = 4\pi\epsilon_0 R^3 \quad (56)$$

Esto muestra que la polarizabilidad es proporcional al volumen molecular o atómico.

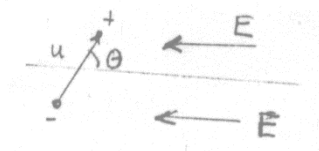
La unidad de polarizabilidad es  $\text{C}^2\text{m}^2\text{J}^{-1}$ .

### [Problema 6]

#### ***Moléculas polares***

Las moléculas polares tienen un dipolo permanente, pero también son susceptibles de polarización.

El efecto del campo externo sobre las orientaciones promediadas por el factor de Boltzmann sobre los dipolos giratorios se denomina **polarizabilidad orientacional**. Consecuentemente la presencia de un campo eléctrico  $E$  externo hace que estas orientaciones ya no se promedian a cero, sino que serán “pesadas” en la dirección del campo  $E$ . El momento dipolar en la dirección de  $E$  es  $u \cdot \cos \theta$ , y la energía en el campo será  $w(r) = E \cdot u \cdot \cos \theta$



$$\therefore u_{\text{orient}} = \langle u \cos \theta \cdot e^{uE \cos \theta / k_B T} \rangle = \frac{u^2 E}{k_B T} \langle \cos^2 \theta \rangle = \frac{u^2 E}{3 k_B T} \quad (57)$$

Factor de Boltzmann  $\quad \quad \quad = 1/3$

$$= e^{uE \cos \theta / k_B T} \approx 1 + \frac{uE \cos \theta}{k_B T} + \dots \text{ porque } uE \ll k_B T$$

La polarizabilidad total,  $\alpha$ , de una molécula polar es entonces:

$$\alpha = \alpha_0 + u^2 / 3k_B T \quad (\text{ecuación de Debye- Langevin}) \quad (58)$$

donde  $u$  es el momento dipolar permanente. Los valores típicos de  $\alpha_0$  son de  $1 \times 10^{-30}$  a  $10,5 \times 10^{-30} \text{ m}^3$ , y son del mismo orden que el término  $u^2 / 3k_B T$ .

## 5.2.-Interacciones entre iones y moléculas sin carga eléctrica

El campo eléctrico de un ion localizado a una distancia  $r$  de una molécula neutra es:

$$E = Q / 4\pi\epsilon\epsilon_0 r^2 = ze / 4\pi\epsilon\epsilon_0 r^2 \quad (59)$$

por lo que el momento dipolar inducido en una molécula por dicho ión es:

$$u_{\text{ind}} = \alpha E = \alpha ze / 4\pi\epsilon\epsilon_0 r^2 \quad (60)$$

Antes de considerar la interacción entre un ion y una molécula sin carga, hagamos un resumen de interacciones ion- dipolo e ion - molécula no polar:

**ión-dipolo:** Fuerte: ( $w(r) > k_B T$ )  $w(r, \theta) = - \frac{Q u \cos \theta}{4\pi\epsilon\epsilon_0 r^2}$  (61)

Débil (libre para girar) ( $w(r) < k_B T$ )  $w(r) = - \frac{(Qu)^2}{6(4\pi\epsilon\epsilon_0)^2 k_B T r^4}$  (62)

**ión- ión:** polarizabilidad  $\alpha = \alpha_0 + u^2 / 3k_B T$  (63)

$\uparrow$   
todas las moléculas

$\uparrow$   
Sólo para moléculas polares

$\alpha$  es una propiedad del material. Necesitamos demostrar cómo calcular  $w(r)$  para materiales polarizables.

### $w(r)$ para interacción ion- dipolo inducido

Considerar la interacción entre un ión y una molécula sin carga (v. fig. 19). Notar que la interacción es siempre atractiva.

Entonces,

$w(r)$  = energía libre para alinear el dipolo =  $\int F dr$  = trabajo para polarizar a la molécula

Pero la fuerza de polarización, es decir, la fuerza atractiva entre electrón y núcleo (ec. 5-3):

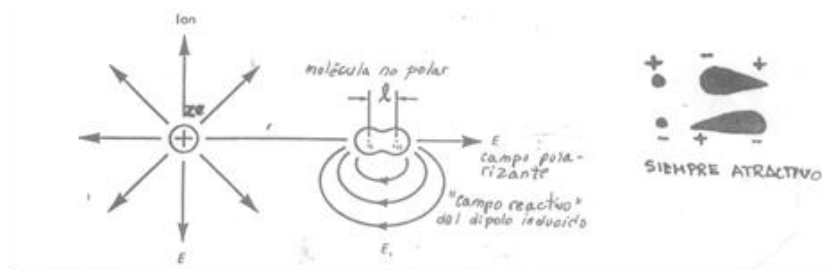


Figura 19: Una molécula neutra (no polar) en un campo E adquirirá un dipolo inducido de momento  $u_{ind} = ql = \alpha E$ . La fuerza resultante sobre la molécula neutra es por consiguiente  $F = q\Delta E$  donde  $\Delta E$  es la diferencia de E a cada extremo del dipolo. Así  $F = q(dE/dr)$  de modo que la energía libre de interacción es  $w(r) = -\int F dr = -0,5\alpha E^2$ .

$$F_{pol} = eE = e^2 l / 4\pi\epsilon\epsilon_0 R^3 \quad (\text{donde } l = r \sin \theta) \quad (64)$$

Entonces:

$$w(r) = \int_0^l F_{pol} \cdot dl = \int_0^l \frac{e^2 l}{4\pi\epsilon\epsilon_0 R^3} dl = \frac{e^2 l^2}{2(4\pi\epsilon\epsilon_0)R^3} = 0,5Ee^2 l^2 = 0,5\alpha E^2$$

$\underbrace{\hspace{10em}}_{= \alpha E}$

$$\therefore w(r) \big|_{\text{alineado}} = 0,5\alpha E^2 \quad (65)$$

Pero  $w(r)$  para interacción ion- dipolo alineado es:

$$w(r, \theta) = -uE \cos \theta = -uE = -(\alpha E)E = -\alpha E^2$$

Entonces,  $w(r)$  para interacción ion- dipolo inducido es:

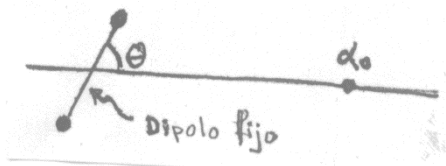
$$\begin{array}{c}
 \text{trabajo para polarizar la molécula} \\
 \downarrow \\
 w(r) \big|_{\text{ión-dipolo}} = -\alpha E^2 + 0,5\alpha E^2 = -0,5\alpha E^2 (*) \\
 \uparrow \qquad \qquad \qquad \downarrow \\
 \text{interacción dipolo-ión} \qquad \text{Keesom} \\
 w(r) \big|_{\text{ión-dipolo}} = -\frac{1}{2} \left( \frac{ez}{4\pi\epsilon\epsilon_0 r^2} \right) [\alpha = \alpha_0 + u^2/3k_B T] \quad (66)
 \end{array}$$

Nota: (\*) es un resultado general por lo que también se aplica a interacciones dipolo - dipolo inducido.

**Interacciones dipolo - dipolo inducido.**

La interacción entre una molécula polar (dipolo permanente) y una no polar es similar a la interacción del dipolo inducido por un ion excepto que el campo de polarización proviene ahora de un dipolo permanente.

Para interacciones dipolo permanente fijo- molécula no polar, se puede demostrar que:



$$E = \frac{u(1 + 3 \cos^2 \theta)^{1/2}}{4\pi\epsilon\epsilon_0 r^3} \quad (67)$$

Entonces, la energía de interacción es:

$$w(r, \theta) = -0,5\alpha_0 E^2 = -\frac{u^2\alpha_0(1 + 3 \cos^2 \theta)}{2(4\pi\epsilon\epsilon_0)^2 r^6} \quad (68)$$

Para valores típicos de  $u$  y  $\alpha_0$ ,  $w(r, \theta) \mid_{\text{dipolo-dipolo inducido}} < k_B T$ , por lo que los dipolos están libres para girar, lo que lleva a introducir el factor de Boltzmann:

$$w(r) = \langle w(r, \theta) \rangle = \langle \frac{u^2\alpha_0(1 + 3 \cos^2 \theta)}{2(4\pi\epsilon\epsilon_0)^2 r^6} \rangle = -\frac{u^2\alpha_0}{(4\pi\epsilon\epsilon_0)^2 r^6} \quad (69)$$

$$\langle \cos^2 \theta \rangle = 1/3$$

Para dos moléculas diferentes, cada una con dipolo permanente ( $u_1$  y  $u_2$ ) y polarizabilidad ( $\alpha_{01}$  y  $\alpha_{02}$ ), la energía neta de dipolo- dipolo inducido es:

$$w(r) = -\frac{[u_1^2\alpha_{02} + u_2^2\alpha_{01}]}{(4\pi\epsilon\epsilon_0)^2 r^6} \quad (70)$$

Esta es denominada **interacción de Debye o de inducción**, y constituye la segunda de las tres contribuciones a las **fuerzas de van der Waals**. Las interacciones de Keesom (interacciones dipolo – dipolo promediadas angularmente) se pueden obtener de (70) reemplazando  $\alpha_0$  por  $\alpha_{\text{orient}} = u^2/3k_B T$ .

### [Problema 7]

#### **Unificación de interacciones de polarización**

Hemos estudiado interacciones culómbicas y además, interacciones involucrando fuerzas de polarización, con moléculas no polares (que tienen  $\alpha_0$ ), y polares (que tienen  $\alpha = \alpha_0 + \alpha_{\text{orient}}$ ). Además, las interacciones promediadas angularmente pueden expresarse en una sola ecuación general. Entonces, para una molécula (1) polar (con carga) interaccionando con una segunda molécula (2) polar:

$$w(r) = - \left( \frac{Q_1^2}{2r^4} + \frac{3k_B T \alpha_1}{r^6} \right) \frac{\alpha^2}{(4\pi\epsilon\epsilon_0)^2} = \left[ \frac{Q_1^2}{2r^4} + \frac{3k_B T}{r^6} \left( \frac{u_1^2}{3k_B T} + \alpha_{0,1} \right) \right] \left( \frac{u_1^2}{3k_B T} + \alpha_{0,2} \right) \quad (71)$$

entonces, esta ecuación concentra fuerzas de tipo de polarización. Si ninguna de las moléculas posee una carga neta ( $Q = 0$ ), la ecuación anterior da las contribuciones orientacionales de Keesom e inductivas de Debye a las fuerzas de van der Waals entre dos moléculas. La tercera contribución (fuerzas de London) será discutida en el siguiente capítulo.

### ***Efectos del solvente y “polarizabilidades en exceso”***

Las interacciones entre moléculas y partículas pequeñas en un medio (solvente) pueden ser diferentes de aquéllas entre moléculas aisladas en espacio libre o en un gas. El medio de suspensión no sólo reduce  $w(r)$  o  $F(r)$  en un factor de  $\epsilon$  o  $\epsilon^2$ , sino que

- $u$  o  $\alpha_0$  de una molécula en estado gaseoso puede ser diferente en estado líquido o en un solvente, y
- una molécula disuelta sólo puede moverse desplazando un volumen de líquido igual a su volumen. Entonces, la polarizabilidad  $\alpha$  en un medio debe representar la **polarizabilidad en exceso** de una molécula o partícula sobre  $\alpha$  del solvente, la cual debe desaparecer cuando la partícula tiene las mismas propiedades que el solvente.

¿Cómo calcular ese exceso? Considere a la molécula disuelta o a la pequeña partícula como un medio dieléctrico separado con forma y tamaño dados. Consideremos una esfera dieléctrica que es polarizada por un campo  $E$  (Fig. 20):

Para este caso, London y Lifshitz (1963) probaron que:

$$u_{\text{ind}} = 4\pi\epsilon\epsilon_0 \left( \frac{\epsilon_1 - \epsilon}{\epsilon_1 + 2\epsilon} \right) a_1^3 E \quad (72)$$

de ahí que la polarizabilidad efectiva en exceso en el medio es:

$$u_i = 4\pi\epsilon\epsilon_0 \left( \frac{\epsilon_i - \epsilon}{\epsilon_i + 2\epsilon} \right) a_i^3 = 3\epsilon\epsilon_0 \left( \frac{\epsilon_i - \epsilon}{\epsilon_i + 2\epsilon} \right) v_i \quad (73)$$

donde  $v_i = \frac{4\pi}{3} a_i^3$  es el volumen molecular

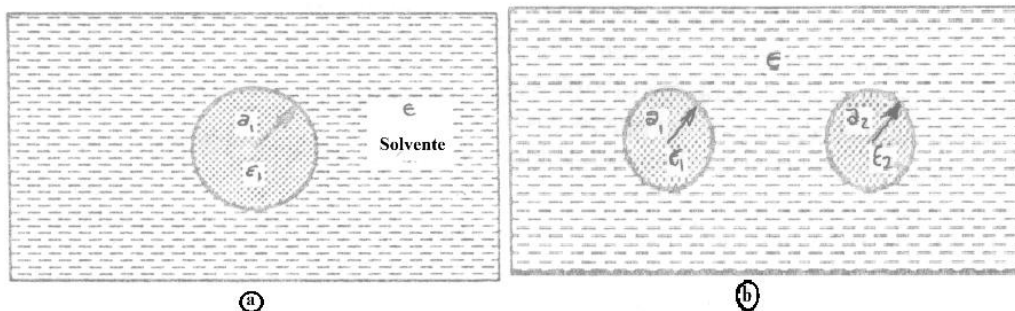


Figura 20: Una molécula disuelta o una partícula pequeña de soluto puede ser modelada como una esfera de radio  $a_1$ , y constante dieléctrica  $\epsilon_1$ . Su polarizabilidad total en un medio de constante dieléctrica  $\epsilon$  es la dada por la ecuación 73.



Combinando (71) con (73) se obtiene, para la interacción de dos partículas 1 y 2 en un medio:

$$w(r) = - \left[ \frac{Q_1^2}{2r^4} + \frac{3k_B T (\epsilon_1 - \epsilon)}{r^6 (\epsilon_1 + 2\epsilon)} \right] \frac{a_1^3 (\epsilon_2 - \epsilon)}{(\epsilon_2 + 2\epsilon)} \quad (74)$$

De esta ecuación se puede concluir que:

- i) la fuerza neta  $F_{\text{neta}}$  entre moléculas o pequeñas partículas disueltas en un medio puede ser nula, negativa (atractiva) o positiva (repulsiva), dependiendo de las magnitudes de  $\epsilon$ ,  $\epsilon_1$  y  $\epsilon_2$ .
- ii) Los iones pueden ser atraídos hacia las moléculas disueltas de elevado valor de  $\epsilon$  (moléculas altamente polares,  $\epsilon_2 > \epsilon$ ).
- iii) La interacción entre dos moléculas neutras idénticas ( $\epsilon_1 = \epsilon_2$ ) **es siempre atractiva** independientemente de la naturaleza del medio de suspensión.

Notar que este enfoque sólo da resultados correctos y válidos para moléculas grandes, macromoléculas y pequeñas partículas en solución.

Para moléculas pequeñas en fase gaseosa ( $\epsilon \approx 1$ ), su polarizabilidad es:

$$\frac{\alpha}{4\pi\epsilon_0} = \frac{(\epsilon - 1)3v}{(\epsilon + 2)4\pi} \quad (75)$$

Esta **ecuación es la de Claussius – Mossoti**, donde  $\epsilon$  es la constante dieléctrica de las moléculas.

Si estamos interesados en la polarizabilidad electrónica  $\alpha_0$ , entonces el valor de  $\epsilon$  en la ecuación anterior es aquella que se mide en el intervalo de frecuencias de la luz visible y es igual a  $\eta^2$ , donde  $\eta$  es el índice de refracción medio. Algunas polarizabilidades se dan en la Tabla VII. Ver que  $\alpha_0$  concuerda con la predicción de la ecuación (75), y que  $\alpha$  no concuerda para moléculas pequeñas altamente polares. La concordancia se hace mejor conforme aumenta el tamaño de las moléculas.

### **Fuerzas de van der Waals**

Los varios tipos de fuerzas examinadas hasta ahora se originan de interacciones electrostáticas involucrando moléculas con cargas o dipolares. Existe una fuerza que actúa entre **todos** los átomos y moléculas aún cuando sean totalmente neutras (ej, He, CO<sub>2</sub>, C<sub>n</sub>H<sub>2n+2</sub>). Estas fuerzas se conocen como **fuerzas de London o de dispersión** y se originan de interacciones entre un dipolo inducido y otro dipolo inducido. Las fuerzas de London son la tercera contribución, y a la vez, la más importante, de las fuerzas atractivas totales de van der Waals entre átomos y moléculas.

Tienen un papel importante en adhesión, tensión interfásial, adsorción física, propiedades de gases y líquidos, fuerza de sólidos, floculación, etc.

Características de las fuerzas de London:

- 1) Son fuerzas de largo alcance y, dependiendo de la situación, pueden ser efectivas desde grandes distancias ( $> 10$  nm) hasta distancias interatómicas ( $d \sim 0,2$  nm).
- 2) Pueden ser atractivas o repulsivas.

- 3) No siguen una ley de potencia simple.
- 4) No sólo atraen moléculas, sino que también tienen a alinear u orientar dichas moléculas, aunque este efecto de orientación es usualmente pequeño,
- 5) Las interacciones entre dos cuerpos son afectadas por la presencia de otros cuerpos cercanos. De ahí que las interacciones de dispersión *no son aditivas*.

Tabla VII

Polarizabilidades moleculares determinadas a partir de propiedades moleculares o en masa, a 25 °C a menos que se diga otra cosa.

(continuas)		Polarizabilidades deducidas a partir de			Polarizabilidades a partir de propiedades de fases propiedades moleculares (gas) condensadas					
		$\frac{\alpha}{4\pi\epsilon_0}$ calculado de $\alpha = \alpha_0 + u^2/3k_B T$			$\frac{\alpha_0}{4\pi\epsilon_0}$ de $(\eta^2-1)3M/(\eta^2+2)4\pi\rho N_A$					
		$u_{gas}$	$\frac{\alpha_0}{4\pi\epsilon_0}$		M	$\rho$	$(\eta^2-1)3M/(\eta^2+2)4\pi\rho N_A$			
		medido	medido				$\eta$	$\epsilon$		
Molécula		D	$10^{-10} m^3$	$10^{-10} m^3$	$10^3 kg mol^{-1}$	$10^3 kg m^{-3}$			$10^{-10} m^3$	$10^{-10} m^3$
CCl <sub>4</sub>	Tetracloruro 11,2 de carbono	0	10,5	10,5	153,8	1,59	1,460	2,2	10,5	
C <sub>6</sub> H <sub>6</sub>	benceno 10,5	0	10,3	10,3	78,5	0,88	1,601	2,3	10,4	
CHCl <sub>3</sub> 17,9(20°C)	cloroformo	1,06	8,2	17,5 (20°C)	119,4	1,48	1,446	4,8	(20°C)	8,5
				21,1(-63°C)				6,8	(-63°C)	21,1
H <sub>2</sub> O	agua 6,9	1,85	1,5	29,7	18,0	1,00	1,333	80	1,5	
(CH <sub>3</sub> ) <sub>2</sub> CO	acetona 25,3	2,85	6,4	73,4	58,1	0,79	1,359	21	6,4	
CH <sub>3</sub> OH	metanol 14,7	1,69	3,2	26,8	32,0	0,79	1,329	33	3,3	
C <sub>2</sub> H <sub>5</sub> OH	etanol 20,7	1,69	5,2	28,8	46,1	0,79	1,361	26	5,1	
n-C <sub>6</sub> H <sub>13</sub> OH	hexanol 40,0	1,69	12,5	36,1	102,2	0,81	1,418	13	12,6	
C <sub>6</sub> H <sub>5</sub> OH	fenol 26,1	1,45	11,2	26,4	94,1	1,07	1,551	10	(60 °C)	11,1

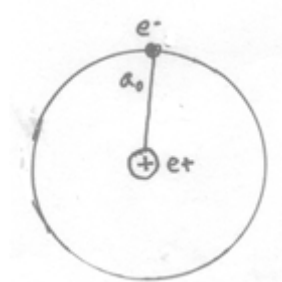


Figura 21: El momento dipolar instantáneo de un átomo neutro en promedio.

$a_0 = 0,0529$  nm es el primer radio de Bohr del hidrógeno, y es la distancia más pequeña entre el protón y el electrón. Su energía culómbica de atracción entre el protón y el electrón es el primer potencial de ionización I:

$$I = h\nu = \frac{e^2}{4\pi\epsilon_0 a_0}, \text{ en consecuencia: } a_0 = \frac{e^2}{4\pi\epsilon_0 h\nu} = 0,0529 \text{ nm}$$

donde  $\nu = 3,3 \times 10^{15} \text{ s}^{-1}$  ( $\lambda \approx 100$  nm) (luz ultravioleta)

El átomo de Bohr no tiene dipolo permanente, pero en un instante dado, existe un momento dipolar dado por  $u = a_0 e$  de 2,5 D, es decir, bastante grande. El campo de este dipolo a su vez polarizará a un átomo neutro cercano con una interacción atractiva. Entonces, es de esperar que existan interacciones dipolo- dipolo inducido en todas las moléculas.

El campo eléctrico que genera este “dipolo instantáneo” es:

$$E = \frac{u}{4\pi\epsilon_0 r^3} = \frac{a_0 e}{4\pi\epsilon_0 r^3} \quad (76)$$

El dipolo inducido en un átomo cercano es, entonces:

$$u_2 = \alpha_0 E = \frac{\alpha_0 a_0 e}{4\pi\epsilon_0 r^3} \quad (\text{recordar que } \alpha_0 = 4\pi\epsilon_0 a_0^3) \quad (77)$$

Entonces, el potencial energético de interacción,  $w(r)$ , está dado por:

$$w(r) = - \frac{u u_2}{4\pi\epsilon_0 r^3} = - \frac{\alpha_0 a_0^2 e^2}{(4\pi\epsilon_0)^2 r^6} \approx - \frac{\alpha_0^2 h\nu}{(4\pi\epsilon_0)^2 r^6} = - \frac{\alpha_0^2 I}{(4\pi\epsilon_0)^2 r^6} \quad (\alpha_0 a_0^2 e^2 = \alpha_0^2 h\nu) \quad (78)$$

Esto fue deducido por Bohr a través de la mecánica cuántica clásica.

London, (1937) utilizando mecánica cuántica y la teoría de perturbaciones, obtuvo una expresión similar:

$$w(r) = - \frac{C_{\text{disp}}}{r^6} = - \frac{3}{4} \frac{\alpha_0^2 h\nu}{(4\pi\epsilon_0)^2 r^6} = - \frac{3}{4} \frac{\alpha_0^2 I}{(4\pi\epsilon_0)^2 r^6} \quad (79)$$

¿Cuál es la fuerza de la energía de dispersión? Considérense a dos moléculas pequeñas con  $\alpha_0/4\pi\epsilon_0 \approx 1,5 \times 10^{-30} \text{ m}^3$  e  $I = h\nu \approx 2 \times 10^{-18} \text{ J}$  (típico potencial de ionización en el UV), en contacto ( $r = \sigma \approx 0,3 \text{ nm}$ ). De la expresión (79) se tiene que:

$$w(r) = -\frac{3}{4} \frac{(1,5 \times 10^{-30})^2 (2 \times 10^{-18})}{(0,3 \times 10^{-9})^6} \approx -4,6 \times 10^{-21} \text{ J} \approx 1 \text{ k}_B T$$

lo que indica una contribución considerable, sobre todo teniendo en cuenta que es una contribución que parece salir de la nada.

Para dos átomos disimilares, (79) se puede escribir como:

$$w(r) = -\frac{3}{2} \frac{\alpha_{01}\alpha_{02}}{(4\pi\epsilon_0)^2 r^6} \frac{h\nu_1\nu_2}{(\nu_1+\nu_2)} = -\frac{3}{2} \frac{\alpha_{01}\alpha_{02}}{(4\pi\epsilon_0)^2 r^6} \frac{I_1 I_2}{(I_1+I_2)} \quad (80)$$

Nota: pequeñas moléculas no polares como  $\text{CH}_4$ ,  $\text{CO}_2$ , etc.) son gaseosas en condiciones ambientales. Sin embargo, moléculas mayores como hexano, benceno e hidrocarburos de mayor peso molecular son líquidos o sólidos, y se mantienen así únicamente por las fuerzas de dispersión. Este tipo de sólidos (sólidos de van der Waals) se caracterizan por tener enlaces (físicos) débiles no orientados, y por lo tanto, poseen bajos puntos de fusión y bajos calores latentes de fusión.

### [Problema 8]

#### *Fuerzas de van der Waals entre moléculas polares*

Tres distintos tipos de fuerzas contribuyen a la interacción total de largo alcance entre moléculas polares:

- i) fuerzas de inducción o de Keesom
- ii) fuerzas de orientación o de Debye
- iii) Fuerzas de dispersión o de London

Estas fuerzas se conocen en forma colectiva como fuerzas de van der Waals. Ver Tabla VIII.

Tabla VIII

Contribuciones a la energía libre de inducción, orientación y dispersión a la energía total de van der Waals en el vacío para varios pares de moléculas a 293 K

de moléculas a 273 K									
Coeficientes C de energía de van der Waals (vdW)									
(10 <sup>-29</sup> Jm <sup>6</sup> )									
Energía vdW total							Contribución al total de la energía de dispersión (%)		
C <sub>vdw</sub>									
Moléculas interactuantes	Polarizabilidad electrónica $\frac{\alpha_0}{4\pi\epsilon_0}$ (10 <sup>-30</sup> m <sup>3</sup> )	Momento dipolar permanente u (D)	Potencial de ionización I = hν <sub>1</sub> (eV)	C <sub>ind</sub> $\frac{2u^2\alpha_0}{(4\pi\epsilon_0)^2}$	C <sub>orient</sub> $\frac{2u^4/3kT}{(4\pi\epsilon_0)^2}$	C <sub>disp</sub> $\frac{3\alpha_0^2h\nu_1}{4(4\pi\epsilon_0)^2}$	Teórico ec. 6.17	De la ley de los gases ec. 6.14	
Ne-Ne	0,39	0	21,6	0	4	4	4	4	100
CH <sub>4</sub> -CH <sub>4</sub>	2,60	0	12,6	0	0	102	102	101	100
HCl-HCl	2,63	1,08	12,7	6	11	106	123	157	86
HBr-HBr	3,61	0,78	11,6	4	3	182	189	207	96
HI-HI	5,44	0,38	10,4	2	0,2	370	372	150	99
CH <sub>3</sub> Cl-CH <sub>3</sub> Cl	4,56	1,87	11,3	32	101	282	415	509	68
NH <sub>3</sub> -NH <sub>3</sub>	2,26	1,47	10,2	10	38	63	111	162	57
H <sub>2</sub> O-H <sub>2</sub> O	1,48	1,85	12,6	10	96	33	139	175	24
Moléculas disimilares				$\frac{u_1^2\alpha_{02} + u_1^2\alpha_{01}}{(4\pi\epsilon_0)^2}$	$\frac{u_1^2u_2^2/3kT}{(4\pi\epsilon_0)^2}$	$\frac{3\alpha_{01}^2\alpha_{02}^2h\nu_1\nu_2}{2(4\pi\epsilon_0)^2(\nu_1 + \nu_2)}$			
Ne-CH <sub>4</sub>				0	0	19	19	100	
HCl-HI				7	1	197	205	96	
H <sub>2</sub> O-Ne				1	0	11	12	92	
H <sub>2</sub> O-CH <sub>4</sub>				9	0	68	67	87	
I D = 3,336x10 <sup>-30</sup> Cm									
1 eV = 1.602x10 <sup>-19</sup> J									

1 D = 3,336x10<sup>-30</sup> Cm  
1 eV = 1,602x10<sup>-19</sup> J

Aspectos importantes de la Tabla VIII:

- 1) las fuerzas de dispersión son dominantes, excepto para moléculas polares muy pequeñas, como agua.
- 2) Las interacciones entre moléculas polares y no polares son dominadas por las fuerzas de dispersión.
- 3) Interacciones entre dos moléculas disimilares A-B, la  $w(r)$  es usualmente intermedio entre  $w(r)_{\text{vdW}}$  para A-A y para B-B. De hecho, el coeficiente  $C_{\text{vdW}}$  es muy cercano al valor promedio geométrico de  $C_{\text{AA}}$  y  $C_{\text{BB}}$ , es decir:

$$C_{\text{AB}} = (C_{\text{AA}} + C_{\text{BB}})^{1/2} \quad (81)$$

Este es un método conveniente para estimar interacciones de van der Waals cuando no existen datos experimentales. No funciona con moléculas altamente polares como el agua.

### Teoría general de Fuerzas de van der Waals entre moléculas

#### Ecuación de McLachlan

La teoría de London de fuerzas de dispersión tiene dos limitaciones graves:

- i) supone que los átomos y las moléculas tienen solo **un** potencial de ionización.
- ii) No está diseñada para manejar moléculas en un solvente.

En 1963, McLachlan presentó una teoría generalizada de las fuerzas de van der Waals que incluye en una ecuación, las fuerzas de inducción, orientación y dispersión, y que puede aplicarse a interacciones en un solvente. La ecuación de McLachlan para la energía libre de van der Waals entre dos moléculas o partículas pequeñas 1 y 2 en un medio 3 es:

$$w(r) = - \frac{6k_B T}{(4\pi\epsilon_0)^2 r^6} \sum_{n=1}^{\infty} \left[ \frac{1}{2} \frac{\alpha_1(iv_0) \alpha_2(iv_0)}{\epsilon_3^2(iv_0)} + \frac{\alpha_1(iv_n) \alpha_2(iv_n)}{\epsilon_3^2(iv_n)} \right] \quad (82)$$

donde  $\alpha_1(iv_n)$  y  $\alpha_2(iv_n)$  son las polarizabilidades de 1 y 2, y  $\epsilon_3(iv_n)$  es la permitividad dieléctrica del medio 3 a frecuencias imaginarias  $iv_n$ , ( $i = \sqrt{-1}$ ) donde

$$v_n = \left( \frac{2\pi k_B T}{h} \right) n \approx 4 \times 10^{13} n \text{ a } 300 \text{ K} \quad (83)$$

Notar que la ecuación 82 es bastante simple de usar para calcular  $w(r)$  ya que  $\alpha(iv_n)$  y  $\epsilon(iv_n)$  están relacionadas con propiedades medibles.

Para una molécula con una frecuencia de absorción (la frecuencia de ionización)  $v_1$ , su polarizabilidad electrónica a frecuencias reales  $v$  está dada por el modelo simple de oscilador armónico (von Hippel, 1958):

$$\alpha(v_n) = \frac{\alpha_0}{[1 - v_n/v_1]^2} \quad (84)$$

Notar que la mayoría de las frecuencias de absorción están en la región del UV (típicamente,  $v_1 \approx 3 \times 10^{15} \text{ s}^{-1}$ ), entonces, el valor de  $\alpha$  en el intervalo de frecuencias de la región visible ( $v_{\text{vis}} \approx 5 \times 10^{14} \text{ s}^{-1}$ ) es esencialmente igual a  $\alpha_0$  ya que  $(v_{\text{vis}}/v_1)^2 \ll 1$ .

Si una molécula posee momento dipolar permanente,  $u$ , hay una contribución adicional de orientación a la polarizabilidad o contribución de relajación de dipolo:

$$\alpha_{\text{orient}}(v) = \frac{u^2}{3k_B T} \frac{1}{[1 - iv/v_{\text{rot}}]} \quad (85)$$

donde  $v_{\text{rot}}$  es una frecuencia promedio de relajación orientacional de la molécula, la cual se encuentra usualmente en la región del IR lejano o de microondas ( $v_{\text{rot}} \approx 5 \times 10^{11} \text{ s}^{-1}$ ).

La polarizabilidad total de una molécula en el espacio libre es (sustituyendo  $v$  por  $iv_n$ ):

$$\alpha(iv_n) = \frac{u^2}{3k_B T [1 - iv/v_{\text{rot}}]} + \frac{\alpha_0}{[1 - v_n/v_1]^2} \quad (86)$$

la cual es una *función real* de  $v_n$ . Notar que (86) se reduce a la ecuación de Debye-Langevin a frecuencia cero:

$$\alpha(0) = \frac{u^2}{3k_B T} + \alpha_0 \quad (87)$$

La variación de  $\alpha(iv_n)$  vs.  $v$  se muestra en la **figura 9**.

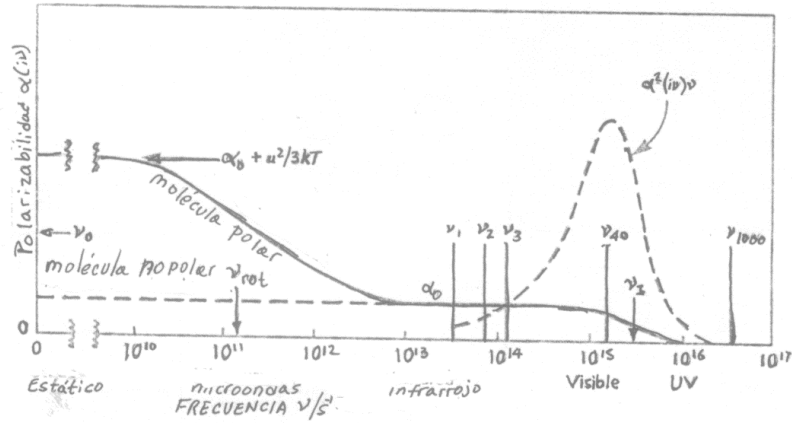


Figura 9: la polarizabilidad  $\alpha(\nu)$  como función de la frecuencia  $\nu$  de una molécula polar simple es dada por la ecuación 6.12. Las frecuencias  $\nu_n = 4 \times 10^{13} \text{ s}^{-1}$  a 300 K a las cuales  $\alpha(\nu)$  contribuye a la energía de van der Waals se muestran como una serie de líneas verticales. La curva  $\alpha^2(\nu)\nu$  muestra cómo las diferentes regiones del espectro contribuyen a la energía de dispersión.

Regresemos a la ecuación de McLachlan. El primer término de la serie ( $n=0$ ) es:

$$w(r)_{\nu=0} = - \frac{3k_B T}{(4\pi\epsilon_0)^2 r^6} \alpha_{1(n=0)} \alpha_{2(n=0)} = - \frac{3k_B T}{(4\pi\epsilon_0)^2 r^6} \left[ \frac{u_1^2}{3k_B T} + \alpha_{01} \right] \left[ \frac{u_2^2}{3k_B T} + \alpha_{02} \right] \quad (88)$$

la cual es idéntica con la ecuación derivada en el cap. 01 que incluye las energías de interacción de orientación (Keesom) y de inducción (Debye).

Examinemos ahora los términos de frecuencia ( $n \neq 0$ ). La sumatoria involucra el cálculo de los valores  $\alpha(\nu_n)$  a las frecuencias discretas dadas por la ecuación 89:

$$\nu_n = \left( \frac{2\pi k_B T}{h} \right) n \approx 4 \times 10^{13} \text{ s}^{-1} \text{ a } 300 \text{ K} \quad (89)$$

Sin embargo, a temperaturas normales,  $\nu_{n=1} \approx 4 \times 10^{13} \text{ s}^{-1} \gg \nu_{\text{rot}} \approx 1 \times 10^{11} \text{ s}^{-1}$  de donde  $\alpha(\nu_n)$  es básicamente dominada por la contribución de la polarizabilidad electrónica en (82)

Además, como  $\nu_{n=1} \approx 4 \times 10^{13} \text{ s}^{-1} \ll \nu_1 \approx 3 \times 10^{15} \text{ s}^{-1}$  (típica frecuencia de absorción), las frecuencias  $\nu_n$  están todas en la región UV y muy cercanas unas de otras. Por ello, la sumatoria en la ecuación de McLachlan puede ser reemplazada por una integral en  $n$ , donde  $dn = (h/2\pi k_B T) d\nu$

$$k_B T \sum_{n=1}^{\infty} \Rightarrow \frac{h}{2\pi} \int_{\nu_1}^{\infty} d\nu \quad (90)$$

Aplicando esta idea a la ecuación de McLachlan (82) se obtienen las contribuciones de frecuencias finitas a  $w(r)$ :

$$w(r)_{\nu>0} = - \frac{3h}{(4\pi\epsilon_0)^2 \pi r^6} \int_{\nu_1}^{\infty} \alpha_1(\nu) \alpha_2(\nu) d\nu \quad (91)$$

Finalmente, sustituyendo la polarizabilidad electrónica (86) en (91) y utilizando la siguiente integral definida:

$$\int_0^{\infty} \frac{dx}{(a^2 + x^2)(b^2 + x^2)} = \frac{\pi}{2ab(a+b)} \quad (92)$$

Se obtiene:

$$w(r)_{v>0} \approx -\frac{3\alpha_{01}\alpha_{02}}{2(4\pi\epsilon_0)^2 r^6} \frac{h\nu_{11}\nu_{12}}{(\nu_{11} + \nu_{12})} \quad (93)$$

la cual es la ecuación de London. Además:

$$w(r) = w(r)_{v=0} + w(r)_{v>0} \quad (94)$$

### ***Efecto del medio***

La teoría de McLachlan es naturalmente aplicable a las interacciones de moléculas o partículas pequeñas en un medio. En este caso, las  $\alpha(i\nu_n)$  en (82) son las polarizabilidades en exceso de las moléculas (ver **cap. 01**). Para una molécula esférica pequeña 1 de radio  $a_1$  en un medio 3:

$$\alpha_1(v) = 4\pi\epsilon_0\epsilon_3(v) \frac{[\epsilon_1(v) - \epsilon_3(v)]}{[\epsilon_1(v) + 2\epsilon_3(v)]} a_1^3 \quad (95)$$

La contribución de frecuencia cero a  $w(r)$  en (82) es:

$$w(r)_{v=0} = \frac{-3k_B T a_1^3 a_2^3}{r^6} \frac{[\epsilon_1(0) - \epsilon_3(0)]}{[\epsilon_1(0) + 2\epsilon_3(0)]} \frac{[\epsilon_2(0) - \epsilon_3(0)]}{[\epsilon_2(0) + 2\epsilon_3(0)]} \quad (96)$$

$\epsilon_1(0)$ ,  $\epsilon_2(0)$  y  $\epsilon_3(0)$  son las constantes dieléctricas estáticas de 1, 2 y 3. Combinando (95) con (82) y reemplazando  $\Sigma$  por  $\int$  se tiene que:

$$w(r)_{v>0} = \frac{-3ha_1^3 a_2^3}{\pi r^6} \int_0^{\infty} \frac{[\epsilon_1(i\nu) - \epsilon_3(i\nu)]}{[\epsilon_1(i\nu) + 2\epsilon_3(i\nu)]} \frac{[\epsilon_2(i\nu) - \epsilon_3(i\nu)]}{[\epsilon_2(i\nu) + 2\epsilon_3(i\nu)]} d\nu \quad (97)$$

Desafortunadamente, no se dispone de datos completos del espectro de absorción de la mayoría de los materiales, por lo que es necesario adoptar un modelo que represente el comportamiento dieléctrico del material.

Von Hippel, en 1958 estableció que para un medio dieléctrico que exhibe un fuerte pico de absorción a una frecuencia  $\nu_e$  ligeramente diferente de  $\nu_1$  (frecuencia de ionización), de moléculas aisladas en un gas, se puede expresar a la permitividad dieléctrica a  $\nu > \nu_{n=1}$ .

$$\epsilon(\nu) = 1 + \frac{n^2 - 1}{1 - (\nu/\nu_e)^2} \quad (98)$$



donde  $\eta$  es el índice de refracción del medio  $\approx (\epsilon v_{\text{vis}})^{1/2}$ . Entonces:

$$\epsilon(iv) = 1 + \frac{\eta^2 - 1}{1 + (v/v_e)^2} \quad (99)$$

Combinando (97) y (99) e integrando se obtienen que:

$$w(r)_{v>0} = - \frac{\sqrt{3} h v_e a_1^3 a_2^3}{2r^6} \cdot \frac{(\eta_1^2 - \eta_3^2)(\eta_2^2 - \eta_3^2)}{(\eta_1^2 + 2\eta_3^2)^{1/2}(\eta_2^2 + 2\eta_3^2)^{1/2}[(\eta_2^2 - \eta_3^2)^{1/2} + (\eta_1^2 - \eta_3^2)^{1/2}]} \quad (100)$$

donde por simplicidad se supuso que  $v_{e1}=v_{e2}=v_{e3}=v_e$ .

La energía libre total de interacción de van der Waals entre dos moléculas idénticas 1 en un medio 3 es:

$$w(r) = w(r)_{v=0} + w(r)_{v>0} = - \left\{ \frac{3k_B T \left[ \frac{\epsilon_1(0) - \epsilon_3(0)}{[\epsilon_1(0) + 2\epsilon_3(0)]} \right]^2 + \frac{\sqrt{3} h v_e (\eta_1^2 - \eta_3^2)}{4 (\eta_1^2 + 2\eta_3^2)^{1/2}} \right\} \frac{a_1^6}{r^6} \quad (101)$$

la cual es estrictamente válida para  $r \gg a_1$ .

De (101) se pueden resaltar algunos aspectos importantes de las fuerzas de van der Waals en un medio solvente:

- i) como  $h\nu \gg k_B T$  entonces  $w(r)_{v>0}$  (dispersión)  $>$   $w(r)_{v=0}$  (orientación e inducción)
- ii) Las interacciones de van der Waals se reducen considerablemente en un medio.

Por ejemplo, para dos moléculas no polares ( $n_1 = 1,5$ ) en un medio solvente ( $n_3 = 1,4$ )  $w(r)$  se verá disminuido con respecto a  $w(r)$  en el espacio libre (donde  $n_3 = 1$ ) en un factor de:

$$\frac{[(1,5)^2 - 1]^2 [(1,5)^2 + 2]^{-3/2}}{[(1,5)^2 - (1,4)^2]^2 [(1,5)^2 + 2(1,4)^2]^{-3/2}} \approx 32$$

- iii) Las fuerzas de dispersión entre moléculas desiguales pueden ser atractivas o repulsivas. Son repulsivas si  $n_1 > n_3 > n_2$  o  $n_2 > n_3 > n_1$ .
- iv) Las fuerzas de dispersión entre moléculas iguales siempre son atractivas debido a la simetría de la ecuación (101).

Notar que las ecuaciones anteriores proporcionan un criterio semicuantitativo para determinar cuándo dos líquidos serán o no miscibles. Hay una regla empírica que dice "igual disuelve igual".

Esto es evidente de (101) ya que si  $n_1 - n_3 \rightarrow 0$ , existe una atracción pequeña entre dos moléculas del soluto, es decir, tiende a permanecer en el solvente, por razones entrópicas.

Como (101) depende básicamente de la magnitud de  $(n_1^2 - n_3^2)^2$ , entonces es de esperar que dos líquidos sean miscibles si  $(\eta_1^2 - \eta_3^2)^2 \approx 0$ . Esto puede escribirse como:

$$\{[(\eta_1^2 - 1)^2]^{1/2} - [(\eta_3^2 - 1)^2]^{1/2}\}^2 \propto \{[(\alpha_{01}^2/a_1^6)^2]^{1/2} - [(\alpha_{02}^2/a_2^6)^2]^{1/2}\}^2$$

$$\therefore w(r) \propto (U_1^{1/2} - U_2^{1/2})^2 \quad (102)$$

donde  $U_1$  y  $U_2$  son las energías cohesivas o calores latentes de vaporización de los dos líquidos. Nota: esta derivación semicuantitativa es la base del “parámetro de solubilidad” de Hildebrand,  $\delta$ :

$$\delta = (\bar{U}_l)^{1/2} \quad (103)$$

donde  $\bar{U}_l$  es la energía cohesiva molar del líquido. Se ha encontrado que si dos líquidos no polares tienen  $\delta$  similares, es decir,  $(\delta_1 - \delta_2)^2 \rightarrow 0$ , entonces son miscibles y la mezcla binaria es casi ideal (pequeñas desviaciones a la ley de Raoult).

### [Problema 9]

## 3

### FUERZAS ENTRE PARTÍCULAS Y SUPERFICIES

#### 7.- contraste entre fuerzas intermoleculares, interpartículas e intersuperficies

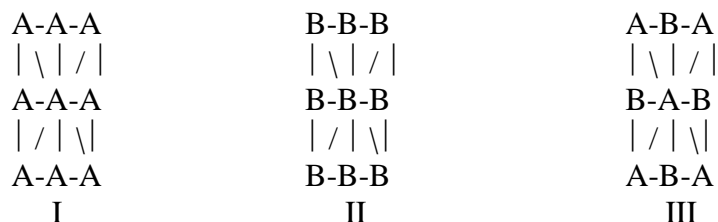
##### 7.1.- Efectos de corto y largo alcance de una fuerza

En esta parte examinaremos las fuerzas físicas entre partículas y superficies. Aunque las fuerzas fundamentales involucradas son las mismas que las descritas en la primera parte (es decir, electrostáticas, van der Waals, hidratación, etc.), estas se manifiestan en forma muy diferente y conducen a nuevos aspectos cuando actúan entre partículas grandes o superficies extendidas.

#### *Algunos conceptos unificadores en fuerzas intermoleculares e interpartículas*

Las fuerzas que actúan entre partículas son las mismas que actúan entre moléculas, aunque se manifiestan en forma algo diferente. Para comenzar, nótese que para cualquier interacción entre moléculas A y B, la energía asociada es proporcional al producto de una propiedad  $P_A$  de A con otra  $P_B$  de B (masas, polarizabilidades, cargas, momentos dipolares, etc.). Para muchas de esas interacciones, podemos expresar las energías de unión de moléculas A y B como  $W_{AA} = -P_A^2$  y  $W_{BB} = -P_B^2$  para moléculas iguales, y  $W_{AB} = -P_AP_B$  para moléculas diferentes.

Si consideramos a un líquido compuesto de cantidades iguales de moléculas de A y de B, la situación puede ser que las moléculas estén distribuidas al azar (III) o reunidas en grupos del mismo tipo (I y II):



La diferencia entre la energía del estado al azar o el asociado es igual al número de enlaces del mismo tipo que se rompen para dar el estado III. Este número en el diagrama anterior es  $n = 14 - 4$  (que se mantienen) = 10. De modo que:

$$\Delta W = W_{I,II} - W_{azar} = -n(P_A - P_B)^2 \quad (104)$$

Puesto que el término entre paréntesis es siempre positivo, las moléculas iguales siempre se atraen porque  $\Delta W$  es siempre negativo. Notar que:

$$\Delta W = -n(P_A^2 + P_B^2 - 2P_AP_B) = -n(W_{AA} + W_{BB} - 2W_{AB}) \propto -(\sqrt{U_A} - \sqrt{U_B})^2 \quad (105)$$

ya que  $-W_{ii}$  es aproximadamente proporcional a la energía de cohesión  $U_i$ . Esta relación es esencialmente la misma que se encontró antes para fuerzas de dispersión.

Algunas consecuencias de esto son que cuanto mayor sea  $\Delta W$ , menos miscibles serán las sustancias A y B. Otra es que cuanto mayor sea  $n$ , también menos miscibles serán las sustancias, por lo que las macromoléculas tienden a ser inmiscibles entre sí y con otras sustancias. Por otro lado, puesto que  $\Delta W/n$  es el mismo para moléculas de A asociándose en un medio B, que para las de B asociándose en uno de A, se deduce que la atracción entre moléculas de una misma sustancia depende de la naturaleza del medio en el cual están asociándose.

Una excepción es el hecho de que las partículas cargadas tienen un signo de  $\Delta W$  cambiado, por lo que se verá favorecido el estado disperso. La otra excepción es el caso de sustancias unidas por enlaces de hidrógeno, en las cuales la fuerza de los enlaces está expresada en forma más complicada que el visto en el proceso de arriba.

Un caso similar es el de dos superficies de sustancias A y B que se contactan. En este caso, la energía de cohesión es  $2\gamma_A = W_{AA}$ , y  $2\gamma_B = W_{BB}$ , donde  $\gamma_i$  es la tensión superficial<sup>2</sup> (o energía libre superficial) de i.  $W_{AB}$  es proporcional a la energía de adhesión entre las dos sustancias, y  $\Delta W$  es proporcional a la energía libre interfacial  $\gamma_{AB}$ , por lo que:

$$\gamma_{AB} = \gamma_A + \gamma_B - W_{AB} \text{ por unidad de área} \quad (106)$$

Tanto ésta como la relación anterior son ejemplos de leyes o relaciones de combinación, que son muy útiles para estimar datos cuando están disponibles los experimentales. Por ejemplo, comparando con la ecuación (105) puede verse que:

$$\gamma_{AB} = \gamma_A + \gamma_B - 2\sqrt{\gamma_A\gamma_B} = (\sqrt{\gamma_A} - \sqrt{\gamma_B})^2 \quad (107)$$

Supongamos ahora que las partículas de A y de B están en un medio C. En ese caso:

$$\Delta W \propto -(P_A - P_C)(P_B - P_C) \quad (108)$$

lo que significa que las partículas pueden atraerse o rechazarse, este último caso si  $P_C$  está entre  $P_A$  y  $P_B$ . Este mismo resultado se había obtenido cuando se estudiaron fuerzas de van der Waals entre moléculas.

Considérese ahora el caso de una partícula C sumergida en un medio A en el cual hay una interfase con otro medio diferente B, que es inmisible con A. En este caso, se pueden analizar tres situaciones (V. Figura 22):

- C es repelida por ambos lados de la interfase (desorción)
- C es atraída por la interfase y permanece allí (adsorción)
- C es atraída por una de las fases y repelida por la otra (engolfado)

<sup>2</sup> Otra notación para la tensión superficial es  $\sigma$ .

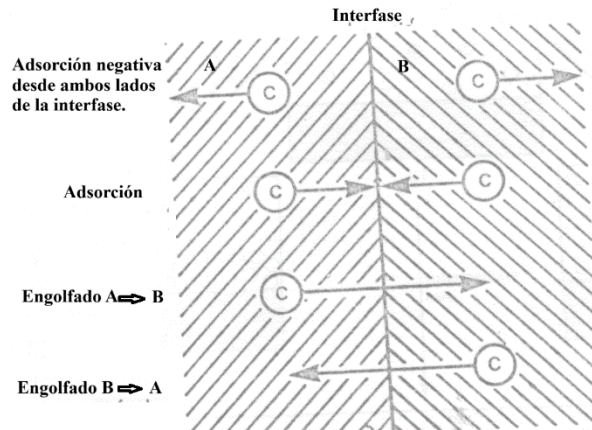


Figura 22: opciones de la interacción de una partícula C con dos medios mutuamente inmiscibles A y B.

Usando la ecuación 108, cuando la partícula va de la fase A a la B:

$$\Delta W_{A \rightarrow B} \propto -(P_C - P_A)(P_B - P_A) \quad (109)$$

y cuando va de la B a la A:

$$\Delta W_{B \rightarrow A} \propto -(P_C - P_B)(P_A - P_B) \quad (110)$$

de modo que el trabajo total de pasar la partícula a través de la interfase, desde B hacia A, es:

$$\Delta W_{B \rightarrow A, \text{ total}} = \Delta W_{B \rightarrow A} - \Delta W_{A \rightarrow B} \propto (P_A - P_C)^2 - (P_B - P_C)^2 \propto \gamma_{BC} - \gamma_{AC} \quad (111)$$

de modo que si  $P_C$  está entre  $P_A$  y  $P_B$ , la partícula será atraída por la interfase y se producirá la adsorción. Si  $P_B$  está entre las otras dos, la partícula será repelida por B y atraída por A, siendo engolfada por este medio. Lo opuesto si  $P_A$  es el intermedio. Como no puede haber otra combinación de valores relativos de las  $P$ , entonces no es posible que una partícula sea repelida a la vez por los dos lados de la interfase.

Si una de las dos fases, por ejemplo, la A, es sólida, y tenemos del otro lado de la interfase una mezcla de moléculas de B y C, entonces en el caso de que  $P_C$  sea intermedia entre  $P_A$  y  $P_B$ , C será adsorbida por la interfase desplazando a las moléculas de B que se verán desorbidas. El caso inverso se producirá si  $P_B$  es el valor intermedio. Si  $P_A$  es el valor intermedio, ambos componentes (B y C) serán atraídos por la fase sólida, en forma no uniforme, formándose gotículas de fases B y C. Puede verse que al minimizar la energía libre superficial del sistema se obtienen las relaciones de Young y de Young-Dupré.

Como puede verse, aplicando en forma semicuantitativa las nociones obtenidas en sistemas de moléculas sueltas, puede llegarse a relaciones de interacciones entre masas mayores de moléculas, si bien en forma más bien gruesa.

### ***Fuerzas de corto y largo alcance***

Hay cuatro fuerzas distintas en la naturaleza: interacciones fuertes y débiles, que actúan entre partículas subatómicas elementales, como electrones, neutrones, protones,

etc., fuerzas gravitacionales, y interacciones electromagnéticas, que dan cuenta de fuerzas entre moléculas y entre partículas.

### ***Interacciones gravitacionales***

A corto alcance, afecta fenómenos que ocurren en la superficie de la Tierra: elevación capilar, ondulaciones y mareas, tamaño de los animales (mar vs. tierra, patas y alas); altura de la atmósfera.

A largo alcance, afecta fenómenos que ocurren en escala cosmológica: las órbitas de los planetas, la forma de las galaxias, la velocidad de expansión del universo.

### ***Interacciones intermoleculares***

Son electromagnéticas, e igualmente versátiles a corto y largo alcance. A corto alcance actúan a distancias iguales o cercanas al contacto molecular ( $< 1$  nm). A largo alcance, son raramente importantes a distancias mayores que 100 nm.

Para átomos y moléculas, las fuerzas de van der Waals son importantes principalmente para moléculas en contacto ( $w(\sigma) \sim 64w(2\sigma)$ ). Sólo las interacciones coulómicas son efectivamente de largo alcance, aunque son drásticamente reducidas en un medio dieléctrico.

### ***Interacciones entre partículas***

Las fuerzas entre partículas son del mismo tipo de las que existen entre moléculas. Sin embargo, una situación muy diferente ocurre porque todos los  $w(r)$  entre las moléculas de cada cuerpo son sumados y entonces se descubre que:

- 1) la energía de interacción es proporcional al tamaño (es decir, al radio) de las partículas y eso hace que la energía es mucho mayor que  $k_B T$  aún a distancias mayores o iguales que 100 nm.
- 2) La energía y las fuerzas de interacción decaen más suavemente con la distancia.

La figura 23 muestra la relación entre la curva para moléculas y para partículas, con respecto al valor  $k_B T$ . En el caso de las partículas, debido a la altura de la barrera de potencial, éstas permanecen separadas aun cuando el estado termodinámico de equilibrio es el estado agregado.

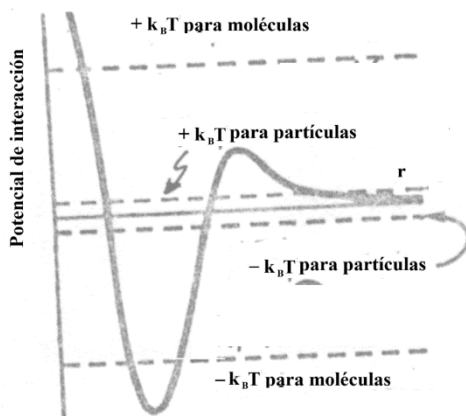


Figura 23: Las partículas permanecerán dispersas aun cuando el estado termodinámico de equilibrio es el estado agregado.

Estas características hacen a las interacciones entre cuerpos macroscópicos efectivamente de mucho mayor largo alcance que aquéllas entre moléculas aun cuando son los mismos tipos de fuerzas que operan en cada caso.

Además, si la ley de fuerza no es monotónica (no es puramente atractiva o puramente repulsiva) entonces todo tipo de comportamiento debe depender de la forma específica de la dependencia de largo alcance de la interacción.

### ***Potenciales de interacción entre cuerpos macroscópicos.***

Aquí comparamos la fuerza del potencial de par  $w(r)$  entre dos moléculas con los  $w(r)$  entre

- 1) moléculas y superficies (cuerpo macroscópico)
- 2) partícula esférica y partícula esférica
- 3) partícula esférica y superficie plana
- 4) superficie plana y superficie plana

#### ***Interacción molécula - superficie***

Suponer que  $w(r)$  entre dos átomos o pequeñas moléculas es puramente atractivo:

$$w(r) = -Cr^{-n} \quad (112)$$

y suponemos aditividad:

$$W_1(D) = \sum_{j=2}^n w_{1j}(r) \quad (113)$$

donde  $j = 1, 2, \dots$  son todas las moléculas o átomos de la superficie:

Estudiamos la interacción entre la molécula en O y las moléculas de la superficie de espesor y extensión infinitos<sup>3</sup> situado a la distancia D en la dirección z (V.Figura 24). Entonces:

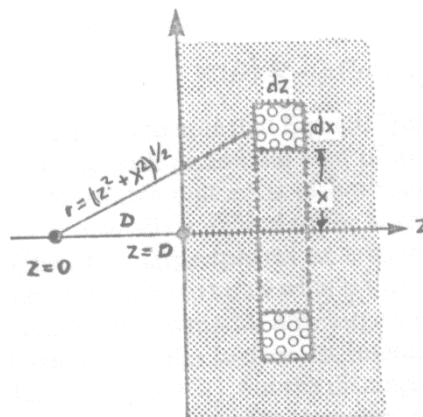


Figura 24: interacción entre una molécula a la distancia D de una superficie.

<sup>3</sup> La superficie en realidad no tiene por qué ser de superficie y espesor infinitos. Para una interacción entre una molécula y un cuerpo, un cm puede ser considerado infinito en comparación con el tamaño molecular y el alcance de las interacciones involucradas.

$$w(r) = \int_z (\text{todas las fuerzas intermoleculares para } z \text{ desde } D \text{ hasta el infinito})$$

Consideremos un anillo diferencial con volumen  $dv = 2\pi x dx dz$ , por lo que le número de moléculas en el anillo es de  $dn = \rho 2\pi x dx dz$ , donde  $\rho$  es el número de moléculas por unidad de volumen. Pero:

$$w(r) = - \frac{C}{r^n} = - \frac{C}{(x^2 + z^2)^{n/2}} \quad (114)$$

Entonces,

$$W(D) = \int_{z=D}^{\infty} \int_{x=0}^{\infty} 2\pi \rho x dx dz \left[ - \frac{C}{(x^2 + z^2)^{n/2}} \right] = - 2\pi \rho C \int_{z=D}^{\infty} \int_{x=0}^{\infty} \frac{x dx}{(x^2 + z^2)^{n/2}} dz \quad (115)$$

como al integrar en  $x$ ,  $z$  es fijo, definimos  $y^2 = x^2 + z^2$ ,  $y dy = x dx$ , cuando  $x = 0$ ,  $y = (z^2)^{1/2} = z$

$$W(D) = - 2\pi \rho C \int_{z=D}^{\infty} \left[ \int_z^{\infty} \frac{y dy}{y^n} \right] dz = - 2\pi \rho C \int_{z=D}^{\infty} \left[ \int_z^{\infty} y^{1-n} dy \right] dz = \frac{2\pi \rho C}{2-n} \int_{z=D}^{\infty} z^{2-n} dz = - \frac{2\pi \rho C}{(n-2)(n-3)} \frac{1}{D^{n-3}} \quad (116)$$

Para fuerzas de van der Waals,  $n = 6$ , por lo que

$$W(D) = - \frac{\pi \rho C}{6D^3} \quad (\text{molécula-superficie plana}) \quad (117)$$

$$\text{y } F(D) = dW/dD = - \frac{\pi \rho C}{2D^4} \quad (118)$$

entonces, un potencial  $1/r^6$  a nivel molecular produce un potencial macroscópico ( $1/D^3$ ) que depende de  $\rho$ .

$$\begin{array}{ccc} w(r) \sim r^{-6} & \rightarrow & w(r) \sim D^{-6} \\ \text{molécula- molécula} & & \text{molécula - superficie} \end{array}$$

### [Problema 10]

#### *Interacción esfera – superficie*

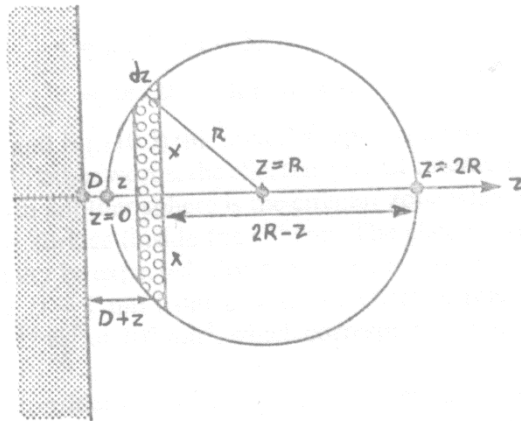


Figura 25: Interacción entre una esfera y una superficie.

Ahora tenemos una superficie infinita en extensión y espesor, que interactúa con una esfera de radio  $R$ . (Figura 25). La superficie dista del punto más cercano de la esfera la distancia  $D$ , en la dirección  $z$ .

Para una sección de la esfera:  $x^2 = (2R-z)z$

El volumen de la rodaja circular de espesor  $dz$  en  $x$  es

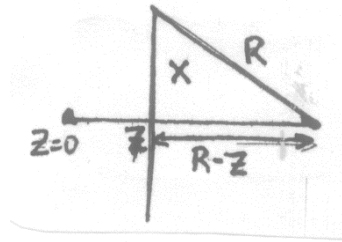


Figura 26: Distancia entre las moléculas de la rodaja y la superficie.

$$\pi x^2 dz = \pi (R-z)z dz$$

$$R^2 = x^2 + (R-z)^2 \Rightarrow R^2 = x^2 + R^2 - 2Rz + z^2 \Rightarrow x^2 = (2R-z)z$$

Todas las moléculas que están en la rodaja están a una distancia  $(D+z)$  de la superficie plana (Figura 26).

$$W(D) = \int_{z=0}^{z=2R} \underbrace{W(D+z)}_{\substack{\uparrow \text{usar ec. 117} \\ \uparrow \text{número total de} \\ \text{moléculas en la franja circular}}} \cdot (\text{volumen}) \cdot \rho = - \int_{z=0}^{z=2R} \frac{\pi C \rho_1}{6(D+z)^3} \pi (2R-z) z \rho_2 dz \quad (119)$$

$$W(D) = - \frac{\pi^2 C \rho_1 \rho_2}{6} \int_0^{2R} \frac{z(2R) dz}{(D+z)^3} \quad (120)$$

Caso (1): para  $R \gg D$  (situación usual), con  $z$  pequeño ( $z \ll D$ )



$$W(D) = - \frac{\pi^2 C \rho_1 \rho_2}{6} \int_0^\infty \frac{z(2R)dz}{(D+z)^3} = - \frac{\pi^2 C \rho_1 \rho_2 R}{6D} \quad (121)$$

Para moléculas idénticas en la esfera y la superficie:

$$W(D) = - \frac{\pi^2 C \rho^2 R}{6D} \quad (122)$$

Notar que  $w(D)$  es proporcional al radio de la esfera y que decae con  $D^{-1}$ . (mucho mas suavemente que  $r^{-6}$  para  $w(r)$  entre dos moléculas).

Caso (2) Para  $D \gg R$  y  $D + z \approx D$

$$W(D) = - \frac{\pi^2 C \rho_1 \rho_2}{6} \int_0^{2R} \frac{z(2R-z)dz}{(D+z)^3} = - \frac{\pi C \rho_1}{6D} \left( \frac{4\pi \rho_2 R^3}{3} \right) \quad (123)$$

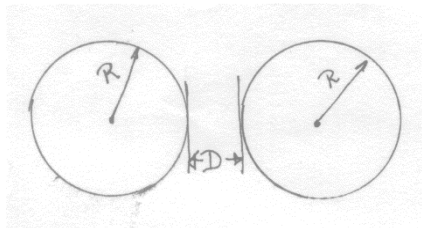
Para moléculas idénticas,  $\rho_1 = \rho_2$ :

$$W(D) = - \frac{\pi C \rho}{6D} \left( \frac{4\pi \rho R^3}{3} \right) \quad (124)$$

Los términos entre paréntesis representan el número de moléculas totales en la esfera.

### ***Interacción esfera – esfera***

Para dos esferas de radio idéntico  $R$ , cuyas superficies están separadas por una pequeña distancia ( $R \gg D$ )



$$W(D) = - \frac{\pi^2 C \rho^2 R}{12D} \quad (125)$$

Mientras que para dos esferas muy separadas  $R \ll D$ ,  $w(D) \sim D^{-6}$  igual que para dos moléculas ( $w(r) \sim r^{-6}$ ).

### ***Interacciones superficie – superficie***

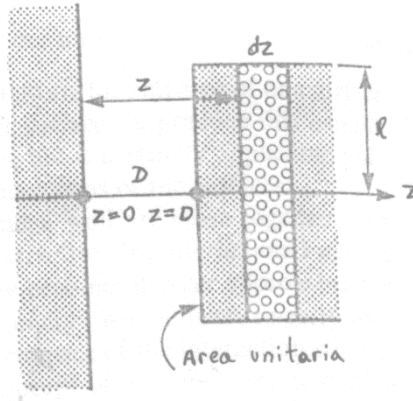


Figura 27: Interacción entre dos superficies infinitas.

Para dos superficies infinitas,  $w(D) = \infty$ . Entonces, tenemos que considerar la energía de interacción por unidad de área entre dos superficies separadas por una distancia  $D$ . (Figura 27) Considérese una lámina elemental infinitesimalmente delgada de espesor  $dz$ , que tiene un volumen  $Adz$ .

Recordemos que la interacción entre una molécula y una superficie plana es:

$$W(D) = - \frac{2\pi\rho C}{(n-2)(n-3)} \frac{1}{D^{n-3}} = - \frac{\pi\rho C}{6D^3} \quad (\text{molécula-superficie plana}) \quad (126)$$

Entonces el elemento de volumen de la lámina de material 2 contiene  $dn = \rho_2 Adz$  moléculas y entonces:

$$W(D) = - \frac{2\pi\rho_1 C}{(n-2)(n-3)} \rho_2 \int_D^\infty \frac{dz}{z^{n-3}} = - \frac{2\pi C\rho_1\rho_2}{(n-2)(n-3)(n-4)} \cdot \frac{1}{D^{n-4}} \quad (127)$$

Para  $n = 6$  se obtiene:

$$W(D)_{\text{sup-sup}} = - \frac{\pi C\rho_1\rho_2}{6} \int_D^\infty \frac{dz}{z^3} = - \frac{\pi C\rho_1\rho_2}{12D^2} \quad (\text{por unidad de área}) \quad (128)$$

### ***Resumen de fuerzas entre partículas***

#### **1.- Superficie plana – molécula**

$$W(D) = - \frac{\pi\rho C}{6D^3} \quad (126)$$

#### **2.- Superficie plana – esfera**

$$W(D) = - \frac{\pi^2 C\rho^2 R}{6D} \quad (122)$$

### 3.- Superficie plana – superficie plana

$$W(D)_{\text{por unidad de área}} = - \frac{\pi C \rho_1 \rho_2}{12D^2} \quad (128)$$

### 4.- esfera- esfera ( $R \gg D$ )

$$W(D) = - \frac{\pi^2 C \rho^2 R}{12D} \quad (129)$$

Notar que el potencial entre plano – plano es diferente al potencial entre esfera – esfera a  $R \rightarrow 0$ . Sin embargo, la fuerza entre una esfera y una superficie plana:

$$F(D)|_{\text{esfera-plano}} = - \frac{\partial W(D)}{\partial D} = - \frac{\pi^2 C \rho^2 R}{6D^2} = + 2\pi R W(D)|_{\text{plano-plano}} \quad (130)$$

Este es un resultado general denominado *Aproximación de Derjaguin*.

### ***Interacciones entre cuerpos grandes comparados con las distancias que hay entre moléculas***

Para dos cuerpos macroscópicos,  $w(D)$  en general decae mucho más lentamente con  $D$  que  $w(r)$  para moléculas

$$\left. \begin{array}{l} w(D) \sim 1/D \text{ para esferas} \\ w(D) \sim 1/D^2 \text{ para superficies planas} \end{array} \right\} \text{ vs. } w(r) \sim 1/r^6 \text{ para moléculas}$$

La magnitud de  $w(D) \gg w(r)$  y aumenta con  $R$ . ¿Cuán grande debe ser la partícula para que  $w(D) \gg w(r)$ ? ¿Se cumple este efecto para moléculas grandes o sólo para partículas grandes?

Comparemos  $w(D)$  para molécula- superficie plana en contacto con  $w(D)$  para esfera – superficie plana en contacto.

Molécula – superficie plana en contacto

$D = \sigma$  (diámetro molecular)

$$\rho \sim \sigma^{-3} = \sqrt{2}/\sigma^3 \text{ para sólido estrechamente empaquetado, } \therefore w(D) = - \frac{\pi C \rho}{6D^3} = - \frac{\pi C \sqrt{2}}{6 \sigma^3} \cdot \frac{1}{D^3}$$

(131)

En contacto

$$W(D=\sigma) = - \frac{\pi C \sqrt{2}}{6 \sigma^3} \cdot \frac{1}{\sigma^3} \approx - 0,8C/\sigma^3 \quad (132)$$

Mientras que para molécula- molécula en contacto  $w(r = \sigma) = -C/\sigma^6$ , es decir, son del mismo orden de magnitud.

Esfera de radio  $R = \sigma/2$  (dimensiones atómicas) – pared en contacto

$$W(D) = - \frac{\pi^2 C \rho^2 R}{6D} = - \frac{\pi^2 C (\sqrt{2})^2 \sigma}{(\sigma^3) 2 D} \cdot \frac{1}{D} = - \frac{\pi^2 C}{6} \cdot \frac{1}{\sigma^5 D} \quad (133)$$

En contacto:

$$W(D=\sigma) = - \frac{\pi^2 C}{6\sigma^6} \approx - \frac{1,6C}{\sigma^6} \quad (134)$$

Esfera ( $\sigma = R/2$ ) – esfera ( $\sigma = R/2$ ) en contacto:

$$W(D=\sigma) = - \frac{\pi^2 C}{12\sigma^6} \approx - \frac{0,8C}{\sigma^6} \quad (135)$$

Es decir, el mismo orden de magnitud que  $w(\sigma)$

Para esfera grande ( $R > \sigma$ )

Esfera- pared

$$W(D) = - \frac{\pi^2 C \rho^2 R}{6D} \quad (136)$$

En contacto:

$$W(D=\sigma) = - \frac{\pi^2 C (2R) \overset{\rho^2}{\downarrow} (2/\sigma^6)}{12D} \approx - \frac{1,6C (2R/\sigma)}{\sigma^6} \quad (137)$$

O sea,  $|w(\sigma)|$  aumenta linealmente con  $R$ !

Entonces, si la molécula es mayor que 1 o 2 diámetros atómicos ( $r \sim 0,5$  nm), su tamaño debe tomarse en cuenta (es decir, las interacciones de London son mayores que entre simples átomos). **Ver tabla X.**

Tabla X  
Intensidad de la interacción de dispersión entre partículas esféricas no polares

$T_B$				$3\alpha_0 h \nu_1 / 4(4\pi\epsilon_0)^2$		Energía cohesiva molar $U$		Punto de ebullición	
	Diámetro molecular $\sigma$	Polarizabilidad	Potencial de ionización	$(10^{-79} \text{ Jm}^6)$		$(\text{kJmol}^{-1})$		$(\text{K})$	
				De la ley	Teórico	Medido	Medido	$\frac{3\alpha_0 h \nu_1}{4(4\pi\epsilon_0)^2 \sigma^6}$	
Moléculas interactuantes	(nm)	$\alpha_0 / 4\pi\epsilon_0$ ( $10^{-30} \text{ m}^3$ )	$I = h\nu$ (eV)	Teórico	de los gases	Teórico	(aprox.) $L_m + L_v$	Medido	
Ne-Ne	0,308	0,39	21,6	3,9	3,8	2,0	2,1	27	22
Ar-Ar	0,376	1,63	15,8	50	45	7,7	7,7	87	85
CH <sub>4</sub> -CH <sub>4</sub>	0,400	2,60	12,6	102	101	10,9	9,8	112	121
Xe-Xe	0,432	4,01	12,1	233	225	15,6	14,9	165	173
CCl <sub>4</sub> -CCl <sub>4</sub>	0,550	10,5	11,5	1520	2960	23,9	32,6	350	265

Conclusión: mientras que para átomos o moléculas pequeñas, la energía de interacción al contacto no tiene dependencia explícita en tamaño, la energía de interacción de partículas mayores en contacto aumenta linealmente con su tamaño (radio).

### ***Efecto de la geometría sobre las fuerzas. La aproximación de Derjaguin***

Hasta ahora hemos trabajado principalmente con **energías** (en lugar de **fuerzas**) de interacción. El motivo es que la mayor parte de los datos experimentales de interacciones intermoleculares son termodinámicamente más fácilmente entendidos en términos de energías de interacción. Sin embargo, es más fácil medir fuerzas entre cuerpos macroscópicos que energías de interacción. Las geometrías más usualmente encontradas en la práctica son de superficies planas y de esferas. Usualmente es más fácil deducir ecuaciones para el potencial de interacción entre dos superficies planas que entre dos superficies curvas. Lo deseable es relacionar  $F(D)$  para un sistema esfera- esfera con  $w(D)$  para un sistema plano – plano. En la sección anterior demostramos que para interacciones intermoleculares atractivas y aditivas,  $w(r) = -Cr^{-n}$ . Vimos que:

$$F(D) \Big|_{\text{esfera}} = 2\pi R.W(D)_{\text{pared}} \quad (138)$$

Ahora demostraremos que (7-9) es válida para cualquier tipo de ley de fuerza.

Considérense dos esferas grandes ( $R_1$  y  $R_2$ ) situadas a una distancia  $D$  una de la otra. Supóngase que  $R_1 \gg D$  y  $R_2 \gg D$ .

La aproximación de Derjaguin consiste en que si  $R_1$  y  $R_2 \gg D$ , entonces la geometría se puede considerar como una serie de discos planos de área  $2\pi x dx$  que interaccionan como platos planos (Figura 28) . La fuerza neta en la dirección  $z$  es (con  $z$  máximo =  $D + 2R_1 + 2R_2$ ):

$$F_s(D) = \int (\text{área})(\text{fuerza/área}) = \int_{z=D}^{z=D+2R_1+2R_2} (\text{área})F_p(z) = \int_{z=D}^{\infty} (2\pi x dx)F_p(z) \quad (139)$$

$\uparrow$   
 Fuerza normal por unidad  
 de área entre platos planos

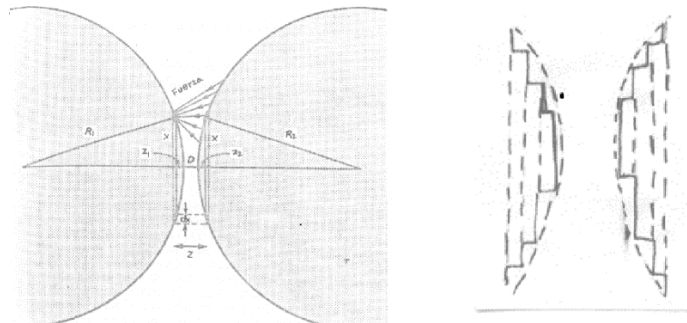


Figura 28: Interacción entre besferas.

Ahora:

$z = D + z_1 + z_2 = \text{distancia entre platos (140)}$

Además:

$$\left. \begin{aligned} (2R_1 - z_1)z_1 &= x^2 \\ (2R_2 - z_2)z_2 &= x^2 \end{aligned} \right\} x^2 \approx 2R_1 z_1 = 2R_2 z_2 \quad (141)$$

$$\therefore z = D_1 + \frac{x^2}{2R_1} + \frac{x^2}{2R_2} = D + \frac{x^2}{2} \left( \frac{1}{R_1} + \frac{1}{R_2} \right) \quad (142)$$

$$y \quad dz = \left( \frac{1}{R_1} + \frac{1}{R_2} \right) x dx$$

Entonces

$$F_s(D) \approx 2\pi \int_{z=D}^{\infty} \left( \frac{1}{R_1} + \frac{1}{R_2} \right)^{-1} F_p(z) dz = 2\pi \left( \frac{R_1 R_2}{R_1 + R_2} \right) \int_{z=D}^{\infty} F_p(z) dz \quad (143)$$

$\uparrow$   
 $= -\partial W_p(z)/\partial z$

$$\therefore F_s(D) \approx 2\pi \left( \frac{R_1 R_2}{R_1 + R_2} \right) W_p(D) \quad (144)$$

ya que  $W_p(\infty) \rightarrow 0$ .

Entonces, la fuerza entre esferas desiguales es proporcional a  $W_p(D)$ . Notar que no especificamos el tipo de potencial  $w_p(D)$ . La ecuación (144) es válida para cualquier tipo de potencial de interacción. Notar lo siguiente:

1) Si  $R_2 \gg R_1$  entonces  $F(D)|_{s-s} \approx 2\pi R_1 w(D)|_{p-p} = F(D)|_{s-p}$

Es decir, es el caso límite para una esfera cerca de un plano.

2) Si  $R_2 = R_1 = R$  entonces  $F(D)|_{s-s} = \pi R w(D)|_{p-p} = \frac{F(D)|_{s-p}}{2}$

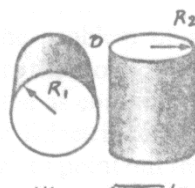
3) Para dos esferas en contacto ( $D = \sigma$ ), la fuerza de adhesión entre superficies es:

$$F(\sigma) = F_{\text{adhesión}} = 2\pi \left( \frac{R_1 R_2}{R_1 + R_2} \right) W_p(\sigma) = 4\pi \left( \frac{R_1 R_2}{R_1 + R_2} \right) \gamma \quad (145)$$

$\uparrow$   
 Fuerza de adhesión entre superficies  
 $\uparrow$   
 $= 2\gamma$   
 $\uparrow$   
 Energía libre superficial por unidad de área

Donde  $w(\sigma) = 2\gamma$ , siendo  $\gamma$  la energía libre superficial por unidad de área (tensión interfacial).

3) Finalmente, para dos cilindros de radios  $R_1$  y  $R_2$  cruzados a ángulo recto:



$$F(D)_{\text{cil.-cil.}} = 2\pi\sqrt{R_1 R_2} W(D)_{\text{plano-plano}} \quad (146)$$

Entonces, la fórmula aproximada de Derjaguin indica que la naturaleza de las fuerzas depende de la curvatura: esto produce un comportamiento “anómalo” (¡no esperado *a priori*!). Por ejemplo, fuerzas atractivas para esferas pueden volverse repulsivas para platos. (ver **Figura 29**)

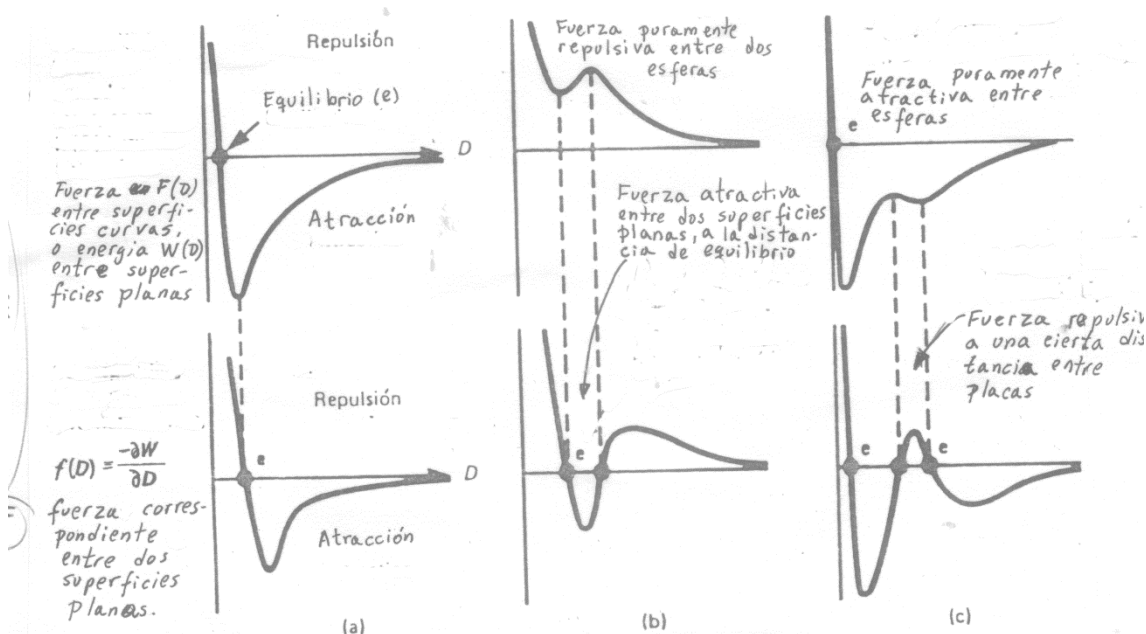


Figura 29: fila superior: leyes de fuerza entre dos superficies curvadas (ej: partículas esféricas). Fila inferior: ley de fuerza correspondiente entre dos superficies planas.

### [Problema 11]

#### **Mediciones experimentales de fuerzas intermoleculares y superficiales.**

Existe una gran variedad de métodos para medir fuerzas intermoleculares y superficiales. Esto se debe a que casi cualquier medición en la categoría  $> 10$  eV, es de alguna forma una medida de fuerzas intermoleculares.

- 1) Datos termodinámicos de gases, líquidos y sólidos (p. ej., datos PVT, puntos de ebullición,  $\Delta H_{\text{vaporización}}$ , etc.) proporciona información de potenciales atractivos de corto alcance entre moléculas.
- 2) Las isothermas de adsorción dan información de la interacción de moléculas con superficies.
- 3) Datos físicos de gases, líquidos y sólidos (dispersión de rayos X o neutrones, viscosidad, difusión, RMN, etc.) proporcionan información de interacciones

de corto alcance entre moléculas, especialmente repulsivas, que dan origen a la forma y tamaño molecular.

- 4) Diagramas de fase, distribución, miscibilidad, presión osmótica, etc. de mezclas líquidas proporciona información acerca de interacciones soluto – solvente y soluto – soluto.
- 5) Experimentos de separación de partículas proporcionan información sobre fuerzas de adhesión entre partículas y energías de adhesión de superficies sólidas en contacto.
- 6) Mediciones de ángulo de contacto, tensión superficial, etc., dan información de energía de adhesión líquido – líquido y líquido – sólido.
- 7) Estudios de coagulación en dispersiones coloidales proporcionan información de la interacción de fuerzas atractivas y repulsivas entre partículas en un medio solvente.
- 8) Separaciones interpartículas dinámicas y movimiento en líquidos pueden medirse usando SAXS, SANS, QLS, NMR.
- 9) Mediciones directas de fuerzas superficiales o intermoleculares:
  - Aparato de medición de fuerzas superficiales (Israelachvili): mide fuerzas entre superficies separados unos pocos Ångströms.
  - Microscopio de fuerza atómica: mide fuerzas entre átomos utilizando una punta muy fina que barre una superficie (radio de la punta del orden de 1 nm)
  - Microscopio de reflexión interna total: aplica una fuerza repulsiva (usualmente electrostática) para mantener a una partícula coloidal a una distancia  $D_0$ , en el equilibrio de una superficie.

#### 4

### 8.-FUERZAS DE VAN DER WAALS ENTRE SUPERFICIES

#### *La constante de Hamaker*

Las fuerzas de van der Waals juegan un papel muy importante en todos los fenómenos que involucran fuerzas intermoleculares. No son tan fuertes como las fuerzas coulombicas o de enlace de hidrógeno, pero siempre están presentes. En líquidos, las tres fuerzas más importantes son las de van der Waals, las electrostáticas y las estéricas (sólo a distancias menores de 1 a 3 nm las fuerzas de solvatación y otras fuerzas estéricas se tornan importantes).

Deduciremos las energías de interacción en el vacío para un par de cuerpos con diferentes geometrías. Suponemos que las interacciones son no retardadas y aditivas. Entonces, se suman (integran) los  $w(r)$  de todos los átomos en un cuerpo con todos los átomos en el otro cuerpo para obtener el potencial de interacción de dos cuerpos,  $W(D)$ . Los resultados se ven en la **Figura 30** en términos de la constante de Hamaker  $A$ :

$$A = \pi^2 C \rho_1 \rho_2 \quad (147)$$



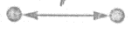
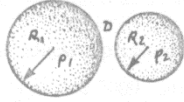
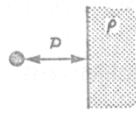
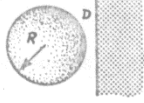
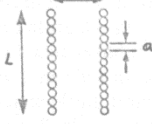
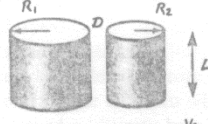
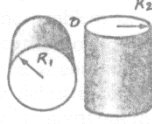
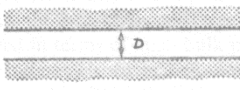
<p>dos átomos</p>  <p><math>w = -C/r^6</math></p>	<p>dos esferas</p>  <p><math>W = -\frac{A}{6D} \frac{R_1 R_2}{(R_1 + R_2)}</math></p>
<p>átomo-superficie</p>  <p><math>w = -11Cp/6D^3</math></p>	<p>esfera-superficie</p>  <p><math>W = -AR/6D</math></p>
<p>dos moléculas lineales paralelas</p>  <p><math>W = -311CL/8a^2 D^5</math></p>	<p>dos cilindros paralelos</p>  <p><math>W = -\frac{AL}{12\sqrt{2}} \frac{1}{D^{3/2}} \left( \frac{R_1 R_2}{R_1 + R_2} \right)^{1/2}</math></p>
<p>dos cilindros cruzados</p>  <p><math>W = -A\sqrt{R_1 R_2}/6D</math></p>	<p>dos superficies</p>  <p><math>W = -A/12\pi D^2</math> por unidad de área</p>

Figura 30: leyes de fuerza para diferentes geometrías en función de la constante de Hamaker.

En este caso,

$$W(D) = A f(\text{dimensiones y forma de las partículas, } D) \quad (149)$$

Así, por ejemplo,

2 esferas:

$$W(D) = -\frac{A}{6D} \cdot \frac{R_1 R_2}{R_1 + R_2} \quad (150)$$

2 platos

$$W(D) = -\frac{A}{12\pi} \cdot \frac{1}{D^2} \quad (151)$$

Más adelante probaremos que (149) es válida aún cuando las fuerzas de van der Waals están retardadas. Todo lo que cambia es el valor de A.

En el caso no retardado,  $A \approx 10^{-19}$  J siempre (interacciones en el vacío)

¿Por qué?

$$w(r)_{\text{vdW}} = - \frac{C}{r^6} \sim \frac{3\alpha_{01}\alpha_{02}h\nu_1\nu_2}{(v_1 + v_2)r^6} \quad \therefore w(r)_{\text{vdW}} \sim \alpha^2 \quad C \sim \alpha^2$$

$$\text{pero } \alpha/4\pi\epsilon_0 = \frac{\eta^2 - 1}{\eta^2 + 2} \cdot \frac{3v}{4\pi} \quad \therefore \alpha \sim v \approx 1/\rho$$

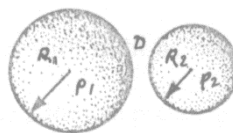
y como

$$A \sim C\rho^2 \sim \alpha^2(1/\alpha^2) \rightarrow \text{constante}$$

de hecho:

Sustancia	$C \times 10^{79} \text{ (Jm}^6\text{)}$ $A \times 10^{14} \text{ (J)}$	$\rho \times 10^{-28}$	(m. <sub>3</sub> )
Hidrocarburo (por grupo CH <sub>2</sub> )	50	3,3	0,5
CCl <sub>4</sub>	1500	0,6	0,5
H <sub>2</sub> O	140	3,3	1,5

La Figura 31 muestra la Dependencia con la distancia de la energía potencial no retardada entre pares de superficies sólidas de varias geometrías.

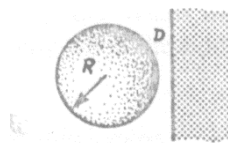


Dos esferas de diferente radio

$$V_A = - \frac{A}{6D} \left( \frac{R_1 R_2}{a_1 + a_2} \right)$$

$$V_A = - \frac{16AR_1^3 R_1^3 / D^6}{9}$$

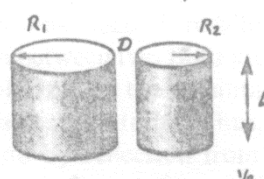
Esfera y placa de espesor semi infinito



$$V_A = - \frac{AR}{6D} \left( 1 + \frac{D}{2R + D} + \dots \right)$$

$$V_A \propto - 1/D^3$$

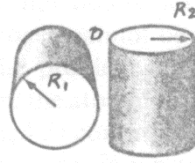
Cilindros paralelos



$$V_A = - \left( \frac{R_1 R_2}{R_1 + R_2} \right)^{1/2} \frac{A}{12\sqrt{2}D^{3/2}}$$

(por unidad de longitud)

$$V_A \propto - \text{longitud}/D^5$$



$$V_A = - A(R_1 R_2)^{1/2} / 6D$$

cilindros cruzados

$$V_A = - A / 12\pi D^2$$

(por unidad de área)

Figura 43: Dependencia con la distancia de la energía potencial no retardada entre pares de superficies sólidas de varias geometrías. La interacción retardada tiene una dependencia con la distancia  $1/H$  veces y la constante de proporcionalidad entonces cambia. En algunos casos el proceso de integración resultó bastante problemático que no han sido incluidos. Mahanty y Ninham (1976) dicen que en muchos casos es preferible hacer una integración sobre el volumen de las partículas mediante métodos numéricos en lugar de hallar representaciones analíticas que son complicadas

Los valores de  $A$  son similares aún cuando los medios están compuestos de moléculas con diferente polarizabilidad y tamaño.

La constante de Hamaker para la mayor parte de las sustancias es del orden de  $(0,4 - 4) \times 10^{-19}$  J. De hecho, todas tienen valores de  $10^{-20}$  a  $10^{-19}$  J.

Fuerzas de van der Waals en el vacío:

$$A = 10^{-19} \text{ J}$$

Dos esferas con radio 1 cm:  $W(D) = - AR/12D$        $F(D) = -AR/12D^2$

D (nm)	F(D) (N)	W(D) (J)
0,2	$2 \times 10^{-3}$	
10	$10^{-6}$	$10^{-14} (\approx 2 \times 10^6 \text{ k}_B T)$

Dos placas       $F(D) = - A/6\pi D^3$

D (nm)	F(D)/ unidad de área
0,2 (en contacto)	$7 \times 10^{-14} \text{ J}/(\text{nm})^3 = 7 \times 10^8 \text{ N/m}^2 \approx 7000 \text{ atm}$
1	56 atm
10	0,05 atm

## [Problema 12]

### *La teoría de Lifshitz de fuerzas de van der Waals*

En la definición de la constante de Hamaker (ec. 147) está inherente la suposición de la aditividad de las  $w(r)$  entre pares de moléculas que forman los cuerpos. Esta suposición ignora la influencia de los átomos vecinos en  $w(r)$ .

(a) Influencia de los átomos cercanos:

La polarizabilidad efectiva de un átomo (o molécula) puede cambiar. Si un tercer átomo (3) está presente, la interacción de dispersión entre átomos 1 y 2 es modificada por la reflexión del dipolo inducido en el átomo 3 (Figura 32):

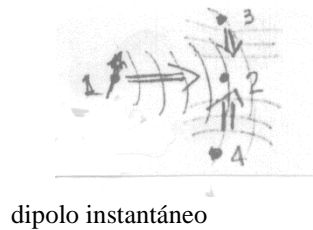


Figura 32: Reflexiones múltiples

(b) Fuerzas de dispersión retardadas: son las interacciones entre dipolos a distancias mayores. En medios rarificados (gases) estos efectos son pequeños. Los efectos son importantes en interacciones en fases condensadas. Además, la suposición de aditividad no puede ser directamente extendida para cuerpos interactuantes en un medio.

El problema de aditividad es completamente evitado en la teoría de Lifshits, donde la estructura atómica es ignorada y las fuerzas entre cuerpos grandes, considerados como un medio continuo, son deducidos en términos de propiedades macroscópicas (constante dieléctrica, índice de refracción, etc.)

Nota: los aspectos geométricos de  $W(D)$  son exactamente iguales, lo único que cambia es la forma de calcular  $A$ .

La teoría original de Lifshitz requiere un entendimiento profundo de la teoría de mecánica ondulatoria y es complicada, por lo que se suele preferir el enfoque aditivo de Hamaker. Dos décadas después, Ninham, Parsegian y otros demostraron que las ecuaciones especiales de la teoría de Lifshitz se pueden deducir usando técnicas teóricas mucho más sencillas de aditividad modificada.

Recordemos que las interacciones de van der Waals son esencialmente electrostáticas, originadas por el campo eléctrico del dipolo de un átomo “reflejado hacia atrás” por un segundo átomo que ha sido polarizado por ese campo eléctrico. Analizaremos primero ese campo reflejado cuando el segundo átomo es reemplazado por una superficie y el primero por una carga (Figura 33).

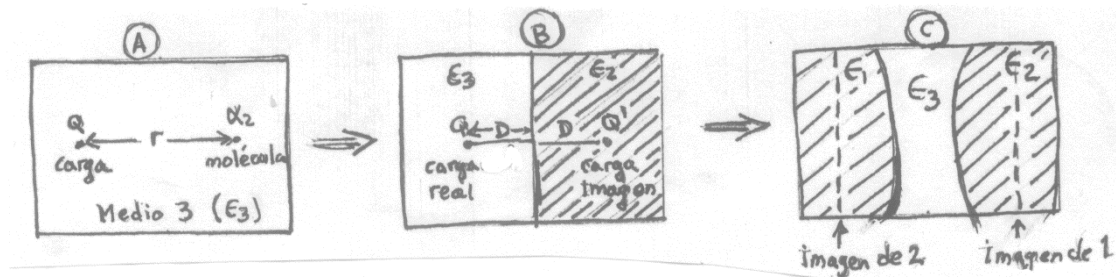


Figura 33: Campo reflejado por una superficie.

Entonces,  $w(r)$  entre una carga y una molécula (1) (caso A):

$$w(r) = -\frac{C}{r^n} = -\frac{Q^2\alpha_2}{2(4\pi\epsilon_3\epsilon_0)^2r^4} \quad (52)$$

( $n = 4$ )

donde  $\alpha_2$  es la polarizabilidad en exceso de la molécula 2 en el medio 3.

Si reemplazamos a la molécula 2 por un medio (caso B), la interacción entre la carga en el medio 3 y la superficie del medio 2 puede obtenerse por el método de aditividad. En el capítulo anterior, calculamos  $W(D)$  para interacción entre una molécula y una superficie, cuyo resultado fue:

$$w(D) = - \frac{2\pi C\rho}{(n-2)(n-3)} \cdot \frac{1}{D^{n-3}} = - \frac{2\pi C\rho_2}{(4-2)(4-3)D^{4-3}} = - \frac{\pi\rho_2}{D} \left[ \frac{Q^2\alpha_2}{2(4\pi\epsilon_3\epsilon_0)^2} \right] \quad (153)$$

$$w(D) = - \frac{\pi Q^2 \rho_2 \alpha_2}{2(4\pi\epsilon_3\epsilon_0)^2 D} \quad (154)$$

Por otro lado, es bien sabido que una carga  $Q$  en un medio con  $\epsilon_3$  actuando a una distancia  $D$  de una superficie de otro medio con  $\epsilon_2$  (caso B), experimenta un campo “reflejado” desde esta superficie como si viniera de una carga “imagen”  $Q'$  dada por:

$$Q' = - \frac{Q(\epsilon_2 - \epsilon_3)}{(\epsilon_2 + \epsilon_3)} \quad (155)$$

Localizada a una distancia  $D$  del otro lado de la superficie (en el medio 2). Para la interacción entre las dos cargas separadas a una distancia  $2D$ :

$$W(R) = \frac{Q_1 Q_2}{4\pi\epsilon\epsilon_0(2D)} \quad \therefore W(D) = \frac{1}{2} W(2D) = \frac{1}{2} \cdot \frac{QQ'}{4\pi\epsilon\epsilon_0(2D)} \quad (156)$$

$\uparrow$   
 $r$

Considerando (155) y (156):

$$W(D) = - \frac{Q^2}{4(4\pi\epsilon_3\epsilon_0)D} \frac{(\epsilon_2 - \epsilon_3)}{(\epsilon_2 + \epsilon_3)} = - \frac{\pi Q^2 \rho_2 \alpha_2}{2(4\pi\epsilon_3\epsilon_0)^2 D} \quad (157)$$

De donde se obtiene el importante resultado:

$$\rho_2 \alpha_2 = \frac{2\epsilon_3\epsilon_0(\epsilon_2 - \epsilon_3)}{(\epsilon_2 + \epsilon_3)} \quad (158)$$

que es la polarizabilidad en exceso por unidad de volumen de un medio dieléctrico 2 en uno medio 3. La ecuación 158 es un resultado muy importante ya que da la polarizabilidad en exceso en masa de un medio dieléctrico planar 2 en un medio 3, en términos de propiedades macroscópicas de los medios. Las correcciones se hacen en la expresión de  $C$  en la constante de Hamaker:

$$A = \pi^2 C \rho_1 \rho_2 \quad (159)$$

Mediante las ecuaciones de McLachlan y la teoría de Lifshitz, la constante de Hamaker para la interacción de dos medios 1 y 2 a través de un tercer medio 3 (caso C) puede ahora expresarse en términos de la ecuación de McLachlan como:

$$\begin{aligned}
A &= \pi^2 C \rho_1 \rho_2 = \frac{6\pi^2 k_B T \rho_1 \rho_2}{(4\pi\epsilon\epsilon_0)^2} \sum_{n=1,2}^{\infty} \left[ \frac{1 \cdot \alpha_1(0)\alpha_2(0)}{\epsilon_3^2(0)} + \frac{\alpha_1(iv_n)\alpha_2(iv_n)}{\epsilon_3^2(iv_n)} \right] = \\
&= \frac{3k_B T}{2} \sum \left[ \frac{1 \cdot (\epsilon_1 - \epsilon_3)(\epsilon_2 - \epsilon_3)}{(\epsilon_1 + \epsilon_3)(\epsilon_2 + \epsilon_3)} + \frac{(\epsilon_1(iv_n) - \epsilon_3(iv_n))(\epsilon_2(iv_n) - \epsilon_3(iv_n))}{(\epsilon_1(iv_n) + \epsilon_3(iv_n))(\epsilon_2(iv_n) + \epsilon_3(iv_n))} \right] \quad (160)
\end{aligned}$$

Reemplazando la sumatoria por una integral, como se hizo para moléculas, se obtiene la expresión para calcular la constante de Hamaker de acuerdo con la teoría de Lifshitz:

$$\begin{aligned}
A &\approx \underbrace{\frac{3k_B T}{4} \frac{(\epsilon_1 - \epsilon_3)(\epsilon_2 - \epsilon_3)}{(\epsilon_1 + \epsilon_3)(\epsilon_2 + \epsilon_3)}}_{\text{Keesom + Debye}} + \underbrace{\frac{3h}{4\pi} \int_{v_1}^{\infty} \frac{(\epsilon_1(iv_n) - \epsilon_3(iv_n))(\epsilon_2(iv_n) - \epsilon_3(iv_n))}{(\epsilon_1(iv_n) + \epsilon_3(iv_n))(\epsilon_2(iv_n) + \epsilon_3(iv_n))} dv}_{\text{London}} \quad (161)
\end{aligned}$$

donde  $\epsilon_j$  es la constante dieléctrica estática del medio  $i$ ,  $\epsilon(iv_n)$  son los valores de  $\epsilon$  a frecuencias imaginarias, y  $v_n = (2\pi k_B T/h)n = 4 \times 10^{13} n \text{ s}^{-1}$  a 300 K.

Las ecuaciones (162) y (161) no son exactas porque sólo son primeros términos de una serie infinita para una constante de Hamaker no retardada (la precisión es de  $\pm 5\%$ ).

### ***Cálculo de la constante de Hamaker con la teoría de Lifshitz.***

Para obtener  $A$  para cualquier sistema necesitamos saber como varía  $\epsilon = \epsilon(v)$ , con lo cual podremos integrar (161) para obtener  $A$ . La permitividad dieléctrica de un medio varía con la frecuencia en forma muy similar a como lo hace la polarizabilidad de un átomo.

Examinemos la respuesta de un electrón asociado a una carga eléctrica positiva. Entonces para un campo eléctrico fluctuante,  $E(t)$ , es de esperarse que

$$u_{ind}(t) = \alpha(\omega)E(t)$$

Donde  $\alpha(\omega)$  es una propiedad del material dependiente de la frecuencia ( $\omega \propto 1/t$ ). Ahora si

$$E(t) = E_0 e^{-i\omega t} \quad \omega = 2\pi\nu$$

$$u_{ind}(t) = \alpha(\omega)E_0 e^{-i\omega t}$$

Necesitamos un modelo físico para obtener  $\alpha(\omega)$ . Consideremos un oscilador como el de la Figura 34:



Figura 34: Modelo de oscilador.

Entonces, la ecuación de movimiento del electrón es:

$$m \frac{d^2 x}{dt^2} + k(x - x_0) = \text{fuerza} = eE_0 e^{-i\omega t} \quad (162)$$

$$\text{Sea } y = x - x_0 = A e^{-i\omega t}$$

Entonces (162) se transforma en

$$m y'' + k y = eE_0 e^{-i\omega t} \Rightarrow -\omega m A + A k = eE_0$$

$$\therefore A = \frac{eE_0}{k - \omega^2 m} = \frac{(e/m)E_0}{(k/m - \omega^2)} = \frac{(e/m)E_0}{(\omega_0^2 - \omega^2)} \quad (163)$$

$\uparrow$   
 $= k/m$

De donde

$$y = \frac{(e/m)E_0}{(\omega_0^2 - \omega^2)} e^{-i\omega t} = \frac{(e/m)E(t)}{(\omega_0^2 - \omega^2)} \quad (164)$$

Entonces

$$u_{\text{ind}} = e y = \frac{(e/m)E_0}{(\omega_0^2 - \omega^2)} e^{-i\omega t} = \alpha E \Rightarrow \alpha(\omega) = \frac{e^2/m}{(\omega_0^2 - \omega^2)} \quad (165)$$

donde  $\omega_0$  es una frecuencia de resonancia  $= \omega_1 = 2\pi\nu_1$ , siendo  $\nu_1 = 3 \times 10^{15} \text{ s}^{-1}$  (absorción electrónica, en la región UV)

Entonces:

$$\alpha(\omega) = \frac{\text{constante}}{[1 + (\omega/\omega_1)^2]} = \frac{\text{constante}}{1 + (\omega/\omega_1)^2} \quad (\text{von Hippel, 1958}) \quad (166)$$

Como las  $\epsilon$  se originan de valores de  $\alpha$ , entonces la variación de  $\alpha$  y  $\epsilon$  con  $\nu_n$  debe ser muy similar.

Entonces  $\epsilon(\nu)$  y  $\epsilon(i\nu)$  pueden ser representados por (Mahonty y Ninham, 1976)

$$\epsilon(\nu) = 1 + \frac{a}{(1 - i\nu/\nu_{\text{rot}})} + \frac{b}{[1 - (\nu/\nu_e)^2]} \quad (167)$$

Donde  $a$  y  $b$  son constantes. Pero  $\nu_{\text{rot}} \approx 10^{11} \text{ s}^{-1}$  (microondas) y  $\nu_e \approx 3 \times 10^{15} \text{ s}^{-1}$  (UV)

Para  $\nu = 0$ ,  $\epsilon(0) = 1 + a + b$  es la constante dieléctrica o permitividad eléctrica estática.

$$\text{Para } v = v_{\text{visible}}, \varepsilon(v_{\text{visible}}) = \eta^2 = 1 + \underbrace{\frac{a}{(1 - v_{\text{vis}}/v_{\text{rot}})}}_{\rightarrow 0} + \underbrace{\frac{b}{[1 - (v_{\text{vis}}/v_e)^2]}}_{\rightarrow 0} = 1 - b$$

$$\therefore E(iv = 0) = \varepsilon = 1 + a + (\eta^2 - 1) \rightarrow \begin{cases} b = \eta^2 - 1 \\ a = \varepsilon - \eta^2 \end{cases}$$

Entonces:

$$E(iv) = 1 + \frac{\varepsilon - \eta^2}{1 + v/v_{\text{rot}}} + \frac{\eta^2 - 1}{1 + (v/v_e)^2} \approx 1 + \frac{\eta^2 - 1}{1 + (v/v_e)^2} \quad (168)$$

$v \gg v_{\text{rot}}$

Suponiendo que  $v_e$  es igual para los medios 1, 2 y 3, la sustitución de (168) en (161) de la expresión aproximada para A para dos fases macroscópicas 1 y 2 interaccionando a través de un medio 3:

$$A_{\text{total}} = A_{v=0} + A_{v>0} \approx \frac{3k_B T (\varepsilon_1 - \varepsilon_3)}{4 (\varepsilon_1 + \varepsilon_3)} \frac{(\varepsilon_2 - \varepsilon_3)}{(\varepsilon_2 + \varepsilon_3)} + \frac{3\hbar v_e (\eta_1^2 - \eta_3^2)(\eta_2^2 - \eta_3^2)}{16\sqrt{2} (\eta_1^2 + \eta_3^2)^{1/2} (\eta_2^2 + \eta_3^2)^{1/2} [(\eta_1^2 + \eta_3^2)^{1/2} + (\eta_2^2 + \eta_3^2)^{1/2}]} \quad (164)$$

Para el caso “simétrico” de dos fases idénticas interaccionando a través de un medio 3 (169) se simplifica a

$$A_{\text{total}} = A_{v=0} + A_{v>0} \approx \frac{3k_B T (\varepsilon_1 - \varepsilon_3)^2}{4 (\varepsilon_1 + \varepsilon_3)} + \frac{3\hbar v_e (\eta_1^2 - \eta_3^2)^2}{16\sqrt{2} (\eta_1^2 + \eta_3^2)^{3/2}} \quad (170)$$

Notar que para interacciones en el vacío  $\varepsilon_3 = 1$  y  $\eta_3 = 1$ .

Aspectos importantes de la ecuación (169):

- Las fuerzas de van der Waals entre dos cuerpos en el vacío son siempre atractivas
- Las fuerzas de van der Waals entre dos cuerpos idénticos en cualquier medio son siempre atractivas
- Las fuerzas de van der Waals entre dos cuerpos diferentes en un medio pueden ser atractivas o repulsivas. Depende de los valores de  $\eta_1$ ,  $\eta_2$  y  $\eta_3$ . Si  $\eta_3$  está en medio de los valores de  $\eta_1$  y  $\eta_2$ , las fuerzas son repulsivas.
- A para dos medios similares interaccionando a través de otro medio permanece sin cambio si los medios se intercambian
- La contribución de frecuencia nula (puramente entrópica)  $A_{v=0} < 3k_B T/4 \sim 3 \times 10^{-21}$  J a 300 K.
- En vacío,  $A \sim 10^{-19}$  J  $\therefore A_{v>0} > A_{v=0}$  (aprox. 3 % de A)
- Sin embargo, en un medio,  $A_{v=0}$  es importante y en algunos casos puede dominar.



El análisis anterior se aplica a materiales dieléctricos o no conductores. Para interacciones que involucran medios tales como metales ( $\epsilon = \infty$ ) y la fórmula de dispersión de la ecuación (169) no es válida. Para metales:

$$\epsilon(\nu) = 1 - \nu_e^2/\nu^2 \quad (171)$$

donde  $\nu_e$  es la frecuencia de plasma de gas de electrones libres, aproximadamente  $3,5 \times 10^{15} \text{ s}^{-1}$ .

En consecuencia:

$$\epsilon(i\nu) = 1 + \nu_e^2/\nu^2 \quad \text{y} \quad \epsilon(0) = \infty \quad (172)$$

Sustituyendo (167) en (161) e integrando, se obtiene para dos metales interactuando a través del vacío:

$$A \approx \left( \frac{3}{16\sqrt{2}} \right) h\nu_e \approx 4 \times 10^{-19} \text{ J} \quad (173)$$

(V. Tabla XI)

Tabla XI

Constantes de Hamaker no retardadas para dos medios idénticos interactuando a través del vacío.

			Frecuencia	Constante de Hamaker A (10 <sup>-20</sup> )	
J)	Constante experimental dieléctrica	Indice de refracción	de absorción	eq. 8.14	solución
Medio	ε	η	ν <sub>e</sub> (10 <sup>15</sup> s <sup>-1</sup> )	ε <sub>3</sub> = 1	exacta
—					
agua	80	1,333	3,0	3,7	3,7; 4,0
n-pentano	1,84	1,349	3,0	3,8	3,75
n-octano	1,95	1,387	3,0	4,5	4,5
n-dodecano	2,01	1,411	3,0	5,0	5,0
n-tetradecano	2,03	1,418	2,9	5,0	5,1; 5,4
n-hexadecano	2,05	1,423	2,9	5,1	5,2
hidrocarburo cristalino	2,25	1,50	3,0	7,1	10
ciclohexano	2,03	1,426	2,9	5,2	
benceno	2,28	1,501	2,1	5,0	
tetracloruro de carbono	2,24	1,460	2,7	5,5	
acetona	21	1,359	2,9	4,1	
etanol	26	1,361	3,0	4,2	
poliestireno	2,55	1,557	2,3	6,5	6,6; 7,9
cloruro de polivinilo	3,2	1,527	2,9	7,5	7,8
PTFE	2,1	1,359	2,9	3,8	3,8
cuarzo fundido	3,8	1,448	3,2	6,3	6,5
mica	7,0	1,60	3,0	10	10
CaF <sub>2</sub>	7,4	1,427	3,8	7,0	7,2
He líquido	1,057	1,028	5,9	0,057	
Metales (Au, Ag,					

Notar que la teoría de Lifshitz es una teoría de continuo y por consiguiente solo puede usarse cuando las superficies interaccionantes se encuentren más separadas que distancias del orden de las dimensiones moleculares.

### Aplicaciones de la teoría del Lifshitz a interacciones en un medio

La teoría de Lifshitz es especialmente aplicable para analizar interacciones en un medio.

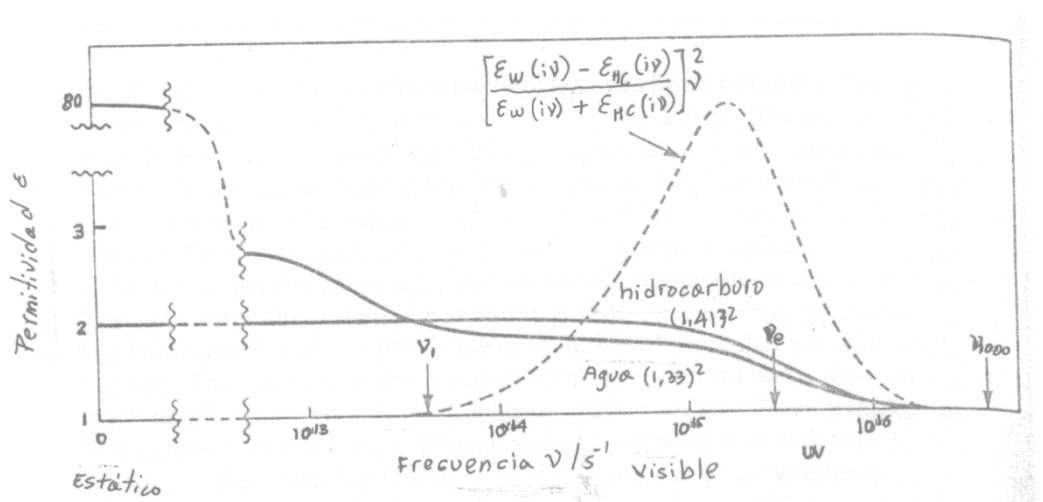
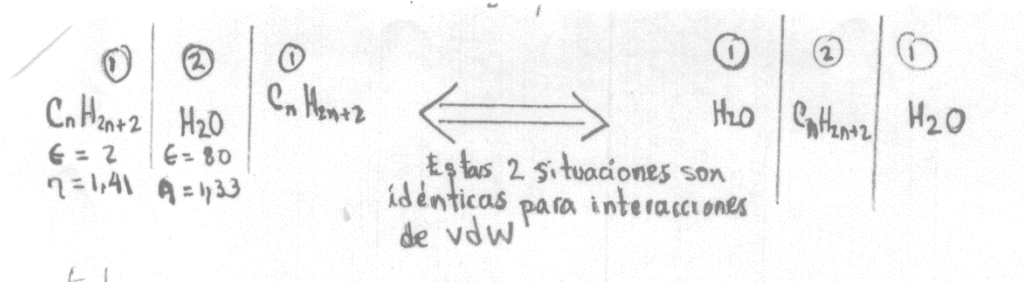


Figura 35: La permitividad en función de la frecuencia del campo aplicado.

Los términos de dispersión ( $A_{v>0}$ ) involucran índices de refracción, el término entrópico ( $A_{v=0}$ ) involucra constantes dieléctricas. Esto es importante en sistemas que contienen agua.

Calculemos A para capas de agua/hidrocarburo:



Entonces:

$$A_{v=0} = \frac{3k_B T}{4} \left( \frac{80 - 2}{80 + 2} \right) \approx 0,3 \times 10^{-20} \text{ J a } 300 \text{ K}$$

$$A_{v>0} \approx \frac{\overbrace{3(6,63 \times 10^{-34})}^h \overbrace{(3 \times 10^{15})}^{v_e} [(1,41)^2 - (1,33)^2]^2}{16\sqrt{2} [(1,41)^2 + (1,33)^2]^2} \approx 0,17 \times 10^{-20} \text{ J}$$

$$A_{\text{total}} = A_{v=0} + A_{v>0} = 0,47 \times 10^{-20} \text{ J} *$$

Hay una gran contribución de  $A_{v=0}$  debido al gran valor de la  $\epsilon$  del agua. ( $\epsilon_w \gg \epsilon_{HC}$ ) y a la similitud de los índices de refracción ( $n_w \approx n_{HC}$ ).

### [Problema 13]

#### *Efectos de retardación*

Anteriormente indicamos que para  $r > 5 \text{ nm}$  las fuerzas de dispersión empezaban a decaer debido a efectos de retardación.

Para interacciones entre moléculas esto es poco importante, ya que las fuerzas de van der Waals a esas distancias son de cualquier forma despreciables

Para interacciones entre cuerpos macroscópicos en donde las fuerzas de van der Waals aún pueden ser significativas a esas distancias, los efectos de retardación pueden ser importantes.

No existe, desafortunadamente, una ecuación simple para calcular fuerzas de van der Waals a cualquier separación. Estrictamente hablando,  $A$  no es una constante, sino que disminuye progresivamente a medida que  $D$  aumenta. **V. Figura 36.**

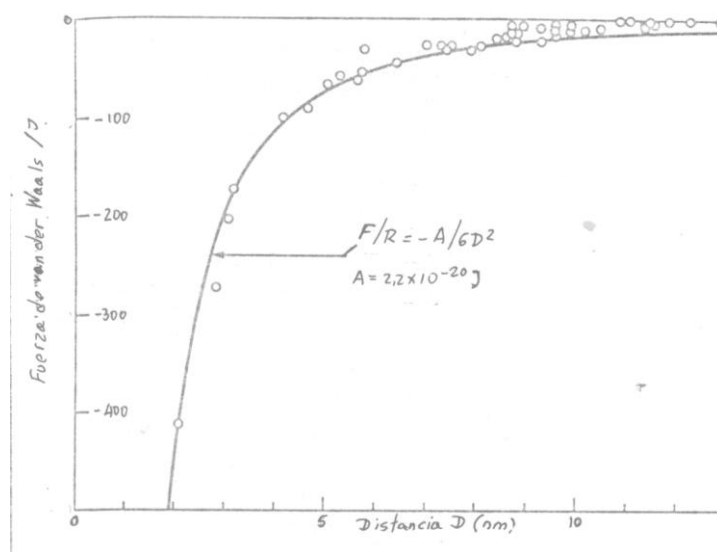
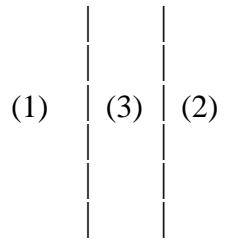


Figura 36: Fuerza atractiva de van der Waals.  $F$  entre dos superficies de mica curvadas de radio  $R \approx 1 \text{ cm}$  medido en agua y en soluciones electrolíticas acuosas. La constante de Hemaker no retardada medida es  $A = 2,2 \times 10^{-20} \text{ J}$ . Los efectos de retardación son aparentes a distancias por encima de  $5 \text{ nm}$ .

#### *Relaciones de combinación.*



Las relaciones o leyes de combinación son usados con frecuencia para obtener valores aproximados desconocidos en términos de valores conocidos. Sean tres medios 1, 2 y 3 (V. al lado):

La incógnita es la constante de Hamaker no retardada del medio 1 interaccionando con el 2 a través del 3  $A_{132}$ . La pregunta que surge es si es necesario calcular el valor de  $A_{ijk}$  para todos los valores de  $i, j$  y  $k$ . La respuesta es no, se puede calcular  $A_{123}$  a partir de  $A_{131}$  y de  $A_{232}$  (i.e.,  $A$  para la interacción de dos partículas 1 en un medio 3, etc.).

Notar que, si el medio 3 es vacío,  $A_{131} = A_{11}$  y  $A_{232} = A_{22}$ .

Recordemos que:

$$A_{132} = \frac{3k_B T}{2} \sum [ (1/2)\Delta_{13}(0)\Delta_{23}(0) + \Delta_{13}(iv)\Delta_{23}(iv) ] \quad ; \quad \Delta_{ij} = (\epsilon_i - \epsilon_j)/(\epsilon_i + \epsilon_j)$$

$$A_{132} \approx \int \Delta_{13}(v)\Delta_{23}(v)dv$$

$$A_{232} \approx \int \Delta_{23}^2(v)dv$$

$$A_{131} \approx \int \Delta_{13}^2(v)dv$$

Usando la desigualdad de Schwarz:

$$\left[ \int_0^\infty g(x)f(x)dx \right]^2 \leq \left[ \int_0^\infty g^2(x)dx \right] \left[ \int_0^\infty f^2(x)dx \right]$$

$$g(x) = A_{131} ; f(x) = A_{232} \Rightarrow A_{132} \leq \pm \sqrt{A_{131}A_{232}} \quad (174)$$

(se toma el signo negativo cuando  $(\epsilon_1 - \epsilon_3)(\epsilon_2 - \epsilon_3) < 0$ )

**Nota:** estas relaciones combinatorias son solo para  $A_{v>0}$ . Fallan cuando  $A_{v=0}$ . *Esto es importante.*

Aproximación importante para interacciones a través del aire o el vacío (medio 3):

$$A_{12} \approx (A_{11}A_{22})^{1/2} \quad (175)$$

Esta aproximación es siempre un poco elevada. Es una aproximación útil porque  $A_{11}$  y  $A_{22}$  tienen resonancia alrededor de frecuencias similares.

Aproximación para interacciones a través de un medio diferente al aire en términos de  $A_{11}$  y  $A_{22}$ . Considérese:

$$A_{iji} \approx \int A_{ij}^2 dv$$

Se puede demostrar que

$$\Delta_{ij} = \frac{\Delta_{ik} + \Delta_{kj}}{1 + \Delta_{ij}\Delta_{kj}} = (\Delta_{ik} + \Delta_{kj}) \frac{1}{1 + \Delta_{ij}\Delta_{kj}} \approx (\Delta_{ik} + \Delta_{kj})[1 - \Delta_{ij}\Delta_{kj} + \dots]$$

Entonces,

$$\int \Delta_{ij}^2(v)dv = \int (\Delta_{ik}^2 + \Delta_{kj}^2 + 2\Delta_{ij}\Delta_{kj} + \dots)dv$$

$$A_{iji} = A_{iki} + A_{kjk} + 2 \int \Delta_{ik} (-) \Delta_{jk} dv$$

$\uparrow$   
 $\Delta_{ik} = - \Delta_{kj}$

$$\therefore A_{121} = A_{131} + A_{323} - 2A_{132} \quad \therefore A_{121} = A_{131} + A_{232} - 2A_{132} \quad (176)$$

$\uparrow$   
 $(= A_{232})$

Ahora, si el medio 3 = vacío

$$A_{121} = A_{11} + A_{22} - 2A_{12} = A_{121} = A_{11} + A_{22} - 2\sqrt{A_{11}A_{22}} = (\sqrt{A_{11}} - \sqrt{A_{22}})^2$$

Entonces,

$$1|2|1 \rightarrow \sqrt{A_{121}} = \sqrt{A_{11}} - \sqrt{A_{22}} \quad (177)$$

El caso general es:

$$1|3|2 \rightarrow A_{132} = \sqrt{A_{232}A_{131}} = (\sqrt{A_{22}} - \sqrt{A_{33}})(\sqrt{A_{11}} - \sqrt{A_{33}}) \quad (178)$$

Ejemplo:

1-1 en aire: $A_{11} = 6,3 \times 10^{-20}$ J
cuarzo   octano   aire      2-2 en aire: $A_{22} = 0$
1             3             2      3-3 en aire: $A_{33} = 4,5 \times 10^{-20}$ J

$$A_{132} = (\sqrt{0} - \sqrt{4,5})(\sqrt{6,3} - \sqrt{4,5}) \times 10^{-20} \text{ J} = -0,82 \times 10^{-20} \text{ J} \text{ (el signo } (-) \text{ indica repulsión)}$$

Valor experimental:  $A_{132} = -0,71 \times 10^{-20}$  J (hay un error del 15 %)

## Resumen

- 1) Las fuerzas de van der Waals pueden ser calculadas para moléculas dando  $w(r)$ .
- 2) Usando estos valores de  $w(r)$  se los puede sumar para dar fuerzas de van der Waals entre cuerpos obteniendo  $W(D)$ .
- 3) Las fuerzas entre esferas son proporcionales a las fuerzas entre planos (aproximación de Derjaguin).
- 4)  $W(D) = A f(\text{dimensión y forma de los cuerpos, } D)$ .
- 5) Las constantes de Hamaker pueden ser calculadas con mayor precisión. El intervalo de valores de  $A$  está entre  $1 \times 10^{-20}$  y  $10 \times 10^{-20}$  J.

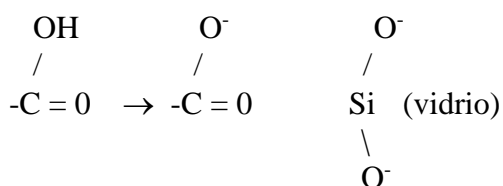
## 9.- FUERZAS ELECTROSTÁTICAS ENTRE SUPERFICIES EN LIQUIDOS

Las situaciones en donde sólo las fuerzas de van der Waals dominan totalmente la interacción están restringidas a interacciones en el vacío y a partículas no polares en mojado de superficies.

Las sustancias que además involucran fuerzas electrostáticas de largo alcance son más variadas y menos complejas. La combinación de fuerzas de van der Waals y electrostáticas dan resultados muy interesantes. Si sólo existieran fuerzas de van der Waals todas las partículas del mismo material colapsarían.

Las partículas suspendidas en agua u otro medio de alta constante dieléctrica están usualmente cargadas. Las razones principales son:

- Disociación de grupos superficiales (ionización)



(notar que la carga negativa es la más comúnmente encontrada en la naturaleza).

- Adsorción (enlace) de iones en la superficie previamente neutra.
- Independientemente del mecanismo de carga, la carga superficial final está balanceada por una región cargada con signo opuesto y la misma magnitud (Figura 37).

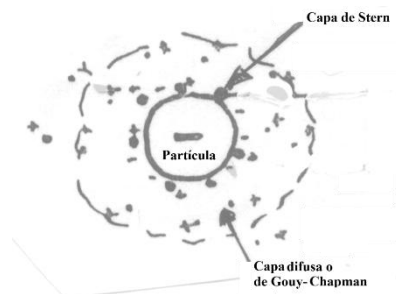


Figura 37: Partícula cargada, con la Capa de Stern: iones transitoriamente unidos a la superficie que forman con la partícula la unidad cinética. En la doble capa eléctrica difusa o de Gouy-Chapman, los iones están en rápido movimiento térmico alrededor de la partícula.

### *Ecuación de Poisson – Boltzmann*

Debido a que esto se estudia en Fisicoquímica B, sólo recordaremos algunos conceptos sin deducirlos.

Consideremos una geometría simple de dos superficies cargadas.

La distribución de iones en la solución sigue la distribución de Boltzmann,:

$$\rho(x) = \rho_0 e^{-Ze\phi(x)/k_B T} \quad (179)$$

donde  $\rho(x)$  y  $\rho_0$  son la densidad (iones/u. de volumen) de iones en la solución a distancia  $x$  de la superficie y en la solución sin perturbar por la carga de la superficie, respectivamente, y  $\phi(x)$  es el potencial eléctrico en la solución a la distancia  $x$  de la superficie cargada.

Con esto se obtiene la dependencia de  $\phi$  con la distancia, mediante la ecuación de Poisson- Boltzmann, que en una sola dimensión es:

$$\frac{\partial^2 \phi}{\partial x^2} = \frac{-Ze\phi_0}{\epsilon_0 \epsilon} e^{-Ze\phi(x)/k_B T} \quad (180)$$

Notar que es una ecuación diferencial parcial no lineal de segundo orden. Para resolverla se requieren dos condiciones de frontera que dependen de la geometría del sistema. Esta ecuación es a menudo “linearizada” cuando  $ze\phi/k_B T < 1$ . En este caso:

$$e^{-Ze\phi(x)/k_B T} = 1 + \frac{Ze\phi(x)}{k_B T} + \dots$$

La pregunta es ¿qué tan pequeño debe ser  $\phi$  para que se cumpla esto? A 300 K  $k_B T/e = 25,69$  mV, de modo que  $\phi$  debe ser menor que 25 mV para que la linearización sea aceptable. Este es un valor *muy pequeño*.

Analicemos un sistema formado por dos superficies cargadas paralelas (Figura 38).

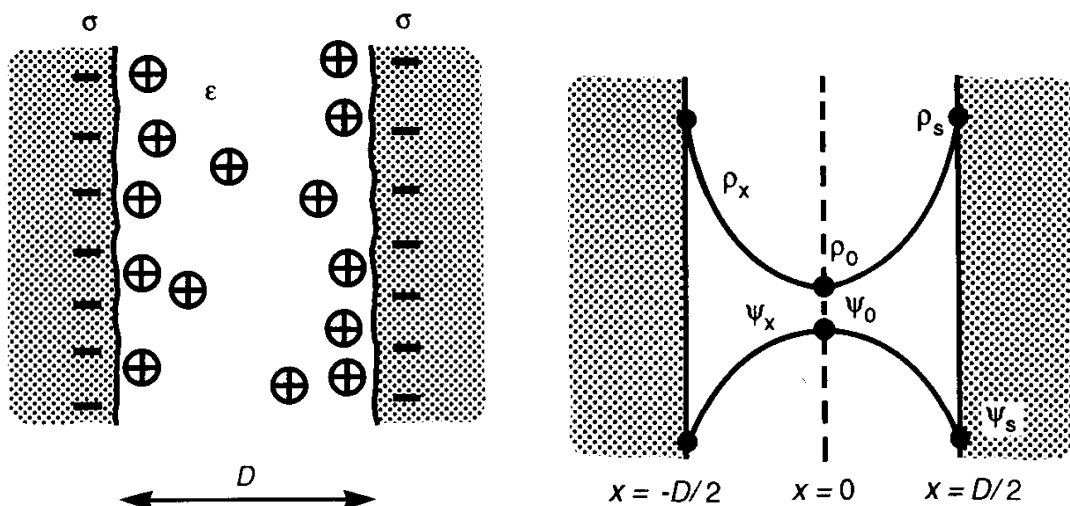


Figura 38: Dos superficies paralelas cargadas con densidad de carga  $\sigma$  ( $\text{Cm}^{-2}$ ) y potencial en la superficie  $\Psi_s$ . Entre las superficies el medio tiene constante dieléctrica  $\epsilon$ .

Las condiciones de borde del sistema de la Figura 38 son:

- a) Simetría, es decir, el campo eléctrico debe ser nulo en el punto medio entre ambas superficies igualmente cargadas:

$$E_0 = (d\phi/dx)_0 = 0$$

- b) Electroneutralidad: la carga total de los contraiones en el espacio entre las superficies debe ser igual (y opuesta) a la carga total de las superficies. Sea  $\sigma$  = (carga por unidad de superficie) la densidad superficial de carga en cada placa. Entonces:

$$\sigma = - \int_0^{D/2} Z e \rho dx = \int_0^{D/2} \epsilon_0 \epsilon (d^2\phi/dx^2) dx = \epsilon_0 \epsilon (d\phi/dx) \Big|_{D/2} = \epsilon_0 \epsilon E_s \quad (181)$$

↑  
Campo eléctrico en la superficie de la placa

Es decir, la pendiente de  $\phi$  en la pared de la placa es proporcional a  $\sigma$  (Figura 39).

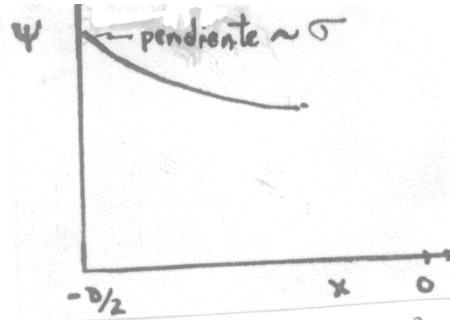


Figura 39: potencial en función de la distancia en una placa cargada

### ***Distribución iónica:***

Vimos la distribución de iones en función del potencial. Puede demostrarse ahora que:

$$\rho_x = \rho_0 + \frac{\epsilon \epsilon_0}{2k_B T} (d\phi/dx)_x^2 \quad (182)$$

ecuación que proporciona el valor de  $\rho$  en cualquier valor de  $x$  en términos de  $\rho_0$  y  $(d\phi/dx)^2$  en  $x$ . En particular, en la superficie ( $x = D$ ):

$$\rho_s = \rho_0 + \frac{\sigma^2}{2\epsilon \epsilon_0 k_B T} \quad (183)$$

que es conocido como el **teorema del valor de contacto**. Para un valor muy grande de  $D/2$  (una placa aislada),  $\rho_0 \rightarrow 0$  y

$$\rho_s \approx \frac{\sigma^2}{2\epsilon \epsilon_0 k_B T} \quad (184)$$



Ejemplo: superficie aislada en agua con  $\sigma = 0,2 \text{ Cm}^{-2}$  (alrededor de una carga e por  $0,8 \text{ nm}^2$ ), la concentración superficial de contraiones es:

$$\rho_s \approx \frac{\sigma^2}{2\epsilon\epsilon_0 k_B T} = (0,2)^2 / (2 \times 8,85 \times 10^{-12} \times 80 \times 4,04 \times 10^{-21}) = 7 \times 10^{27} \text{ m}^{-3} \quad (\approx 12 \text{ M!})$$

Si estos contraiones están en una capa de espesor de aproximadamente  $0,2 \text{ nm}$ , el valor calculado de  $\rho_s$  corresponde a una densidad de contracargas de  $(7 \times 10^{27} \text{ m}^{-3})(0,2 \times 10^{-9}) \approx 1,4 \times 10^{18} \text{ iones.m}^{-2}$  que es aproximadamente la misma densidad de carga de la superficie. Es decir, la mayoría de los contraiones están en la superficie. Sin embargo, para densidades superficiales de carga más bajas, la capa de contraiones se extiende más allá de la superficie y se torna mucho más difusa, dando la doble capa difusa.

### ***Perfil de concentración de los contraiones***

Recordemos que se define como distancia de Debye  $\delta = \kappa^{-1} \text{ (m)}$ , o espesor de la atmósfera iónica mediante:

$$\kappa^2 = (ze)^2 \rho_0 / \epsilon \epsilon_0 k_B T$$

y en ese caso la ecuación de Poisson – Boltzmann puede ponerse:

$$* \varphi'' = -\kappa^2 [k_B T / Ze] e^{-Ze\varphi / k_B T}$$

y en la superficie se ve que:

$$\left( \frac{d\varphi}{dx} \right)_s = - \left( \frac{2k_B T R}{Ze} \right) \ln (\kappa D / 2) = \sigma / \epsilon \epsilon_0 \quad (185)$$

con lo que se puede hallar  $\kappa$  y de allí el perfil de distribución de los contraiones:

$$\rho(x) = \rho_0 e^{-Ze\varphi(x)/k_B T} = \rho_0 / \cos^2(\kappa x) \quad (186)$$

### ***La presión entre dos superficies cargadas en agua***

Origen de la distribución iónica, campo eléctrico, potencial superficial y presión de acúñamiento.

Si no hubiera contraiones entre dos superficies cargadas igualmente, no existiría campo eléctrico en el espacio entre ellas. ¿Por qué? El campo eléctrico emanado de una superficie plana cargada es uniforme lejos de la superficie e igual a  $\sigma / 2\epsilon\epsilon_0$ , consecuentemente los dos campos eléctricos opuestos se cancelan mutuamente. De ahí que los contraiones no experimentan una fuerza electrostática atractiva hacia las superficies. ¿por qué entonces se acumulan sobre la superficie? Por la repulsión mutua de los contraiones en el espacio entre superficies. Entonces,  $\rho_x$  es determinado por la interacción electrostática repulsiva entre contraiones y la entropía de mezcla. Esto también controla a  $\varphi_x$  y  $E_x$  entre las superficies.

Entre dos superficies cargadas separadas en el espacio se establece una fuerza de separación. Cuando se la expresa por unidad de superficie de las placas, tiene unidades de presión y se la suele denominar **presión de acuñamiento**. La pregunta es qué es lo que causa esta presión.

Considérese una superficie inicialmente sin carga, situada en agua. Cuando los grupos de la superficie se disocian, los contraiones dejan la superficie aún contra la fuerza culómbica atractiva que los jala hacia la superficie. Lo que mantiene a la doble capa difusa es la presión osmótica repulsiva entre los contraiones, lo que fuerza a estos lejos de la superficie y unos de otros de tal forma que la entropía configuracional aumenta, Es decir, la repulsión osmótica domina a la atracción electrostática.

Notar que la presión osmótica puede ponerse como

$\Pi v = k_B T$  o  $P v = k_B T$  (Algunos autores usan  $\Pi$  tanto para presión osmótica como para presión de acuñamiento), donde  $v = 1/\rho$  es el volumen conteniendo un mol de soluto, y  $\rho$  (moles/unidad de volumen) es la densidad de iones. Consecuentemente;

$$P = k_B T \rho$$

Recordemos que  $\rho$  depende de la distancia a la superficie y del potencial superficial a través de:

$$\rho_x = \rho_0 + \frac{\epsilon \epsilon_0}{2k_B T} (d\phi/dx)_x^2 \quad (187)$$

de modo que cuando tenemos dos placas a una distancia  $D$ , la presión de acuñamiento debe estar dada por la diferencia entre la presión existente a esa distancia y aquella que existiría si la distancia entre placas fuera infinita:

$$P(D) = k_B T [\rho_s(D) - \rho_s(\infty)] \quad (188)$$

Como no había agregado de sales, y todos los contraiones provienen de la disociación de la superficie inicial neutra, sólo nos interesa la densidad iónica en la superficie (a distancia infinita es cero). Esto indica que la presión de acuñamiento es directamente proporcional al incremento de concentración de los contraiones a medida que se aproximan las placas entre si.

Teniendo en cuenta (182), la presión también se puede expresar en función de  $\kappa$ :

$$P = k_B T \rho_0 = 2\epsilon \epsilon_0 (k_B T / ze)^2 \kappa^2 \quad (189)$$

Para referencias futuras, si además de los iones provenientes de la disociación de las superficies se agregaron electrolitos extra, entonces la ecuación toma la forma:

$$P(D) - P(\infty) = k_B T [\sum_i \rho_{i,x}(D) - \sum_i \rho_{i,x}(\infty)] - \frac{\epsilon \epsilon_0}{2} [(d\phi/dx)_{x(D)}^2 - (d\phi/dx)_{x(\infty)}^2] \quad (190)$$

donde el primer corchete es la contribución entrópica siempre repulsiva, mientras que el segundo son los esfuerzos de Maxwell, que son siempre atractivos.

Ejemplo: dos superficies con  $\sigma = 0,2 \text{ Cm}^{-2}$  separadas  $D = 2 \text{ nm}$ :

$P = 1,7 \times 10^6 \text{ Nm}^{-2} \sim 17 \text{ atm} = \text{fuerza repulsiva por unidad de área}$

Si usamos  $A \sim 10^{-20} \text{ J}$ , la presión (atractiva) de van der Waals es  $P_{\text{vdW}} = A/12\pi D^3 = 3 \times 10^4 \sim 0,3 \text{ atm}$ , es decir, gana la repulsión.

Estas ecuaciones han sido utilizadas con éxito para calcular espaciados de equilibrio de bicapas (cristales líquidos de surfactantes y lípidos en agua). Las fuerzas electrostáticas repulsivas controlan el hinchamiento de arcillas en agua, y en el caso de partículas cargadas en agua, como látex, la repulsión electrostática de largo alcance genera un arreglo ordenado de partículas.

### ***Limitaciones de la ecuación de Poisson – Boltzmann:***

- Como toda teoría del continuo y de campo medio, no funciona a distancias de separación pequeñas o a escala molecular.
- Efectos de correlación entre iones: los contraiones en la doble capa difusa constituyen una capa altamente polarizable en cada interfase. Estas dos capas conductoras experimentan una fuerza atractiva si las interfases están muy cerca una de otra.
- Hay efectos de tamaño finito de los iones (efectos estéricos). Esto tiende a aumentar la repulsión entre dos superficies.
- El hecho de que la carga no está desparramada pareja en la superficie, sino que son cargas discretas.
- Las fuerzas de solvatación no han sido consideradas. Estas son las interacciones de corto alcance ion – solvente y solvente – solvente, donde el solvente ya no actúa como un continuo.
- Son importantes también las fuerzas de imagen cuando hay contraiones en agua entre dos superficies de baja  $\epsilon$ .

### ***Superficies cargadas en soluciones de electrólitos***

Usualmente las superficies o partículas cargadas interactúan a través de una solución que ya contiene iones de electrólitos (sales inorgánicas disociadas). Por ejemplo, los fluidos animales son aproximadamente 0,2 M en iones como NaCl Y KCl, principalmente, el agua de mar es 0,6 M y agua pura al menos tiene  $10^{-7} \text{ M}$  de iones  $\text{H}^+$  y  $\text{OH}^-$ , que no siempre pueden ignorarse.

La presencia de electrólitos (depósito de iones) tiene un profundo efecto no solo en el potencial electrostático sino en la fuerza entre superficies cargadas.

### ***Distribución de potenciales en una interfase plana aislada cuando hay electrolito adicionado.***

(V. Fig. -40).

En este caso tenemos contraiones de la superficie y del electrolito, además de coiones, es decir, iones del mismo signo de carga que la superficie. Ahora tomamos  $x = 0$  en la superficie, en lugar del punto medio (es una superficie aislada). La ecuación de Boltzmann de distribución de iones da, para el ión  $i$ :

$$\rho_{i,x} = \rho_{i,\infty} e^{(-z_i e \phi_x / k_B T)} \quad (\text{se toma } Z_i \text{ con su signo}) \quad (191)$$

y en la superficie ( $x = 0$ )

$$\rho_{i,0} = \rho_{i,\infty} \exp(z_i e \phi_0 / k_B T) \quad (192)$$

donde  $\phi_0$  es el potencial eléctrico en la superficie. En la figura 40 abajo, puede verse la distribución de los iones. Obsérvese que la mayor parte del efecto de electrolito es causado por los contraiones, y no por los coiones.

Nuevamente, este fenómeno es controlado por la ecuación de Poisson – Boltzmann, donde ahora:

$$\nabla^2 \phi = - \frac{1}{\epsilon \epsilon_0} \sum z_i e \rho_{i,\infty} \exp(-z_i e \phi_x / k_B T) \quad (193)$$

Para resolverlo se usa la aproximación de Debye- Hückel: se toma como caso límite  $z_i e \phi_x / k_B T < 1$  de modo que  $\exp(-z_i e \phi_x / k_B T) \approx 1 - z_i e \phi_x / k_B T$  (es decir, se lineariza la ecuación) y se obtiene

$$\nabla^2 \phi \approx \kappa^2 \phi_x$$

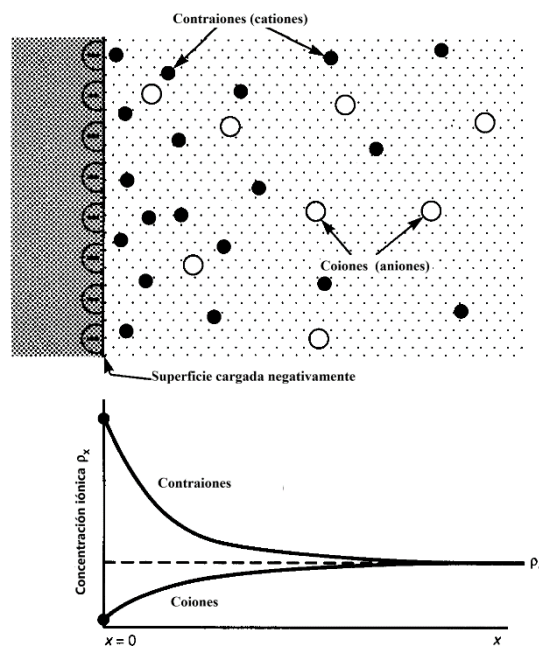


Figura 40: Cerca de una superficie cargada hay una acumulación de contraiones (iones de carga opuesta a la de la superficie) y una disminución de la concentración de los coiones, mostradas gráficamente debajo para un electrolito 1:1, donde  $\rho_\infty$  es la concentración de electrolito en la masa o “reservorio” de la solución a  $x = \infty$ .

casi igual que antes. De allí surge que  $\phi_x = (\text{constante})e^{-\kappa x}$

Notar que  $\kappa = 3,288\sqrt{I}$  (en  $\text{nm}^{-1}$ ) siendo  $I = 0,5\sum c_i z_i^2$  la fuerza iónica. Por ejemplo:

$\kappa^{-1}$ (nm)	$C_{\text{NaCl}}$ (M)
30,4	$10^{-4}$
0,96	0,1
0,3	1

### ***Teoría de Gouy- Chapman***

Hemos visto que las fuerzas repulsivas son dominadas por los iones con signo opuesto al de la superficie. Entonces, sólo consideraremos electrolitos  $z:z$ , en que  $z$  es la valencia del ion de signo opuesto a la superficie. Así,  $\text{CaCl}_2$  es un electrolito 2:2 si la superficie es negativa, y 1:1 si es positiva. Vimos que:

$$\nabla^2 \phi = - \frac{1}{\epsilon \epsilon_0} \sum z_i e \rho_{i,\infty} \exp(-z_i e \phi(x)/k_B T) \quad (193)$$

Sea  $y = |z|e\phi/k_B T$  entonces:

$$\nabla^2 \phi = \frac{2ze\rho_{i,\infty}}{\epsilon \epsilon_0} \left( \frac{e^y - e^{-y}}{2} \right) = \frac{2ze\rho_{i,\infty}}{\epsilon \epsilon_0} \sinh \left( \frac{|Z|e\phi(x)}{k_B T} \right)$$

Usando:

$$\int \text{csh } \kappa \, d\kappa = \log \tanh (\kappa/2)$$

Se obtiene:

$$\phi(x) = 2k_B T \log \left[ \frac{1 + \gamma e^{-\kappa x}}{1 - \gamma e^{-\kappa x}} \right] \approx \frac{4k_B T}{ze} \gamma e^{-\kappa x} \quad (194)$$

$$\gamma = \tanh \left( \frac{|z|e\phi(x)}{k_B T} \right) \quad (195)$$

Notar que:

$$\tanh x = \frac{\sinh x}{\cosh x} = \frac{e^x - e^{-x}}{e^x + e^{-x}} \approx x - \frac{x^3}{3!} + \dots \quad \therefore \tanh x \rightarrow x \quad \text{cuando } x \rightarrow 0$$

Entonces, como cuando

$$\phi \rightarrow 0, \quad \gamma \approx \frac{ze\phi_0}{4k_B T} \quad \therefore \phi(x) = \phi_0 e^{-\kappa x} \quad (196)$$

que es la aproximación de Debye – Hückel. Notar también que para valores elevados de  $\phi_0$ :

$$\gamma = \tanh \left( \frac{|z|e\phi(x)}{k_B T} \right) = \frac{e^x - e^{-x}}{e^x + e^{-x}} \approx 1 \quad (197)$$

Entonces:

$$\varphi(x) \approx \frac{2k_B T}{Ze} \log \left( \frac{1 + e^{-\kappa x}}{1 - e^{-\kappa x}} \right) \quad (198)$$

Y para distancias  $x$  tales que  $\kappa x > 1$ , de modo que

$$\log \left( \frac{1 + x}{1 - x} \right) \approx 2 \left[ x - \frac{x^3}{3} + \dots \right] \therefore \varphi(x) \approx \frac{4k_B T}{Ze} \quad ; \varphi(x) = 103 \text{ mV } (Z = 1)$$

(199)

Entonces, para superficies con potenciales elevados, las interacciones serán de  $\varphi_x \sim 100 \text{ mV}$

### La ecuación de Grahame

Proporciona una relación entre  $\sigma$  y  $\varphi_0$ . Esta ecuación es:

$$\sigma = \sqrt{8\epsilon\epsilon_0 k_B T} \sqrt{\rho_{i,\infty}} \sinh \left( |z| e \varphi_0 / k_B T \right) \quad (200)$$

y permite calcular  $\varphi_0$  una vez que se conoce  $\sigma$ , de donde se pueden estimar las concentraciones iónicas en la superficie,  $\rho_{0,i}$ . Notar que si  $\sigma$  está fijada,  $\varphi_0$  está regulada por la adición de electrólitos, y la mayor parte de los iones están en la superficie para balancear  $\sigma$ .

Para una solución 1:1 (ej. NaCl) contra una superficie cargada negativamente con  $\sigma = -0,2 \text{ Cm}^{-2}$ , obtenemos que:

$[M^+X^-] \text{ (mol/L)}$	0(hipotético)	$10^{-7}$	$10^{-4}$	$10^{-3}$	$10^{-2}$	$10^{-1}$	1
$\varphi_0 \text{ (mV)}$	$\infty$	-477	-300	-241	-181	-123	-67
	(no es realís- tico, aún el agua pura contiene iones	(agua pura)					

Para  $\sigma$  constante,  $\varphi_0$  disminuye progresivamente a medida que la concentración del electrolito  $[MX]$  aumenta. De los valores tabulados podemos calcular la concentración de iones en la superficie. Por ejemplo, para  $10^{-7} \text{ M}$ , electrolito 1:1,  $\varphi_0 = -477 \text{ mV}$ .

$$\text{contraiones} \rightarrow [M^+]_0 = 10^{-7} x e^{477/25,69} = 11,64 \text{ M}$$

$$\text{coiones} \rightarrow [X^-]_0 = 10^{-7} x e^{-477/25,69} = 10^{-15} \text{ M}$$

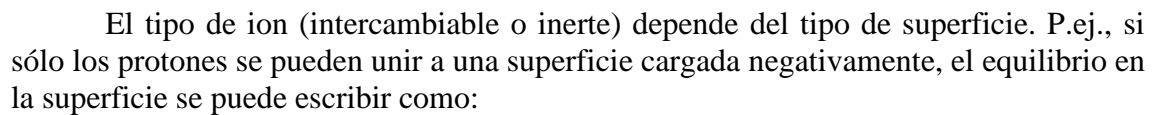
$$\text{Para } 1 \text{ M} \rightarrow \varphi_0 = -67$$

$$\left. \begin{array}{l} \text{contraiones} \rightarrow [M^+]_0 = 1 x e^{67/25,69} = 11,57 \text{ M} \\ \text{coiones} \rightarrow [X^-]_0 = 1 x e^{-67/25,69} = 0,07 \text{ M} \end{array} \right\} = 11,64 \text{ M} , \sim \sigma = 0,2 \text{ C.m}^{-2}$$

En la mayor parte de los casos, ni  $\varphi_0$  ni  $\sigma$  permanecen constantes a medida que las condiciones de la solución cambian. Esto es debido a que los sitios superficiales

Diagram illustrating ion exchange:

On the left, a vertical line represents the resin bed. It contains several circles, some with a minus sign (-) and some with a plus sign (+). To the right of this line, there are several plus signs (+) and two minus signs (-). The text "iones inertes" (inert ions) is written next to the plus signs, and "iones intercambiable (ion exchangeable)" is written next to the minus signs.



Definiendo la constante de disociación:

Y si  $\sigma_0$  es la densidad de carga máxima, entonces:

Entonces:

Cuando  $\alpha = 0,5$  entonces

Si, digamos,

$$[\text{H}^+]_0 = 10^{-4} \text{ M} \rightarrow K_d = 10^{-4}, \text{p}K_d = 4$$

$$\sigma = 0,117 \sinh (\varphi_0/51,4)([\text{electrolito } 1:1])^{1/2} = 8,117 \sinh (\varphi_0/51,4)\{[\text{HCl}] + [\text{NaCl}]\}^{1/2}$$

Pero:

$$\sigma = \alpha \sigma_0 \Rightarrow K_d = \frac{\alpha}{(1 - \alpha)} [H^+]_{\infty} e^{-e\phi_0/k_B T} = \frac{\alpha}{(1 - \alpha)} [HCl]_{\infty} e^{-\phi_0/51,4}$$

$$\therefore \sigma = \left[ \frac{K_d}{K_d + [HCl]_{\infty} e^{-\phi_0/51,4}} \right] \quad (201)$$

Entonces, si son conocidos  $\sigma_0$  y  $K_d$ , para cualquier  $[NaCl]$  y  $[HCl]$ , se puede encontrar  $\phi_0$  y  $\sigma$ . Hay un límite, si  $K_d$  es muy grande, entonces  $\sigma \rightarrow \sigma_0$ . Sin embargo, si  $K_d$  adquiere valores típicos, reales, se observan efectos dramáticos. Por ejemplo, si  $K_d = 10^{-4}$

	pH	$\phi_0/\text{mV}$	$\alpha$
$\sigma_0 = -0,2 \text{ Cm}^{-2}$ en 0,1 M NaCl	7	-118	0,91
(en ausencia de $H^+$ , $\phi_0 = -123 \text{ mV}$ )	5	-73	0,36
	↑	↑	↑
Agregando $10^{-5} \text{ M}$ de HCl $[HCl] = 0,01 \% [NaCl]$ ¡dramático!			

Bajo tales condiciones, el protón es denominado **ion determinador del potencial**.

### ***Implicaciones de la ecuación de Grahame. Efecto de sales divalentes.***

La presencia de sales divalentes produce efectos dramáticos sobre  $\phi_0$  y sobre la distribución de los contraiones. Aún a  $\sigma$  constante, cantidades relativamente pequeñas de iones divalentes disminuyen sustancialmente la magnitud de  $\phi_0$  (unas 100 veces más efectivo que los iones monovalentes). Por ejemplo, la ecuación de Grahame para una mezcla de NaCl y  $CaCl_2$  es:

$$\sigma = 8,117 \sinh(\phi_0/51,4) \{ [NaCl] + [CaCl_2](2 + e^{-\phi_0/25,7}) \}^{1/2}$$

↑  
¡por lo tanto, el  $CaCl_2$  es al menos dos veces más importante que el NaCl!

por lo que el  $CaCl_2$  es al menos dos veces mas importante que el NaCl. Este término controla  $\phi_0$ . Notar que para  $\phi_0 < 0$ , digamos  $\phi_0 = -100 \text{ mV}$ ,  $\exp(-ze\phi_0/25,7) \approx e^8$ .

Cuando  $\phi_0 < 100 \text{ mV}$  cuando la concentración de iones divalentes es de aproximadamente 10 mM,  $\phi_0$  se hace independiente de la concentración del ion monovalente,

[NaCl]/M	$\phi_0/\text{mV}$ solución de NaCl solamente	$\phi_0/\text{mV}$ Solución que contiene además $3 \times 10^{-3} \text{ M}$ de $CaCl_2$
0	$-\infty$	-106
$10^{-7}$	-477	-106
$10^{-4}$	-300	-106
$10^{-3}$	-241	-106
$10^{-2}$	-181	-106*
$10^{-1}$	-123	-100
1	-67	-66

\* en consecuencia,  $[CaCl_2] = 0,03[NaCl]$  es suficiente para fijar  $\phi_0$ .

Notar que si  $\phi_0 = -100 \text{ mV}$ , y  $[NaCl] = 100 \text{ mM}$  y  $[CaCl_2] = 3 \text{ mM}$ , entonces



$$[\text{Ca}^{2+}]_0 = (0,003) \cdot e^{200/25,7} \approx 7 \text{ M}^*$$

$$[\text{Na}^+]_0 = (0,1) \cdot e^{100/25,7} \approx 5 \text{ M}^*$$

\*Aún cuando la concentración de calcio en el seno de la solución es mucho menor que la de sodio, en la superficie hay mayor concentración de calcio. Cuando las concentraciones son demasiado altas de iones divalentes en la superficie, a menudo ocurren enlaces que disminuyen  $\sigma$  y  $\varphi_0$  aún mas. Aún más efectivos son los contraiones trivalentes.

#### [Problema 14]

#### *Interacciones electrostáticas entre superficies cargadas en presencia de electrolitos.*

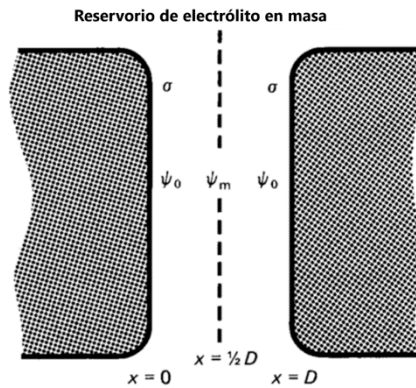


Figura 41: dos placas planas cargadas idénticamente con una distancia de separación D en una solución de electrolito.

Considérense dos placas planas cargadas idénticamente con una distancia de separación D en una solución de electrolito (Figura 41). Acá el subíndice m indica el punto medio entre placas. La presión entre placas estará dada por:

$$P(D) = P_x(D) = k_B T [\sum_i \rho_{i,m}(D) - \sum_i \rho_{i,m}(\infty)] \quad (202)$$

La presión entre placas es ahora independiente de la posición, porque depende solamente de la presión osmótica de los iones en exceso en el plano medio sobre la presión en el seno de la solución. Como  $\rho_{i,m}(\infty)$  es la concentración (conocida) del electrolito en la solución, entonces el problema de encontrar P(D) se reduce a encontrar  $\sum_i \rho_{i,m}(D)$ . Recordar que:

$$\rho_{i,x} = \rho_{i,\infty} \exp(z_i e \varphi_x / k_B T)$$

Entonces, para un electrolito 1:1:

$$P = k_B T \rho_{\infty} \left[ \underbrace{(e^{-e\varphi_m/k_B T} - 1)}_{\text{cationes}} + \underbrace{(e^{e\varphi_m/k_B T} - 1)}_{\text{aniones}} \right] = 2k_B T \rho_{\infty} \cosh(-e\varphi_m/k_B T - 1) \quad (203)$$

Si suponemos que  $\varphi_m \ll \varphi_0$ , entonces:

$$(e^{-x} - 1) + (e^x - 1) = (1 - x + x^2/2! + \dots - 1) + (1 + x + x^2/2! + \dots - 1) \approx x^2$$

$$P \approx k_B T \rho_\infty [e\phi_m / k_B T]^2 = \frac{e^2 \phi_m^2 \rho_\infty}{k_B T} \quad (204)$$

En seguida, si suponemos que  $\phi_m$  es igual a la suma de los potenciales en cada superficie como si estuvieran aisladas (aproximación de superposición débil) y recordando de la teoría de Gouy- Chapman que:

$$\phi \approx \frac{4k_B T}{e} \gamma e^{-\kappa x}$$

$$\text{y } \gamma = \tanh(e\phi_0 / 4k_B T) < 1 \text{ ; siempre!}$$

Entonces:

$$P \approx \frac{e^2 \phi_m^2 \rho_\infty}{k_B T} = e^2 \left\{ \frac{2[(4k_B T/e) \gamma e^{-\kappa D/2}]}{k_B T} \right\}^2 \rho_\infty = 64k_B T \gamma^2 \rho_\infty e^{-\kappa D}$$

hay dos superficies
plano medio  
↓
↓

Por ejemplo. A 25 °C, para un electrolito 1:1:

$$P(\text{Nm}^{-2}) \approx 1,59 \times 10^8 [\text{NaCl}] \gamma^2 \rho_\infty e^{-\kappa D} \quad (205)$$

↑  
en moles.L<sup>-1</sup>

Para calcular la energía libre de interacción por unidad de área  $W(D)$ , entre las placas, recordar que  $P(D) = F(D)/A = -(1/A) \partial W / \partial D$ , entonces:

$$\therefore W(D) \approx \frac{64k_B T \gamma^2 \rho_\infty e^{-\kappa D}}{\kappa} \quad (206)$$

$$\begin{array}{ll}
 \text{mol/L} & \text{mV} \\
 \downarrow & \downarrow \\
 W(\text{J.m}^{-2}) = 0,0482 [\text{NaCl}]^{1/2} \tanh^2[\phi_0/103] e^{-\kappa D} & (Z=1) \\
 W(\text{J.m}^{-2}) = 0,0211 [\text{CaCl}_2]^{1/2} \tanh^2[2\phi_0/103] e^{-\kappa D} & (Z=2)
 \end{array}
 \left. \vphantom{\begin{array}{l} \\ \\ \\ \end{array}} \right\} \text{ a 25 °C (207)}$$

### ***Interacciones electrostáticas entre esferas cargadas en una solución electrolítica***

Se usa la aproximación de Derjaguin, que es válida para cualquier tipo de interacción:

$$F(D)_{s-s} = 2\pi R W(D)_{p-p}$$

De donde por integración se obtiene  $W(D)_{s-s}$ , dando

$$W(D)_{s-s} = \left( \frac{64\pi k_B T R \rho_\infty \gamma^2}{\kappa^2} \right) e^{-\kappa D} = 4,61 \times 10^{-11} R \gamma^2 e^{-\kappa D} \text{ J a } 25^\circ \text{C}, (Z = 1) \quad (208)$$

Notar que las interacciones electrostáticas decaen exponencialmente con la distancia, y que la longitud de Debye  $\delta = \kappa^{-1}$  es la longitud característica de interacción.

Para  $\phi_0 < 25 \text{ mV}$  (bajos potenciales superficiales) las ecuaciones 206 y 208 se simplifican:

Para dos superficies planas:

$$P(D) \approx 2\epsilon\epsilon_0 \kappa^2 \phi_0^2 e^{-\kappa D} = \frac{2\sigma e^{-\kappa D}}{\epsilon\epsilon_0} \quad (209)$$

↑  
por unidad de área

$$W(D) \approx 2\epsilon\epsilon_0 \kappa \phi_0^2 e^{-\kappa D} = \frac{2\sigma^2 e^{-\kappa D}}{\kappa \epsilon\epsilon_0} \quad (210)$$

Para dos esferas de radio R:

$$F \approx 2\pi R \epsilon\epsilon_0 \kappa \phi_0^2 e^{-\kappa D} = \frac{2\pi R \sigma^2 e^{-\kappa D}}{\kappa \epsilon\epsilon_0} \quad (211)$$

y

$$W(D) \approx 2\pi R \epsilon\epsilon_0 \phi_0^2 e^{-\kappa D} = \frac{2\pi R \sigma^2 e^{-\kappa D}}{\kappa^2 \epsilon\epsilon_0} \quad (212)$$

Donde hemos usado

$$\sigma = \epsilon\epsilon_0 \kappa \phi_0$$

que es válida a potenciales bajos.

Todas las simplificaciones mencionadas son válidas para cualquier tipo de electrolito, inclusive mezclas, siempre y cuando se use el valor apropiado de  $\kappa$ . Las ecuaciones 209 y 212 son particularmente útiles para iones divalentes o superiores ya que con estos,  $\sigma$  y  $\phi_0$  son a menudo bajos debido al enlace iónico.

### **Regulación de carga**

Todas las expresiones hasta ahora deducidas son precisas para  $D > 1/\kappa$ . Para  $D < 1/\kappa$ , la concentración superficial de iones aumenta (debido a la aproximación de las dos superficies) causando unión de los iones a la superficie, lo que a su vez causa que la densidad superficial de carga sea “regulada”, esto es,  $\sigma$  ya no permanece constante. De hecho,  $\sigma$  disminuye cuando  $D$  tiene a cero. Notar que a  $D \rightarrow 0$  y si  $\sigma$  permaneciera constante:

$$\sum \rho_{i,m}(D \rightarrow 0) = \frac{2(\sigma/\epsilon)}{\text{volumen}} \approx \frac{2(\sigma/\epsilon)}{D}$$

y

$$P = k_B T \sum \rho_{i,m} = \frac{2k_B T \sigma}{\epsilon D} \rightarrow \infty \text{ cuando } D \rightarrow 0$$

y para evitar que la fuerza de repulsión sea infinita, debe decaer  $\sigma$ , lo cual ocurre por la unión de contraiones.

## 6

### ESTABILIDAD COLOIDAL: TEORIA DLVO

#### *Aspectos cualitativos*

La interacción total entre dos superficies debe incluir tanto fuerzas de van der Waals como electrostáticas:

$$W(D)_{\text{total}} = W(D)_{\text{vdW}} + W(D)_{\text{elec}}$$

Esto fue tratado independientemente por Derjaguin y Landau (Rusos, 1941) y Verwey y Overbeek (holandeses, 1948). Recordemos que para dos esferas de radio R:

$$\left. \begin{aligned} W(D)_{\text{elec}} &= \frac{2\pi R \sigma^2 e^{-\kappa D}}{\kappa^2 \epsilon \epsilon_0} \\ W(D)_{\text{vdW}} &= -\frac{A}{12D} \text{ donde } A \text{ es la constante de Hamaker no retardada} \end{aligned} \right\} W(D)_{\text{total}} = \frac{2\pi R \sigma^2 e^{-\kappa D}}{\kappa^2 \epsilon \epsilon_0} - \frac{A}{12D} \quad (213)$$

Las interacciones electrostáticas (doble capa) dependen de pH, I,  $\sigma$  y decaen como  $e^{-\kappa D}$ . Las interacciones de van der Waals dependen del material (es fijo para un sistema soluto - solvente dado) y es bastante insensible al pH, I (excepto el caso indicado abajo) y decaen con D como  $D^{-n}$ .

Notar que A no es en realidad una constante, sino que disminuye progresivamente a medida que D aumenta (para  $D \geq 3$  nm) debido a efectos de retardación. El decaimiento con D se hace más lento ( $D^{-(n+1)}$ ).

En presencia de un electrolito, existe una reducción adicional de A a distancias finitas debido al “encubrimiento iónico” de  $A_{v=0}$  (Debye y Keesom). Recordar que:

$$A = A_{v=0} + A_{v>0}$$

A distancias finitas (Mahanty y Ninham, 1976):

$$A_{v=0}(D) \approx A_{v=0}(0) 2\kappa e^{-\kappa D} \quad \text{Para } \kappa D \gg 1$$

Donde  $A_{v=0}(0) = 3 \times 10^{-21}$  J para agua/hidrocarburo.

La suma de las dos interacciones da curvas como la de la Figura 42.

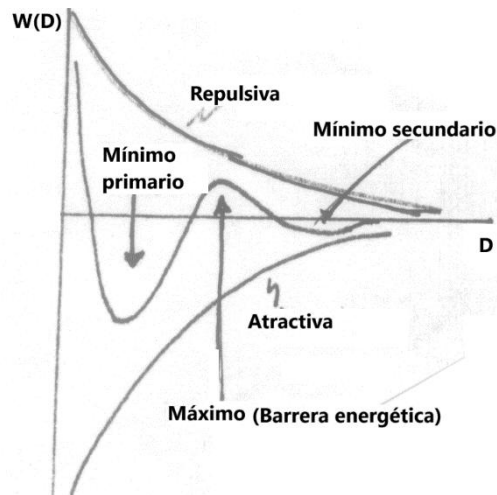


Figura 42: Energía de interacción DLVO

Algunos aspectos importantes de esta curva son:

- Hay una barrera energética: hay  $W_{Tot}^{max}$
- Hay un mínimo primario: hay  $W_{Tot}^{min(1)}$
- Hay un mínimo secundario: hay  $W_{Tot}^{min(2)}$

Implicaciones de la curva  $W_{tot}$  vs.  $D$  para dos partículas que se aproximan mutuamente:

- si  $W_{Tot}^{max} < k_B T$  ( $\approx 0$ ) la fuerza neta de atracción jalará a las partículas hacia el mínimo primario dando coagulación irreversible.
- Si  $W_{Tot}^{max} > k_B T$  y  $W_{Tot}^{min(2)} < k_B T$  las partículas no coagulan en el mínimo secundario, es decir, la energía de las partículas no es suficiente para superar  $W_{Tot}^{max}$  y se tiene un sistema estable con respecto a la coagulación.
- La profundidad de  $W_{Tot}^{min(2)}$  determina cuando ocurre floculación (reversible) en el mínimo secundario ( $W_{Tot}^{min(2)} \geq k_B T$ )
- La altura de  $W_{Tot}^{max}$  determina si una dispersión coloidal permanece estable (es decir, dispersa) o sufre coagulación.

Entonces, dependiendo de la concentración de electrolito y de  $\sigma$  y  $\phi_0$ , puede ocurrir lo siguiente:

- superficies altamente cargadas en soluciones diluidas de electrolito, con lo que  $\kappa^{-1}$  es grande, tienen una barrera energética grande, con el máximo ocurriendo entre 1 y 4 nm.
- En soluciones más concentradas de electrolito, existe un mínimo secundario significativo (usualmente a  $D > 4$  nm). La energía potencial atractiva en el contacto entre dos superficies se denomina mínimo primario.
- A medida que se agrega electrolito (superficies con bajo  $\sigma$ ), la barrera energética disminuye. Arriba de cierta concentración de electrolito (concentración crítica de coagulación),  $W_{Tot}^{max} = 0$ .

Examinemos los efectos en las curvas de  $W_{\text{Tot}}$  vs.  $D$  de variar  $A$ ,  $\phi_0$  y la concentración del electrolito.

1.-El efecto de  $A$  ( $A_{212}$  = constante efectiva de Hamaker), si todo lo demás está fijo (v. fig. 43):

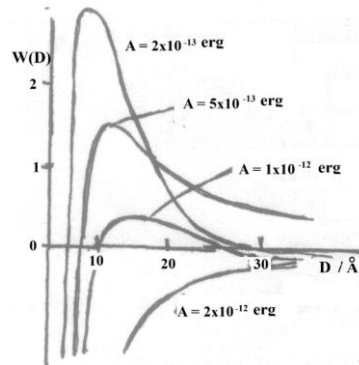


Figura 43: Efecto de cambiar la constante de Hamaker sobre la energía de interacción, manteniendo  $\kappa = 107 \text{ cm}^{-1}$  ( $\delta = 10^{-7} \text{ cm} = 10 \text{ Å} = 1 \text{ nm}$ ),  $\phi_0 = 103 \text{ mV}$ , área unitaria =  $400 \text{ Å}^2$  constantes.

- $A$  es el parámetro variable sobre el cual tenemos el menor control.
- El valor de  $A_{212}$  es determinado por la naturaleza química de la fase continua y la dispersa.
- $W_{\text{Tot}}^{\text{max}}$  disminuye cuando  $A$  aumenta.
- La profundidad de  $W_{\text{Tot}}^{\text{min}}$  crece cuando  $A$  crece.

2.. El efecto de  $\phi_0$ .

Este efecto se manifiesta a través de  $\gamma = \tanh(e\phi_0/4k_B T)$ . Ver figura 44.

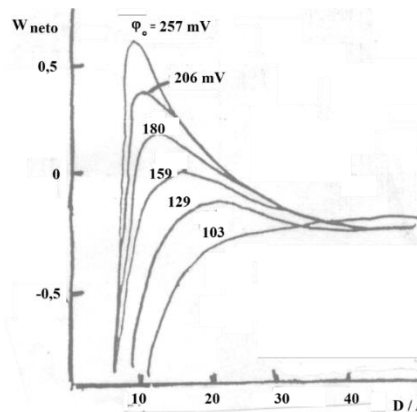


Figura 44: efecto del cambio del potencial superficial sobre la energía DLVO. Área de interacción  $400 \text{ Å}^2$ ,  $\kappa^{-1} = 10^{-7} \text{ cm}^{-1}$ ,  $A = 2 \times 10^{-12} \text{ erg}$ .

La altura de  $W_{\text{Tot}}^{\text{max}}$  crece al aumentar los valores de  $\phi_0$  como era de esperar debido a la repulsión creciente.

$\varphi_0$  es ajustable en algunos sistemas variando la concentración de iones determinadores de potencial (adsorción específica)

### 3.- Efecto de la concentración de electrolitos.

(V. fig. 45)

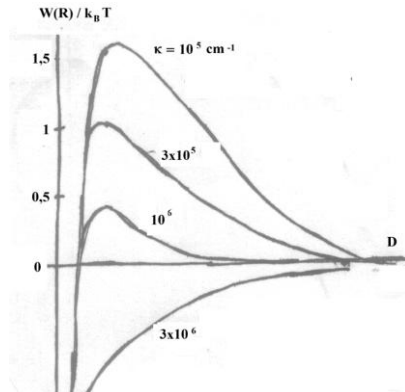


Figura 45: Efecto del cambio de la fuerza iónica sobre la energía DLVO. Dos esferas de radio  $1000 \text{ \AA}$ ,  $A = 2 \times 10^{-19} \text{ erg}$ ,  $\varphi_0 = 25,7 \text{ mV}$ .

Recordar que:

$$\kappa = (e^2 \sum_i \rho_i^\infty z_i^2 / \epsilon \epsilon_0 k_B T)^{1/2}$$

El espesor de la doble capa ( $\kappa^{-1}$ ) puede ser controlado mediante la cantidad y valencia de los electrolitos agregados. Es el parámetro variable sobre el cual tenemos mayor control.

Cuando  $\kappa^{-1}$  decrece,  $W_{\text{Tot}}^{\text{max}}$  decrece, es decir, agregando electrolito a un sistema disperso se llega a la coagulación (el sistema se hace menos estable).

#### [Problema 15]

#### **La concentración crítica de coagulación: regla de Schulze – Hardy**

También denominada concentración crítica de floculación (CFC) (Figura 46)

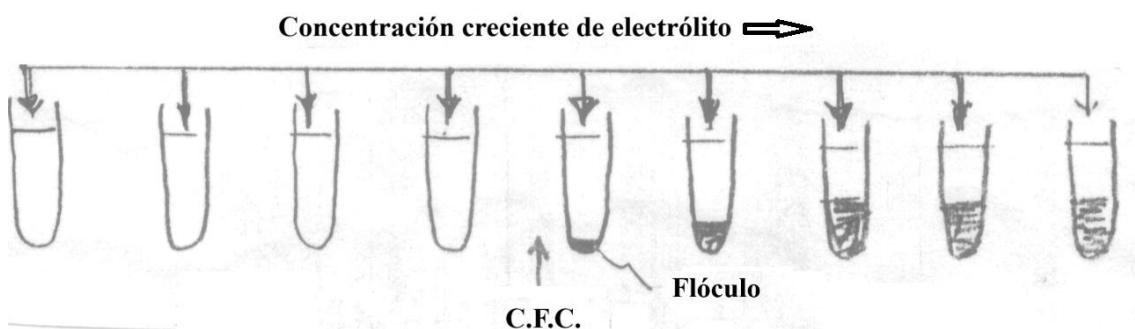


Figura 46: Determinación de la CFC. Se agregan cantidades cada vez mayores de electrolitos a una suspensión coloidal y se determina la concentración a la cual se produce floculación.

La concentración de electrolito en la CFC depende de:

- 1) tiempo de observación de las dispersiones (a mayor tiempo, menor CFC)
- 2) Polidispersidad de la muestra
- 3)  $\varphi_0$
- 4) El valor de la constante efectiva de Hamaker,  $A_{212}$
- 5) La valencia de los contraiones del electrolito agregado.

La **regla de Schulze – Hardy**: una de las primeras generalizaciones acerca del efecto de los electrolitos. Esta regla establece que la valencia del ion de la carga opuesta a la de la superficie del coloide (es decir, el contraión) tiene el principal efecto sobre la estabilidad del sistema coloidal, y que la CFC para un electrolito particular es esencialmente determinada por la valencia del contraión independientemente de la naturaleza del ion de carga idéntica a la de la superficie (es decir, el coión). Este efecto aumenta con la valencia (V. Tabla XII).

Tabla XII  
CFC de diverso coloides liófilos

Los números entre paréntesis dan los valores de la CFC (en moles/L) para iones mono, di, tri y tetravalentes actuando tanto sobre coloides positivos y negativos. Los números fuera de los paréntesis son valores de CFC relativos al valor para electrolito monovalente sobre el mismo sistema.						
Valencia del contraión	Coloides negativos			coloides positivos		Teoría
	As <sub>2</sub> S <sub>3</sub>	Au	AgI	Fe <sub>2</sub> O <sub>3</sub>	Al <sub>2</sub> O <sub>3</sub>	
1	(5,5x10 <sup>-2</sup> ) 1	(2,4x10 <sup>-2</sup> ) 1	(1,42x10 <sup>-1</sup> ) 1	(1,18x10 <sup>-2</sup> ) 1	(5,2x10 <sup>-2</sup> ) 1	1
2	(6,9x10 <sup>-4</sup> ) 1,3x10 <sup>-2</sup>	(3,8x10 <sup>-4</sup> ) 1,6x10 <sup>-2</sup>	(2,43x10 <sup>-3</sup> ) 1,7x10 <sup>-2</sup>	(2,1x10 <sup>-4</sup> ) 1,8x10 <sup>-2</sup>	(6,3x10 <sup>-4</sup> ) 1,2x10 <sup>-4</sup>	
3	1,56x10 <sup>-2</sup> (9,1x10 <sup>-5</sup> ) 1,7x10 <sup>-3</sup>	(6x10 <sup>-6</sup> ) 0,3x10 <sup>-3</sup>	(6,8x10 <sup>-5</sup> ) 0,5x10 <sup>-3</sup>	- -	(8x10 <sup>-5</sup> ) 1,5x10 <sup>-3</sup>	
4	1,37x10 <sup>-3</sup> (9,0x10 <sup>-5</sup> ) 17x10 <sup>-4</sup>	(9,0x10 <sup>-7</sup> ) 0,4x10 <sup>-4</sup>	(1,3x10 <sup>-5</sup> ) 1x10 <sup>-4</sup>	- -	(5,3x10 <sup>-5</sup> ) 10x10 <sup>-4</sup>	
	2,44x10 <sup>-4</sup>					

### Predicción de la dependencia de la CFC con $z$ de la teoría DLVO

La condición matemática para la CFC (condición de inestabilidad) es que  $W_{\text{tot}} = 0$  y  $dW_{\text{tot}}/dD = 0$  (condición de máximos y mínimos). Consideremos dos esferas de radio  $R$  en solución de electrolito:

$$W(D) = \frac{64\pi R \rho_{\infty} \gamma^2}{\kappa^2} e^{-\kappa D} - \frac{AR}{12D} \quad (214)$$

Aplicando las condiciones de inestabilidad:



$$\begin{aligned}
0 = \frac{64\pi R \rho_{\infty} \gamma^2 e^{-\kappa D_m}}{\kappa^2} - \frac{AR}{12D_m} & \quad (215) \\
dW/dD = 0 = - \frac{64\pi R \rho_{\infty} \gamma^2 e^{-\kappa D_m}}{\kappa} + \frac{AR}{12D_m^2} & \quad \left\{ \begin{aligned} \kappa AR &= \frac{AR}{12D_m} \Rightarrow \kappa D_m = 1 \therefore D_m = \kappa^{-1} = \delta \\ & \quad \uparrow \\ & \quad \text{Distancia de Debye} \end{aligned} \right.
\end{aligned}$$

donde  $D_m$  es la distancia de separación para la floculación.

Combinando 214 y 215 se tiene que:

$$\frac{64\pi R \rho_{\infty} \gamma^2 e^{-1}}{\kappa^2} = \frac{AR\kappa}{12} \quad (216)$$

Como estamos buscando la dependencia de CFC con  $z$ , y no el valor absoluto de CFC, simplemente mantenemos en (216) aquéllos factores que involucran valencia y concentración de electrolitos. De (216):

$$\rho_{i,\infty} \propto \kappa^3$$

De la definición de  $\kappa$ :

$$\kappa = \left[ \frac{e^2 \sum \rho_{i,\infty} z_i^2}{\epsilon \epsilon_0 k_B T} \right]^{1/2}$$

$$\rho_{i,\infty} \sim (\sum \rho_{i,\infty}^{1/2} z_i)^3 \propto \rho_{i,\infty}^{3/2} z_i^3 \rightarrow \rho_{i,\infty}^{-1/2} \propto z_i^3 \rightarrow \rho_{i,\infty} \propto z_i^6$$

Entonces, la CFC depende de  $z^{-6}$ , donde  $z$  es la valencia del ion de carga opuesta (contraión). Entonces, si la CFC de un electrolito 1:1 es  $CFC_{1:1} = 1$  M, p.ej.,  $CFC_{2:2} = 1/64$  M y  $CFC_{3:3} = 1/729$  M. (V. nuevamente Tabla 10.5).

6) Sin embargo, con electrolitos con contraiones di y trivalentes se sabe que  $\phi_0$  no es constante, sino que disminuye. Además, recordando que:

$$\gamma = \tanh (ze\phi_0/k_B T)$$

y retomando (10.4) se tiene que:

$$\rho_{i,\infty} \sim \gamma^2 \kappa^3 \sim z_i^{-2} \rho_{i,\infty}^{3/2} z_i^3 \sim \rho_{i,\infty}^{3/2} z_i \rightarrow \rho_{i,\infty} \sim z_i^{-2}$$

Entonces, para superficies con  $\phi_0$  bajos y constantes, se obtiene una forma modificada de la regla de Schuze - Hardy:

$$\rho_{\infty} \sim z^{-2}$$

Sin embargo, no todos los electrolitos  $z:z$  son idénticos. Por ejemplo, de la Tabla 12 vemos que:

- para flocular una suspensión de  $As_2S_3$  se requiere 0,058 M de  $Li^+$  o 0,051 M de  $Na^+$
- Para flocular una suspensión de  $AgI$  se requiere 0,165 M de  $Li^+$  o 0,140 M de  $Na^+$

Aunque ambos valores son comprobables (y el promedio de muchas mediciones), es obvio que el  $\text{Li}^+$  es consistentemente menos efectivo que el  $\text{Na}^+$  para inducir floculación.

Una secuencia más completa de estas variaciones en efectividad para producir floculación es:

Cationes monovalentes:  $\text{Cs}^+ > \text{Rb}^+ > \text{NH}_4^+ > \text{K}^+ > \text{Na}^+ > \text{Li}^+$

Aniones monovalentes:  $\text{F}^- > \text{Cl}^- > \text{Br}^- > \text{NO}_3^- > \text{I}^- > \text{SCN}^-$

¿Cuáles son las causas de estas ligeras diferencias?:

La adsorción específica en la capa de Stern, debida a la adsorbabilidad intrínseca de los iones. En general, la adsorción específica de un ion aumenta con su tamaño (es decir, con su polarizabilidad) y al disminuir el agua de hidratación (la cual es a su vez también una función del tamaño de los iones)

### [Problema 16]

#### *Adsorción en la capa de Stern*

Anteriormente clasificamos a los contraiones en iones determinadores de potencial e iones indiferentes o inertes.

Sin embargo, los iones inertes no son totalmente inertes: hasta ahora hemos tratado a los iones inertes como “puntos de carga” sin características químicas excepto su valencia. Cuando los iones son atraídos a la superficie se produce un amontonamiento y el espacio libre se vuelve un problema, dado que los iones tienen un volumen finito. Esto da un límite de saturación que debe ser alcanzado a una distancia finita de la superficie (y no en la superficie), lo que constituye el límite inferior de la capa difusa. Hay un enfoque más realista, el de Stern (*ad hoc*) que divide a la doble capa en una capa difusa (de Gouy – Chapman) y una superficie para adsorción de iones (v. figura 47).

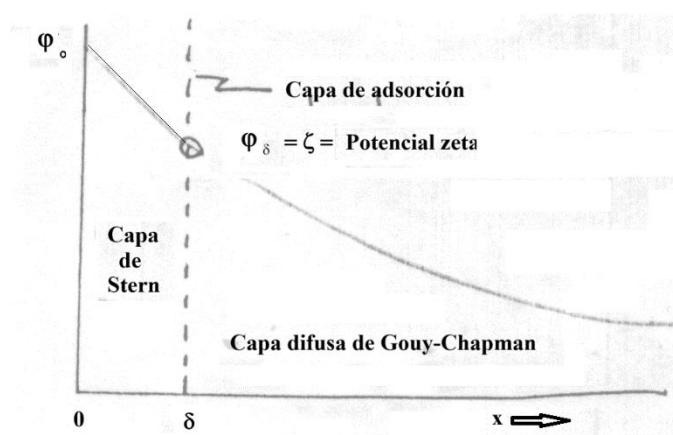


Figura 47: Estructura de la doble capa eléctrica.

Consecuencias de la suposición de capa adsorbida:

1.- Se puede escribir una isoterma de adsorción que tome en cuenta el tamaño del ion (isoterma de Langmuir):

$$\theta = \frac{K\rho_{\infty}}{1 + K\rho_{\infty}}, \text{ donde } \theta \text{ es la fracción de la capa de Stern cubierta}$$

2.- De la función de distribución de Boltzmann:

energía potencial eléctrica asociada con la capa de Stern  
 $\downarrow$   
energía química específica asociada con la adsorción  
 $\downarrow$

$$K = \exp\left(\frac{ze\varphi_s + \Phi}{k_B T}\right) \quad (217)$$

$\uparrow$   
distribución de iones en la capa de Stern y en la de Gouy-Chapman

3.- Como la capa de Stern se parece a un capacitor de placas planas paralelas:

$$\frac{\varphi_0 - \varphi_{\delta}}{\delta} = \frac{\sigma}{\epsilon_{\delta}\epsilon_0} \quad (218)$$

Pero  $\theta = \sigma/\sigma^*_{0\delta}$  en que  $\sigma^*_{0\delta}$  es la densidad superficial de carga cuando la superficie se satura, entonces:

$$\frac{\varphi_0 - \varphi_{\delta}}{\delta} = \frac{\sigma_{\delta}^*}{\epsilon_{\delta}\epsilon_0} \cdot \frac{K\rho_{\infty}}{(1 + K\rho_{\infty})} \quad (219)$$

y el resto de la doble capa eléctrica es nuevamente descrito por la ecuación de Poisson-Boltzmann pero con  $\zeta = \varphi_{\delta}$  reemplazando a  $\varphi_0$  en las condiciones de frontera.

Nota: el enfoque de Stern toma en cuenta el tamaño finito de los iones pero introduce parámetros *ad hoc* ( $\delta$ ,  $\epsilon_{\delta}$ ,  $K$ ) que son difíciles de evaluar experimentalmente. A su vez,  $K$  es difícil de estimar debido a  $\Phi$ .

Los iones anfífilicos muestran valores de CFC de varios órdenes de magnitud más pequeños que los iones verdaderamente indiferentes debido a que su capacidad de adsorción en superficies es más importante que su actuación como electrolitos. Por ejemplo, para dispersiones de  $\text{As}_2\text{S}_3$ ,  $\text{CFC}_{\text{NaCl}} = 58 \text{ mM}$ ,  $\text{CFC}_{\text{cloruro de morfina}} = 0,42 \text{ mM}$  y  $\text{CFC}_{\text{fucsina}} = 0,11 \text{ mM}$ .

### [Problema 17]

## 7

### FUERZAS NO DLVO

#### *Fuerzas de solvatación y de hidratación*

Cuando dos superficies se aproximan a  $D \sim 1$  ó  $2 \text{ nm}$ , las teorías de continuo de fuerzas de van der Waals y de fuerzas electrostáticas no describen adecuadamente estas interacciones. Esto se debe a:

- 1) las teorías no están desarrolladas para pequeñas  $D$ .

2) Hay fuerzas adicionales, monótonamente repulsivas o atractivas, o inclusive oscilatorias, no incluidas en la teoría DLVO, que se hacen operativas.

A D pequeñas,  $F_{\text{no DLVO}} > F_{\text{DLVO}}$

El origen de las fuerzas de solvatación está en:

- Las moléculas de líquido son inducidas a ordenarse en capas “cuasidiscretas” entre dos superficies conforme se aproximan unas con otras, lo que usualmente da lugar a fuerzas oscilatorias de origen geométrico o estérico.
- Las interacciones soluto- solvente pueden inducir orden posicional y orientacional y dar origen a una fuerza monótona (no oscilatoria) que decae exponencialmente con D.
- Las fuerzas no DLVO pueden además originarse de la ruptura de la red de enlaces de hidrógeno en líquidos conforme se acercan dos superficies.

Las fuerzas de solvatación dependen de:

- Propiedades del medio
- Propiedades químicas y físicas de las superficies (ej: hidrofóbica vs. hidrofílica; amorfa vs. cristalina, suave vs. rugosa)

Las fuerzas de solvatación son de gran intensidad a cortas distancias, lo que es importante para determinar la fuerza de adhesión entre dos superficies o partículas en contacto.

### ***Ordenamiento molecular en superficies interfases y películas delgadas***

Los perfiles de densidad y potencial de interacción en líquidos oscilan con la distancia, con una periodicidad cercana al tamaño molecular y al alcance de unos cuantos diámetros moleculares.

Para entender cómo se originan las fuerzas de solvatación entre dos superficies hay que considerar cómo se ordenan las moléculas del solvente en contacto con una superficie o interfase. El ordenamiento está influenciado por la geometría de las moléculas (forma) y como se empaquetan alrededor de una frontera restrictiva. **Ver Fig. 48)**

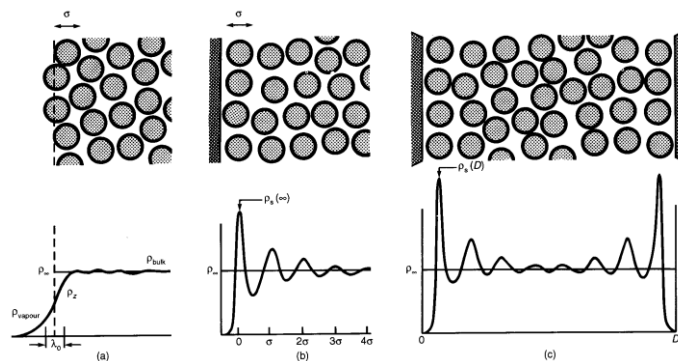


Figura 48: (a) Perfil de densidad de líquido en la interfase líquido-vapor.  $\rho_{\infty}$  es la densidad en la masa del líquido y  $\lambda_0$  es el espesor o escala molecular de la “rugosidad” de la interfase. (b) perfil de densidad del líquido en una interfase de superficie sólida aislada-líquido.  $\rho_s(\infty)$  es la densidad “de contacto” en la

superficie. (c) Perfil de densidad del líquido entre dos superficies sólidas separadas a la distancia  $D$ . La densidad de contacto  $\rho_s(D)$  es una función de  $D$  como se ilustra en la figura 49.

- 1) No ocurren oscilaciones en la densidad del líquido en interfases líquido –vapor y líquido – líquido.
- 2) Se requiere una interfase sólido – líquido: las interacciones atractivas entre la pared y las moléculas de líquido y el efecto geométrico restrictivo de la “pared dura” provoca que se ordenen las moléculas de líquido dando un perfil oscilatorio de densidad (fig. 13.1)
- 3) El efecto limitante cuando el líquido está restringido entre dos superficies sólidas es mucho más dramático (fig. 48) La variación del ordenamiento con la distancia de separación entre superficies ( $D$ ) da origen a las fuerzas de solvatación oscilatorias.

### ***La fuerza oscilatoria de solvatación***

Anteriormente se usó que la presión repulsiva entre dos superficies cargadas separadas por un solvente (además de contraiones) está dada por el teorema del valor de contacto:

$$P(D) = k_B T [\rho_s(0) - \rho_s(\infty)]$$

Esta ecuación también es válida para fuerzas de solvatación, siempre y cuando no haya interacciones entre la pared y las moléculas de líquido, donde  $\rho_s$  es ahora la densidad de moléculas del líquido en cada superficie.

Las fuerzas de solvatación se originan si hay un cambio de  $\rho_s$  a medida que las superficies se aproximan entre si. (V. fig. 49: variación de  $\rho_s$  y  $P$  con  $D$ )

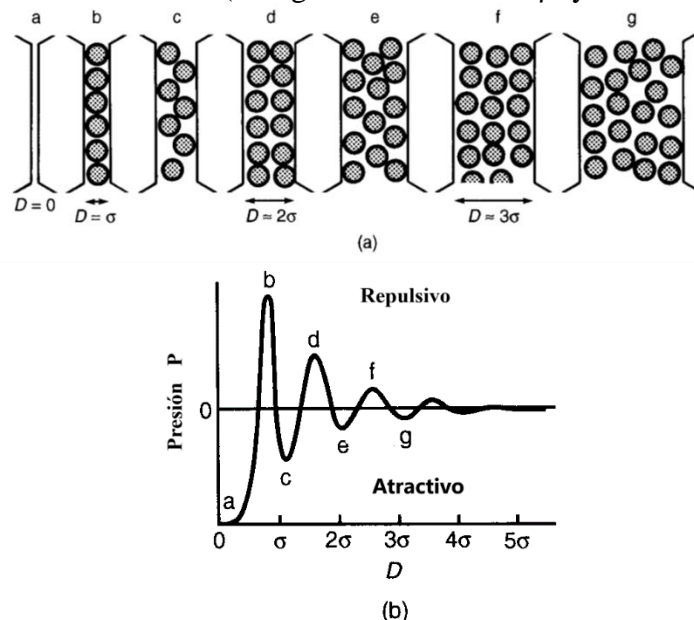


Figura 49: (a) igual que en la figura anterior, mostrando cómo el ordenamiento molecular cambia cuando cambia la separación  $D$ . Notar que la densidad de las moléculas del líquido en contacto con la superficie  $\rho_s(D)$  varía entre máximos y mínimos. Las moléculas en la película se suponen libres para intercambiarse con las del seno del líquido. (b): Correspondiente presión de solvatación (esquemática). La fuerza de solvatación oscilatoria resultante no necesita ser simétrica alrededor del eje  $P = 0$ , pero puede ser superpuesta a una fuerza monótona como se muestra en la figura 13.3.

Notar que en el límite para pequeñas separaciones

$$P(D \rightarrow 0) = -k_B T \rho_s(\infty) \quad (220)$$

Lo que significa que la fuerza de contacto es negativa, es decir, atractiva o adhesiva.

Nota: las fuerzas oscilatorias no requieren que existan interacciones atractivas entre la pared y el líquido o líquido – líquido. Todo lo que se necesita es dos paredes duras conteniendo moléculas cuyas formas no sean demasiado irregulares.

### *Desviaciones de este comportamiento*

Las moléculas de líquidos usualmente no son esféricas.

Las interacciones entre moléculas usualmente son anisotrópicas (con respecto a la orientación).

Las superficies no son lisas sino “rugosas” o “estructuradas” a nivel molecular.

Las superficies pueden ser hidrofílicas o hidrofóbicas (v. Fig. 50)

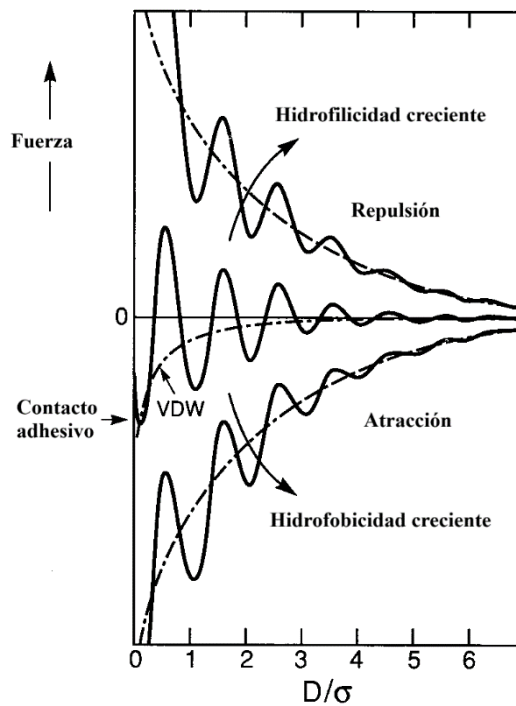


Figura 50; Cualquier interacción atractiva fuerte entre la superficie y las moléculas de líquido adyacente conduce a un empaquetamiento más denso de las moléculas en las paredes y entonces a un mayor valor de  $\rho$  y a una fuerza más repulsiva pero aún oscilatoria (curva superior). Por otro lado, si la interacción superficie – líquido es mucho más débil que la interacción líquido-líquido, la fuerza oscilatoria tiene a ser más atractiva (curva inferior).

Como una aproximación, las fuerzas oscilatorias entre superficies conteniendo líquidos, incluyendo agua, pueden ser descritas como:

$$P(D) \approx -k_B T \rho_s(\infty) \cos(2\pi D/\sigma) e^{-D/\sigma} \quad (221)$$

donde  $\sigma$  es el diámetro molecular de las moléculas del solvente.

Integrando la ecuación 50 puede encontrarse que la contribución de las fuerzas de solvatación a la energía interfacial entre dos superficies planas es:

$$\gamma_i = W(0)/2 \approx k_B T \rho_s(\infty) \sigma / 8\pi^2 \quad (222)$$

### *Aspectos importantes de las fuerzas de solvatación*

- i) con moléculas rígidas, inertes y esféricas ( $\text{CCl}_4$ , benceno, etc) la periodicidad de las oscilaciones es igual al diámetro molecular promedio  $\sigma$ .
- ii) Alcance: la amplitud pico a pico de las oscilaciones muestra un decaimiento exponencial con D con una longitud característica de decaimiento de aprox. 1,2 a  $1,7\sigma$ .
- iii) Magnitud: puede exceder a las fuerzas de van der Waals a separaciones menores o iguales a  $5-10\sigma$ , para líquidos simples (no poliméricos) se combina con las fuerzas de DLVO a separaciones mayores.
- iv) No decaen fuertemente con T y no muestran cambio cuando un líquido es sobreenfriado por debajo de su punto de congelación.
- v) Efecto del agua u otro componente polar inmiscible: la presencia de cantidades muy pequeñas de agua puede tener efectos dramáticos en la fuerza de solvatación entre dos superficies hidrofílicas con un líquido no polar entre ellas, dando adsorción preferencial del agua, y las curvas de fuerza oscilatoria se desplazan hacia energías adhesivas mas fuertes.
- vi) Moléculas pequeñas flexibles (n-hexano, etc.) son internamente como líquidos comunes. No se requiere que se ordenen en capas discretas cuando son confinadas entre superficies, por lo que la fuerza oscilatoria de solvatación y estructura no se extiende más allá de 2 a 4 moléculas.
- vii) Las moléculas con cadena lineal, ej. octano, tetradecano, hexadecano, dan fuerzas oscilatorias similares con período de oscilación de  $\sim 0,4$  nm, que corresponde al ancho de la molécula, lo que indica que las moléculas se orientan paralelas a la superficie (**V. Fig. 51**)

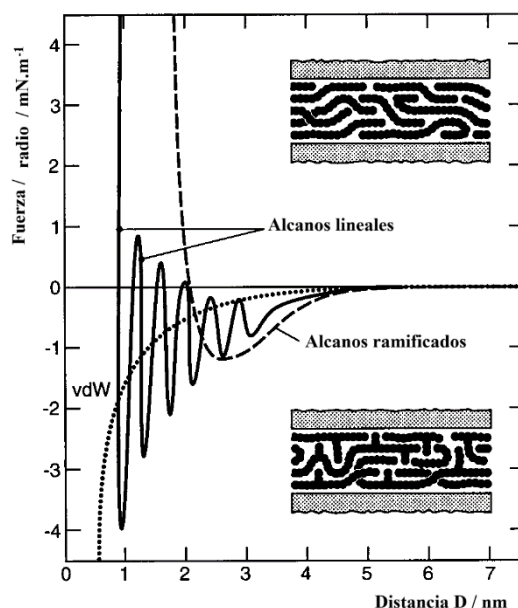


Figura 51: fuerzas de solvatación en moléculas largas y orientación de las mismas.

- viii) Las moléculas no lineales con ramificaciones no pueden ser fácilmente ordenadas en capas discretas, por lo que las películas líquidas permanecen desordenadas o amorfas cuando las superficies se aproximan y las fuerzas de solvatación decaen monótonamente en lugar de oscilatoriamente (Fig. 51)
- ix) Efecto de polidispersidad: Un pequeño grado de dispersidad solo tiene un efecto pequeño en la forma de la fuerza siempre y cuando la mezcla sea de compuestos homólogos.
- x) Efecto de polaridad molecular: las fuerzas oscilatorias con líquido polares confinados entre superficies son similares a las de líquidos no polares.
- xi) Efecto de estructura y rugosidad de la superficie: la estructura de las superficies es tan importante como la naturaleza del líquido en la forma de las fuerzas de solvatación.

Las superficies sin estructura (“suaves” o “lisas”) inducen orden en capas pero no orden lateral dentro de las capas. Las superficies estructuradas (arreglo cristalino periódico) inducen, además del ordenamiento en capas, orden lateral, por lo que la  $F_{\text{solv}}$  depende de la estructura de las superficies (Figura 52).

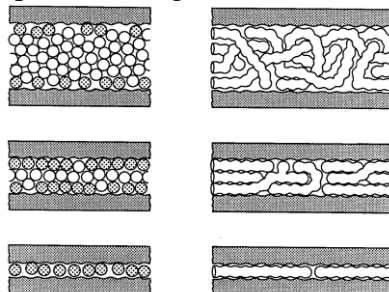


Figura 52: Esquema de cómo las superficies reales, poseyendo estructura cristalina, fuerza a las moléculas de líquido entre ellas para adoptar un ordenamiento lateral, similar a un sólido, conmensurable con las rugosidades de las superficies. Este orden es superpuesto a la formación de capas que ocurre entre capas lisas y no estructuradas.



Las superficies rugosas (al azar) suavizan a las fuerzas oscilatorias (cancelación) y desaparecen para dar lugar a fuerzas de solvatación puramente monotónicas, aún cuando las moléculas de líquido sean capaces de ordenarse en capas.

En resumen, para que exista una fuerza de solvatación oscilatoria, las moléculas del líquido deben ser capaces de ser correlacionadas sobre distancias relativamente grandes. Esto requiere que tanto las moléculas del líquido como la superficie tengan un alto grado de orden o simetría.

- xii) Efecto de curvatura y geometría de la superficie: no hay efecto importante siempre y cuando la curvatura y rugosidad sea regular o uniforme, no al azar.

### ***Fuerzas de solvatación en sistemas acuosos: “hidratación” repulsiva***

Por ejemplo, ciertos barros, películas de jabón, membranas biológicas, etc. se hinchan espontáneamente o se repelen una a otra en soluciones acuosas.

Las suspensiones de sílice y otras partículas suspendidas estables a veces permanecen “estables” en altos contenidos de sal, mientras que por la teoría DLVO estas partículas deberían coagular y permanecer en contacto adhesivo. Esto indica que existe una fuerza repulsiva adicional que ***no es oscilatoria***, sino que decae monótonamente y se genera entre superficies hidrofílicas en presencia de agua. Se denomina ***fuerza de hidratación o estructural***.

Estas fuerzas parecen originarse cuando las moléculas de agua se enlazan fuertemente a superficies que contienen grupos hidrofílicos, y su fuerza depende de la energía necesaria para romper la red de enlaces de hidrógeno y / o deshidratar las dos superficies a medida que se aproximan.

Las fuerzas de hidratación entre superficies son:

- Alcance: 1 a 2 nm en películas de jabón, 3 a 5 nm en superficies de sólidos cristalinos como mica, sílice, ciertas arcillas, etc.
- $F_{\text{hidratación}} \approx e^{-\xi D}$ , con  $\xi^{-1} \sim 0,1$  a  $0,3$  nm en películas de jabón,  $\sim 1$  nm en superficies de sólidos cristalinos

### ***Fuerzas de solvatación en sistemas acuosos: fuerzas “hidrofóbicas” atractivas***

Una superficie hidrofóbica es aquella que es inerte al agua, es decir, las moléculas de agua no se unen a la superficie mediante enlaces iónicos o de hidrógeno.

Al colocar dos superficies hidrofóbicas en agua, éstas se atraen fuertemente rechazando al agua (lo que es entrópicamente favorable) y reduce la energía libre del sistema.

La **Figura 53** muestra algunos fenómenos causados por esta fuerza hidrofóbica.

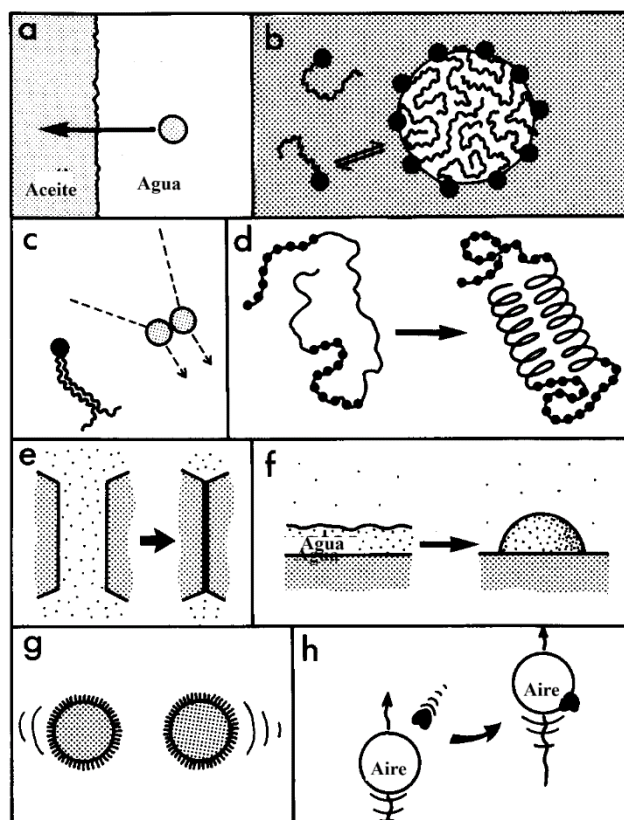


Figura 53: Ejemplos de interacciones atractivas hidrofóbicas en soluciones acuosas (a) baja solubilidad/ inmiscibilidad; (b) micelización, (c) dimerización y asociación de cadenas hidrocarbonadas, (d) plegado de proteínas, (e) adhesión fuerte, (f) no mojado de agua sobre superficies hidrofóbicas (g) coagulación rápida de superficies hidrofóbicas o cubiertas con surfactantes (h) adhesión de partículas hidrofóbicas a burbujas de aire que suben (mecanismo básico de la flotación usada para separar partículas hidrofílicas e hidrofóbicas).

Las fuerzas de hidratación entre superficies son:

- De muy largo alcance: 0 a 10 nm
- $F_{\text{hidrofóbicas}} \approx e^{-\xi D}$ , con  $\xi^{-1} \sim 1$  a 2 nm
- $F_{\text{hidrofóbicas}} \gg F_{\text{vdW}}$  particularmente entre superficies de hidrocarburos para los cuales  $A$  es bastante pequeña.

### ***Fuerzas estéricas debido a polímeros en las superficies.***

Hasta ahora hemos supuesto que las superficies que interactúan son suaves y rígidas, y que pueden formar fronteras bien definidas. Sin embargo, existen superficies que son difusas (con grupos superficiales que se mueven por efecto de la energía térmica), en donde las fuerzas entre ellas dependen de cómo se superponen estas fronteras difusas.

Cuando dos superficies que contienen moléculas en forma de cadena pendiendo hacia el líquido de separación y en movimiento térmico se aproximan una a la otra, la entropía de confinamiento de estas cadenas produce una fuerza entrópica repulsiva, la cual, para el caso de polímeros adsorbidos en superficies, se conoce como repulsión estérica o de superposición. (V. Fig. 54).

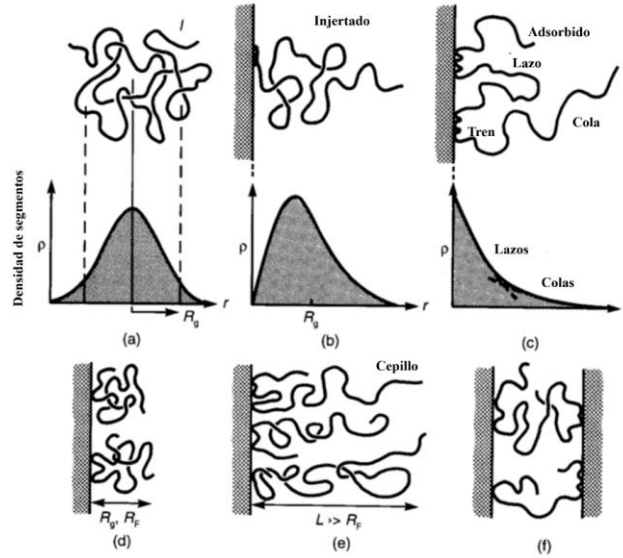


Figura 54; (a) polímero en solución, (b) polímero adsorbido por un extremo, (c) homopolímero adsorbido físicamente, (d) adsorción a bajo cubrimiento superficial sin superposición con los vecinos más cercanos (“hongos”), (e) adsorción a alto cubrimiento (“cepillo”), (f) puenteado.

Cuando dos superficies cubiertas con polímero se aproximan una a la otra, experimentan una fuerza una vez que los segmentos exteriores empiezan a solaparse, es decir, una vez que la separación entre superficies es menor que unos cuantos radios de giro del polímero ( $R_g$ )

$$R_g = \frac{l\sqrt{n}}{\sqrt{6}} = \frac{l\sqrt{M/M_0}}{\sqrt{6}} \quad (223)$$

donde  $n$  es el número de segmentos,  $l$  es la longitud efectiva de cada segmento y  $M_0$  y  $M$  son el peso molecular del monómero y del polímero, respectivamente.

Consideremos el caso simple de interacción repulsiva estérica de dos superficies conteniendo una capa adsorbida de polímero, donde cada molécula está injertada a la superficie por uno de sus extremos. En el límite de cubrimiento bajo de la superficie, es decir, donde no hay anudamientos ni solapamientos entre cadenas vecinas, entonces cada cadena interacciona con la superficie opuesta en forma independiente de las demás cadenas.

(Fig. 54)

Para dos superficies tales en un solvente bueno, la energía repulsiva por unidad de área es una serie compleja. Sin embargo, para  $8R_g \leq D \leq 2R_g$  se tiene que:

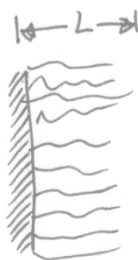
$$W(D) = 2\Gamma k_B T \exp(-D^2/4R_g^2) + \dots \approx 36\Gamma k_B T \exp(-D/R_g) \quad (224)$$

donde  $\Gamma$  es el número de cadenas injertadas por unidad de área y donde  $\Gamma = 1/S^2$  siendo  $S$  la distancia promedio entre injertos. La ecuación (224) es válida para  $S > R_g$ , en donde el espesor de la capa de polímero es aproximadamente  $L \approx R_g \sim M^{1/2}$ .

En un buen solvente, el ovillo de polímero se hincha y el espesor de la capa  $\sim M^{0.6}$ .

A medida que pasamos del régimen de bajo recubrimiento superficial a alto recubrimiento superficial las cadenas injertadas o adsorbidas están tan cerca una de la otra

que son forzadas a extenderse de la superficie más allá de  $R_g$ . Ahora, el espesor de la capa es  $\sim M$  (cepillo).



Cepillo

En forma más general, el espesor del cepillo,  $L$ , escala de acuerdo con  $L \propto M^v \propto n^v$ , con  $0,5 \leq v \leq 1$ . Para un cepillo en un buen solvente:

$$L = \frac{n l^{5/3}}{S^{2/3}} = \Gamma^{1/2} R_F^{5/3} \quad (225)$$

Donde  $R_F \approx l n^{3/5}$  es el radio de Flory ( $R_F = \alpha R_g$ , siendo  $\alpha = 1$  en un solvente mediano, denominado  $\theta$ ).  $\alpha < 1$  en un mal solvente, y  $\alpha > 1$  en uno bueno.

Una vez que dos superficies tipo cepillo se arriman a una distancia  $D < 2L$ , se genera una fuerza repulsiva entre ellas dada por (de Gennes, 1985):

$$P(D) = \frac{k_B T}{S^3} [(2L/D)^{9/4} - (D/2L)^{3/4}] \quad \text{para } D < 2L \quad (226)$$

donde el primer término es la repulsión osmótica y el segundo la energía elástica de las cadenas que se opone al estrechamiento de las cadenas.

Para  $0,2 < D/2L < 0,9$  (226) se puede expresar como:

$$P(D) \approx \frac{100 k_B T}{S^3} e^{-\pi D/L} = \frac{100 k_B T \Gamma}{S} e^{-\pi D/L} \quad (227)$$

de tal forma que

$$W(D) \approx \frac{100 L k_B T}{\pi S^3} e^{-\pi D/L} = \frac{100 k_B T \Gamma}{\pi S} e^{-\pi D/L} \quad (228)$$

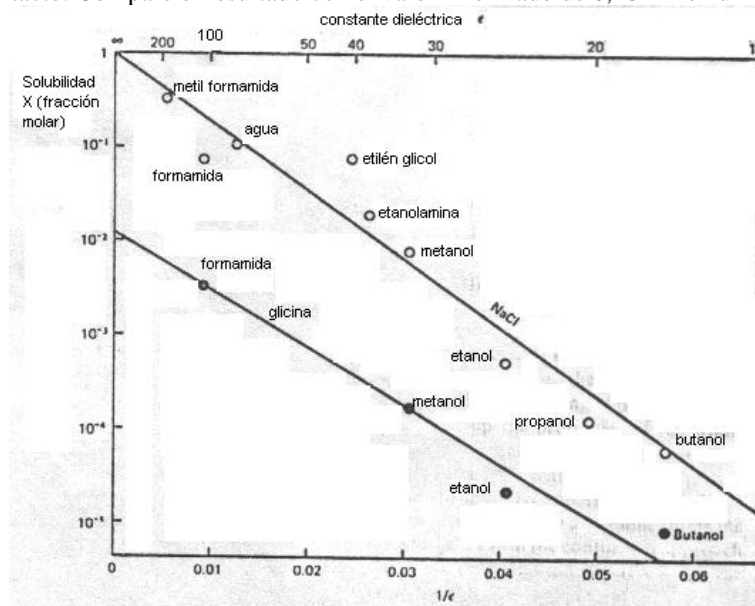
## 8

### GUÍA DE PROBLEMAS DE FUERZAS INTERMOLECULARES

1.-El potencial de Lennard- Jones:  $w(r) = -Ar^{-6} + Br^{-12}$  es un caso especial del potencial de Mie. En este potencial, la contribución atractiva (negativa) es el potencial de interacción de van der Waals el cual es inversamente proporcional a la sexta potencia de la distancia. Haga un dibujo de cómo varían  $w(r)$  y  $F(r)$  con la distancia de separación  $r$ . Para el potencial de Lennard - Jones, (i) ¿cuál es la distancia de separación  $r = r_e$  cuando la energía alcanza su valor mínimo,  $w_{\min}$ ?, (ii) ¿Cuál es el cociente entre  $w_{\min}$  y el componente puramente atractivo del potencial de interacción en  $r = r_e$ ?, y (iii) Es posible medir esta fuerza con una balanza electrónica sensitiva?

2.- Considere dos líquidos inmiscibles (ej. agua y aceite). Si una molécula esférica de radio  $r$  es extraída de una fase oleica y colocada en la fase agua, la energía necesaria para hacer este traslado debe ser proporcional al área de la molécula de aceite multiplicada por la energía interfacial  $\gamma_i$ , de la interfase agua - aceite. La energía interfacial entre ciclohexano y agua es de  $50 \text{ mJ.m}^{-2}$ , y el radio de una molécula de ciclohexano es de  $0,28 \text{ nm}$ . Estime la solubilidad del ciclohexano en agua a  $25^\circ\text{C}$ , en  $\text{mol/l}$ .

3.- De los datos mostrados en la figura anexa, estime la distancia entre los iones de sodio y cloro cuando éstos están en contacto. Compare el resultado con el valor informado de  $0,28 \text{ nm}$  en un cristal de  $\text{NaCl}$ .



Solubilidad de  $\text{NaCl}$  y glicina ( $\text{NH}_2\text{CH}_2\text{COOH} = \text{NH}_3^+\text{CH}_2\text{COO}^-$ ) en solventes de diferente constante dieléctrica estática. Solubilidad en unidades de fracción molar, graficadas como  $\log X$  en función de  $1/\epsilon$ .

4.- ¿Es el campo eléctrico cerca de una superficie de elevada carga ( $\sigma = 0,3 \text{ Cm}^{-2}$ ) situada en agua lo suficientemente intensa como para inmovilizar las moléculas de agua adyacentes a ella? Sugerencia: compare este campo con el de un ion monovalente en agua que no es lo suficientemente intenso como para inmovilizar moléculas de agua alrededor de él.

5.- La energía libre de Helmholtz promediada para una interacción dipolo - dipolo  $w(r)$  está relacionada con el potencial dependiente del ángulo,  $w(r, \Omega)$ , mediante:

$$e^{-w(r)/k_B T} = \langle e^{-w(r, \Omega)/k_B T} \rangle$$

Muestre que para  $w(r, \Omega) \gg k_B T$ , la energía interna está relacionada a  $w(r, \Omega)$  mediante

$$U(r) = \langle w(r, \Omega) e^{-w(r, \Omega)/k_B T} \rangle$$

Use este resultado para deducir el siguiente resultado:

$$U(r) = 2u_1^2 u_2^2 / [3(4\pi\epsilon_0)^2 k_B T r^6]$$

6.- Estime la distancia que se corre la nube electrónica de una molécula de metano con respecto al centro de la molécula debido a la presencia de un ión sodio cuyo centro está a  $0,4 \text{ nm}$  del centro de la molécula.

7.- La hidracina ( $\text{N}_2\text{H}_4$ ) tiene un momento dipolar de  $3,0 \text{ D}$  y una polarizabilidad electrónica  $\alpha_0/4\pi\epsilon_0 = 2,7 \times 10^{-30} \text{ m}^3$ . Calcule (i) la polarizabilidad total de la molécula de hidracina a  $300 \text{ K}$ , (ii) el cociente entre las fuerzas de Keesom y las de Debye entre dos moléculas de hidracina a  $300 \text{ K}$ .

8.- Muchos átomos o moléculas pequeñas tienen potenciales de ionización  $I$  cercanos a  $2 \times 10^{-18} \text{ J}$ . Si su polarizabilidad puede ser modelada en términos del átomo de Bohr, muestre que la fuerza de un enlace típico de van der Waals se siempre unos pocos  $k_B T$  a temperatura ambiente, independientemente del tamaño o la polarizabilidad de las moléculas.

9.-Considere una molécula de amoníaco y una molécula de agua separadas 2,5 nm una de la otra al vacío a 500 K. ¿Cuál es la fuerza entre ellas? ¿Es esta fuerza atractiva o repulsiva?

10.-Encuentre la expresión de  $W(D)$  para la interacción entre una molécula y una placa delgada de espesor  $E$ , situada a una distancia  $D$  de la molécula.

11.-Encuentre la interacción  $W(D)$  entre una placa delgada de espesor  $E$  y una aguja delgada de radio  $r$  y longitud  $d$ , apuntando normalmente a la superficie y cuyo extremo más cercano dista la distancia  $D$  de la placa.

12.-Muestre que el potencial de interacción atractivo entre dos esferas idénticas de radio  $R_1$  separadas por una distancia  $D_1$  es igual al potencial de interacción atractivo entre dos esferas idénticas de radio  $R_2$  separadas por una distancia  $D_2$ , siempre y cuando  $D_1 = (R_1/R_2)D_2$ . Suponga que las cuatro esferas están hechas con el mismo material.

13.-Calcule la constante de Hamaker  $A$  para poliestireno con el siguiente procedimiento:

$$A = \pi^2 q^2 \lambda = \frac{3}{4} (\pi^2 q^2 \hbar v_0 \alpha_0^2)$$

donde  $v_0$  es la frecuencia característica,  $\alpha_0$  la polarizabilidad electrónica a  $v = 0$  y  $q$  es el número de moléculas por unidad de volumen.  $v_0$  y  $\alpha_0$  se pueden obtener de la relación de Lorenz-Lorenz:

$$[(n^2 - 1)M]/[(n^2 + 2)\rho] = (4/3)[\pi N \alpha(v)]$$

donde  $n$  es el índice de refracción,  $M$  el peso molecular,  $\rho$  la densidad y  $N$  el número de Avogadro. Si  $\alpha(v)$  asume la siguiente forma simplificada:

$$\alpha(v) = (e^2 \sigma) / [(4\pi^2 m_e)(v_0^2 - v^2)]$$

donde  $e$  es la carga del electrón y  $m_e$  su masa, y  $\sigma$  el número efectivo de electrones por molécula. Para poliestireno,  $\rho = 1,08 \text{ g.cm}^{-3}$ ,  $h = 6,63 \times 10^{-27} \text{ erg.s}$ . Use la siguiente tabla:

$v \times 10^{-14} (\text{s}^{-1})$	6,16	5,10	4,58	4,06
$(n^2 + 2) / (n^2 - 1)$	2,900	2,947	2,980	
	3,005			

Respuesta:  $A = 7,65 \times 10^{-13} \text{ erg}$ .

14.-Muestre que para un electrólito 1:1 en agua a 25 °C, la ecuación de Grahame puede ser escrita como

$$\psi_0 = a \sinh^{-1}(b/\sigma^0 c^{1/2})$$

donde  $a$  y  $b$  son constantes numéricas cuando  $\psi_0$  está en mV,  $c$  en  $\text{mol.l}^{-1}$  y  $\sigma^0$ , el área por carga en la superficie, en  $\text{\AA}^2$ . J.T. Davies midió el potencial a través de una interfase aire - solución acuosa de NaCl en donde había una monocapa de  $\text{C}_{18}\text{H}_{32}\text{N}^+(\text{CH}_3)_3$ . Cuando esta monocapa se encuentra a una presión que corresponde a  $\sigma^0 = 85 \text{ \AA}^2$ , fueron medidos los siguientes potenciales a diferentes concentraciones de NaCl:

$E(\text{mV})$	240	280	325	340	380
$C (\text{moles NaCl/l})$	2,0	0,5	0,1	0,033	0,01

De estos valores, cerca de 200 mV se originan en efectos de dipolo en la interfase y deben ser restados para obtener la contribución de la doble capa a los potenciales medidos. (i) Calcule los valores de  $a$  y  $b$ ; (ii) Compare los valores de  $E$  con los de  $\psi_0$ , calculados con la ecuación propuesta arriba.

15.-Considere una dispersión coloidal con grandes partículas esféricas suspendidas en una solución acuosa 0,1 M de NaCl donde la constante de Hamaker entre las partículas en solución es  $A = 10^{-20} \text{ J}$ , y donde se ha establecido experimentalmente que el potencial superficial de las partículas  $\psi_0$ , disminuye linealmente con el pH desde -100 mV a pH = 7 hasta 0 mV a pH = 5. Suponiendo que las esferas son grandes (esto es,  $R$

>> D) en el intervalo de interés, calcule el intervalo de pH en donde la dispersión se vuelve inestable y ocurre coagulación rápida.

16.-La concentración crítica para flocular una dispersión de  $\text{Al}_2\text{O}_3$  es 46 mM para KCl y sólo 0,69 mM para oxalato de potasio. ¿Están estas partículas cargadas negativa o positivamente? Estime la CFC de esta dispersión para  $\text{CaCl}_2$ .

17.-Considere una dispersión al 10 % en peso de partículas de vidrio (radio  $a_0 = 100$  nm) en agua a temperatura ambiente interrelacionadas a través de un potencial como el de la figura. Estime qué energía tendría que tener la barrera de potencial en unidades  $k_B T$  para que las partículas permanezcan dispersas por un día. Densidad del vidrio =  $3 \times 10^3 \text{ kg.m}^{-3}$ )

